

โครงสร้าง พลเม็ดจากการร่วงหล่นของชาบที่และการหมุนส่ายของใบไม้
 ในป่าไม้ฝาดดอกชากา ที่เลสานสงขลา
 Structure, Litter Fall Production and Leaf Decomposition in a Mangrove Stand
 (*Lumnitzera racemosa* Willd. Community) in Songkhla Lake

นิพิท สriskุลวรรณ
 Nipit Srisuwon

วิทยานิพนธ์วิทยาศาสตร์มหาบัณฑิต สาขาวิชาการจัดการสิ่งแวดล้อม
 มหาวิทยาลัยสงขลานครินทร์
 Master of Science Thesis In Environmental Management
 Prince of Songkla University
 2542



โครงการพัฒนาองค์ความรู้และศึกษาเรียนรู้การทรัพยากรชีวภาพในประเทศไทย
c/o ศูนย์รับนักวิจกรรมและเทคโนโลยีชีวภาพแห่งชาติ
อาคารสำนักงานพัฒนาวิทยาศาสตร์และเทคโนโลยีแห่งชาติ
73/1 ถนนพระรามที่ 6 เมืองราชบุรี
กรุงเทพฯ 10400

๑๖ ๐.๙. ๒๕๔๒

โครงสร้าง ผลผลิตจากการร่วงหล่นของซากพืชและการผุสลายของใบไม้
ในป่าไม้ฝาดดอกขาว ทะเลสาบสงขลา

Structure, Litter Fall Production and Leaf Decomposition in a Mangrove Stand
(*Lumnitzera racemosa* Willd. Community) in Songkhla Lake

นิพิท ศรีสุวรรณ

Nipit Srisuwon

วิทยานิพนธ์วิทยาศาสตร์ธรรมชาติ สาขาวิชาการจัดการสิ่งแวดล้อม
มหาวิทยาลัยสงขลานครินทร์

Master of Science Thesis in Environmental Management

Prince of Songkla University

2542

ชื่อวิทยานิพนธ์

โครงสร้าง ผลผลิตจากการร่วงหล่นของชาติพืชและการผุสลาย
ของใบไม้ในป่าไม้ภาคดอกข้าว ทະเลสาบสงขลา

ผู้เขียน

นางสาวนิพิท ศรีสุวรรณ

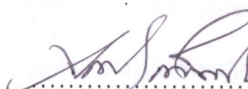
รหัสประจำตัว 3877012

สาขาวิชา

การจัดการสิ่งแวดล้อม

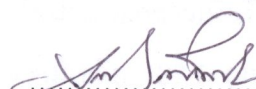
คณะกรรมการที่ปรึกษา

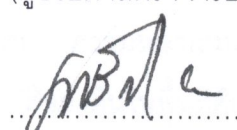
.....ประธานกรรมการ
(รองศาสตราจารย์ ดร.เสาวภา อั้งสุกานนิช)

.....กรรมการ
(ผู้ช่วยศาสตราจารย์ ดร.สมศักดิ์ มณีพงศ์)

คณะกรรมการสอบ

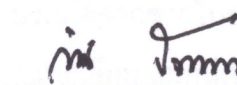
.....ประธานกรรมการ
(รองศาสตราจารย์ ดร.เสาวภา อั้งสุกานนิช)

.....กรรมการ
(ผู้ช่วยศาสตราจารย์ ดร.สมศักดิ์ มณีพงศ์)

.....กรรมการ
(รองศาสตราจารย์ ดร.นพรัตน์ บำรุงรักษ์)

.....กรรมการ
(ผู้ช่วยศาสตราจารย์ ดร.กำพล มีสวัสดิ์)

บันทึกวิทยาลัย มหาวิทยาลัยสงขลานครินทร์ อนุมัติให้นับวิทยานิพนธ์ฉบับนี้เป็น^๑
ส่วนหนึ่งของการศึกษา ตามหลักสูตรวิทยาศาสตรบัณฑิต สาขาวิชาการจัดการสิ่งแวดล้อม



(รองศาสตราจารย์ ดร.ก้าน จันทร์พรหมมา)

คณบดีบันทึกวิทยาลัย

ชื่อวิทยานิพนธ์	โครงสร้าง ผลผลิตจากการร่วงหล่นของซากพืชและการผุสลายของใบไม้ในป่าไม้ฝาดดอกขาว ทະເລສາບສົງລາ
ผู้เขียน	นางสาวนิพิท ศรีสุวรรณ
สาขาวิชา	การจัดการสิ่งแวดล้อม
ปีการศึกษา	2542

บทคัดย่อ

จากการศึกษาโครงสร้าง ผลผลิตจากการร่วงหล่นและการผุสลายของใบไม้ในป่าไม้ฝาดดอกขาว (*Lumnitzera racemosa* Willd.) บริเวณทະເລສາບສົງລາตอนในชีeng มีพื้นที่ประมาณ 0.8 เฮกเตอร์ พบร่วมกับพืชชนิดอื่นๆ 19 ชนิด ต้นฝาดดอกขาวเป็นพืชชนิดเด่น ความหนาแน่นเฉลี่ยของต้นไม้ทั้งหมด 5,388 ต้น/ hectare ปริมาณไม้เนื้อเฉลี่ย 127.6 ลูกบาศก์เมตร/hectare ขนาดเส้นผ่าศูนย์กลางเพียงอกเฉลี่ย 6.6 เซนติเมตรและความสูงเฉลี่ย 7.2 เมตร การสืบพันธุ์ตามธรรมชาติของป่าชายเลนมีความสมบูรณ์ดี กล่าวคือ ความหนาแน่นเฉลี่ยของลูกไม้และกล้าไม้ 4,370 และ 16,860 ต้น/hectare ตามลำดับ คุณสมบัติของดินในพื้นที่ศึกษาพบว่าเป็นดินเหนียว มีความเค็มน้อย และสัดส่วนของคาร์บอนต่อไนโตรเจนอยู่ในช่วง 11-24 คุณสมบัติของน้ำในพื้นที่ศึกษาพบว่า มีพีเอชอยู่ในช่วง 5.7-8.2 ความเค็มอยู่ในช่วง 0-22 พีพีท และในฤดูฝนมีน้ำท่วมพื้นที่ทั้งหมด ผลผลิตซากพืชรวม 1,543 กรัม/น้ำหนักแห้ง/ตารางเมตร/ปี โดยมีผลผลิตของฝาดดอกขาวเป็น 84% ของผลผลิตทั้งหมด (1,299 กรัม/น้ำหนักแห้ง/ตารางเมตร/ปี) องค์ประกอบของซากฝาดดอกขาวส่วนมากเป็นใบ (1,069 กรัม/น้ำหนักแห้ง/ตารางเมตร/ปี) ใบและดอกของฝาดดอกขาวร่วงหล่นมากที่สุดในเดือนตุลาคมซึ่งเป็นฤดูฝนตากหนัก แต่ไม่มีความแตกต่างกันอย่างมีนัยสำคัญระหว่างฤดูกาล ส่วนประกอบรองลงมาของผลผลิตคือซากผลซึ่งมีผลผลิตในฤดูฝนสูงกว่าฤดูอื่นอย่างมีนัยสำคัญ ($P < 0.05$) ธาตุอาหารทั้งหมดคำนวณได้จากซากใบของฝาดดอกขาวที่ร่วงหล่นทั้งหมดในรอบปี ประกอบด้วย คาร์บอน แคลเซียม โพแทสเซียม แมกนีเซียม ในไนโตรเจน พอสฟอรัส และกำมะถัน เท่ากับ 452.94 27.15 9.62 7.70 5.77 0.43 และ 2.46 กรัม/ตารางเมตร ตามลำดับ ปริมาณการลดลงของซากใบในระหว่างการผุสลายมีการเปลี่ยนตามฤดูกาลที่วางแผน ตัวอย่าง อัตราการผุสลายที่ฤดูที่มีน้ำท่วมทั้งปีมีค่าสูงสุด (98% ในเวลา 3 เดือน) ส่วนอัตราการผุสลายที่ฤดูที่มีน้ำท่วมบางช่วง มีค่าต่ำกว่า (62-86% ในเวลา 3 เดือน) การผุสลายเกิดขึ้นอย่างรวดเร็วในช่วง 4 สัปดาห์แรก (44-65%) ของการแข่งขันน้ำทะเล หลังจากช่วงนี้อัตราการผุสลายลดลง

Thesis Title	Structure, Litter Fall Production and Leaf Decomposition in a Mangrove Stand (<i>Lumnitzera racemosa</i> Willd. Community) in Songkhla Lake.
Author	Ms. Nipit Srisuwon
Major Program	Environmental Management
Academic Year	1999

Abstract

The study describes the structural characteristics, litter fall production and leaf decomposition of a mangrove stand in the inner Songkhla Lake. The area of the mangrove stand is about 0.8 hectare. The results showed that the mangrove stand was composed of 19 species and the dominant species was *Lumnitzera racemosa* Willd. The average stem density was about 5,388 trees/ha. The average stem volume was 127.57 m³/ha. The average diameter at breast height (DBH) was 6.6 cm. The average height was 7.2 m. The natural regeneration of mangrove was rather good, with the average density of saplings and seedlings 4,370 and 16,860 trees/ha, respectively. Soil texture was clay. Soil salinity was slight. The C:N ratio ranged from 11-24. Characteristics of water in the area were also monitored : pH (5.7-8.2) and salinity (0-22 ppt). The area was flooded during the rainy season. The total annual litter production was 1,543 g DW/m²/yr. Eighty four percent was *L. racemosa* litter (1,299 g DW/m²/yr). Its leaf litter was the main component (1,069 g DW/m²/yr). The highest production of leaf and flower litter occurred during the heavy rainy season with the maximum in October, but there was no significant difference among seasons. The fruit litter was the second most abundant component and it was significantly higher ($P < 0.05$) in the heavy rainy season than in other seasons. Total nutrient contents calculated from the total *L. racemosa* leaf litter fall in a year were 452.94 g DW/m² for carbon, 27.15 g DW/m² for calcium, 9.62 g DW/m² for potassium, 7.70 g DW/m² for magnesium, 5.77 g DW/m² for nitrogen, 0.43 g DW/m² for phosphorus and 2.46 g DW/m² for sulfur. The amount of leaf litter lost through decomposition on the different substrates was varied. The loss rate of litter materials placed at the site which

were submerged all of the year was highest (98% in 3 months) while the lower rate occurred at the sites which only sometimes flooded (62-86% in 3 months). The most rapid decay of leaf litter took place within the first 4 weeks of immersion in sea water and thereafter the rate gradually decreased.

กิตติกรรมประกาศ

ขอขอบคุณเหล่าทุนวิจัยอันได้แก่ โครงการพัฒนาองค์ความรู้และศึกษานโยบายการจัดการทรัพยากรีวิวภาพในประเทศไทยที่สนับสนุนทุนวิจัย(BRT 539039) ซึ่งร่วมจัดตั้งโดยสำนักงานกองทุนสนับสนุนการวิจัยและศูนย์พันธุ์วิศวกรรมและเทคโนโลยีชีวภาพแห่งชาติ และบัณฑิตวิทยาลัย

กราบขอบพระคุณ รศ.ดร.เสาวภา อังสุวนิช และ ผศ.ดร. สมศักดิ์ มณีพงศ์ เป็นอย่างสูง ที่กรุณาให้คำแนะนำ ตรวจแก้ไขข้อบกพร่อง ตลอดจนให้กำลังใจและความปรารถนาดี

ขอขอบพระคุณ รศ.ดร.นพรัตน์ บำรุงรักษ์ และ ผศ.ดร.กำพล มีสวัสดิ์ ที่กรุณาตรวจสอบแก้ไขข้อบกพร่องและให้ข้อเสนอแนะเพิ่มเติม ทำให้วิทยานิพนธ์ฉบับนี้มีความสมบูรณ์ยิ่งขึ้น

ขอขอบคุณ ดร.ปราโมทย์ แก้ววงศ์ศรี ที่กรุณาให้คำแนะนำในการทำโครงสร้างและการแบ่งชั้นความสูงของพืช และ Mr.David Patterson ที่กรุณาตรวจสอบแก้ไขบทคัดย่อภาษาอังกฤษ

ขอขอบคุณคณะอาจารย์และเจ้าหน้าที่ คณะกรรมการจัดการสิ่งแวดล้อม ภาควิชาการวิชาชีวศาสตร์และภาควิชาธรณีศาสตร์ คณะทรัพยากรธรรมชาติ เจ้าหน้าที่บัณฑิตวิทยาลัย คุณกริมแก้วณรงค์ และคุณสำราญ สุวรรณวัตถุ ที่ช่วยเหลือในการทำวิทยานิพนธ์เป็นอย่างดี

และขอขอบพระคุณคุณพ่อ คุณแม่ ญาติพี่น้อง และเพื่อน ๆ ทุกคนที่ให้ความช่วยเหลือและคอยให้กำลังใจตลอดมาจนสำเร็จการศึกษา ความดีอันพึงมีจากวิทยานิพนธ์ฉบับนี้ ผู้วิจัยขอขอบคุณเดี่ยวีมีพระคุณทุกท่าน

นิพิท ศรีสุวรรณ

สารบัญ

หน้า

บทคัดย่อ	(3)
Abstract	(4)
กิตติกรรมประกาศ	(6)
สารบัญ	(7)
รายการตัวราช	(8)
รายการภาพประกอบ	(9)
บทที่	
1. บทนำ	1
บทนำต้นเรื่อง	1
ตรวจเอกสาร	3
วัตถุประสงค์	13
2. วิธีการวิจัย	14
วัสดุและอุปกรณ์	14
วิธีดำเนินการวิจัย	16
3. ผลการศึกษา	23
4. วิเคราะห์ผล	49
5. สรุปและข้อเสนอแนะ	63
บรรณานุกรม	66
ภาคผนวก	79
ประวัติผู้เขียน	97

รายการตาราง

ตาราง	หน้า
1 ลักษณะภูมิอากาศของจังหวัดสังขละ (เฉลี่ยปี พ.ศ. 2530-2540)	3
2 ผลผลิตจากการร่วงหล่นของชาကพืชในป่าชายเลนบริเวณต่าง ๆ ของโลก	9
3 อัตราการผุสลายของใบไม้ในป่าชายเลนแบบต่าง ๆ ของโลก	11
4 ความหนาแน่น (จำนวนต้น/100 ตารางเมตร) และพันธุ์ไม้ในพื้นที่ศึกษา • (ค่าเฉลี่ย \pm SD)	25
5 ขนาดเส้นผ่าศูนย์กลาง ความสูง และปริมาตรไม้ ของต้นไม้ในพื้นที่ศึกษา (ค่าเฉลี่ย \pm SD)	26
6 ความเค็ม พีเอช อุณหภูมิของน้ำทะเล และจำนวนวันที่น้ำท่วมพื้นที่ศึกษา	37
7 ปริมาณชาကพืชที่ร่วงหล่น (กรัมน้ำหนักแห้ง/ตารางเมตร/ปี)	40
8 ปริมาณการร่วงหล่นของส่วนประกอบชาคัฟ่าดดอกขาวตามฤดูกาล (กรัมน้ำหนักแห้ง/ตารางเมตร/ 2 สัปดาห์) (ค่าเฉลี่ย \pm SE)	40
9 องค์ประกอบของธาตุต่าง ๆ ในใบฝ่าดแก่ และปริมาณธาตุอาหารที่พื้นป่า ได้รับจากใบฝ่าดโดยคำนวนจากชาคัฟ่าที่ร่วง (1,069 กรัมน้ำหนักแห้ง/ตารางเมตร/ปี)	41
10 เปรียบเทียบอัตราการผุสลายของใบฝ่าดดอกขาว (%) ระหว่างพื้นที่วางแผนถุนตัวอย่าง (ค่าเฉลี่ย \pm SE)	44
11 สัดสวนหน้าดิน (จำนวนตัว/4 ถุง) ที่เข้าไปอยู่ในถุงใส่ใบไม้ช่วงเวลา 1 ปี	47
12 เปรียบเทียบถุนกากลการร่วงหล่นมากที่สุดของชาคัฟ่าและชาคัฟ่าที่พันธุ์ไม้ ป่าชายเลนแต่ละชนิด	56
13 เปรียบเทียบความหนาแน่น ปริมาตรไม้ และผลผลิตจากการร่วงหล่น ของชาคัฟชาคัฟ่าป่าชายเลนในพื้นที่ต่าง ๆ	58
14 เปอร์เซ็นต์ธาตุในใบแก่ (สีเหลือง) ของพันธุ์ไม้ป่าชายเลนชนิดต่าง ๆ	61
15 เปรียบเทียบปริมาณธาตุอาหารที่ผลิตได้จากชาคัฟ่าพืชในป่าชายเลนพื้นที่ต่าง ๆ	62

รายการภาพประกอบ

ภาพประกอบ	หน้า
1 บริมาณผนในอำเภอคุนเนียง จังหวัดสงขลา ระหว่างปี พ.ศ. 2538 – 2540	5
2 (ก) ตะแกรงที่ใช้ในการศึกษาการร่วงหล่นของชาเขียว (ข) ถุงใส่ใบไม้เพื่อศึกษาการผุสลายของใบпадดอกขาว	15
3 สภาพป่าไม้ผาดดอกขาวพื้นที่ศึกษา	15
• (ก) พื้นที่ด้านกว้าง (ข) ต้นไม้มงายในป่า	
(ค) พื้นที่ด้านยาว	
4 พื้นที่ศึกษาบริเวณคลองปากรอ ทะเลสาบสงขลา	17
5 แปลงเก็บตัวอย่างต้นไม้ศึกษาโครงสร้างป่า	18
6 การกระจายของต้นไม้ตามชั้นขนาดเส้นผ่าศูนย์กลางเพียงออก	27
7 การกระจายของต้นไม้ตามชั้นขนาดความสูง	28
8 การจัดซันเรือนยอดตามแนววัด (profile diagram) และการครอบคลุมเรือนยอด (crown cover) ของป่าไม้ในพื้นที่ศึกษา	29
9 อุณหภูมิของดิน (ค่าเฉลี่ย \pm SD)	30
10 ความชื้นของดิน (ค่าเฉลี่ย \pm SD)	30
11 ค่าพีเอชของดิน (ค่าเฉลี่ย \pm SD)	31
12 ความสัมพันธ์ระหว่างความแตกต่างของค่าพีเอชในดินและความลึก	31
13 ค่าศักย์ไฟฟ้าในดิน (ค่าเฉลี่ย \pm SD)	31
14 ค่าการนำไฟฟ้าของดิน (ค่าเฉลี่ย \pm SD)	31
15 ขนาดอนุภาคดิน (ค่าเฉลี่ย \pm SD)	32
16 อินทรียคาร์บอนในดิน (ค่าเฉลี่ย \pm SD)	32
17 อินทรีย์วัตถุในดิน (ค่าเฉลี่ย \pm SD)	33
18 ในตอรเจนทั้งหมดในดิน (ค่าเฉลี่ย \pm SD)	33
19 ความสัมพันธ์ระหว่างในตอรเจนทั้งหมดในดินและความลึก	33
20 ความสัมพันธ์ระหว่างสัดส่วนคาร์บอนต่อในตอรเจนทั้งหมดในดินและความลึก	33
21 พอสฟอรัสทั้งหมดในดิน (ค่าเฉลี่ย \pm SD)	34

รายการภาพประกอบ (ต่อ)

ภาพประกอบ	หน้า
22 ความสัมพันธ์ระหว่างฟอสฟอรัสทั้งหมดในดินและความลึก	34
23 เพแทสเซียมในดิน (ค่าเฉลี่ย \pm SD)	34
24 แคลเซียมในดิน (ค่าเฉลี่ย \pm SD)	34
25 แมกนีเซียมในดิน (ค่าเฉลี่ย \pm SD)	35
26 กำมะถันทั้งหมดในดิน (ค่าเฉลี่ย \pm SD)	35
27 ความสัมพันธ์ระหว่างกำมะถันทั้งหมดในดินและความลึก	36
28 ความสัมพันธ์ระหว่างกำมะถันทั้งหมดในดินและความแตกต่างของค่าพีโซ่ในดิน	36
29 ซากส่วนต่าง ๆ ของต้นฝาดดอกขาว (<i>Lumnitzera racemosa</i>) ในพื้นที่ศึกษา ระหว่างเดือนพฤษจิกายน 2539 ถึงเดือนตุลาคม 2540 (ค่าเฉลี่ย + SD)	42
30 ซากส่วนต่าง ๆ ของพืชชนิดอื่น ในพื้นที่ศึกษาระหว่างเดือนพฤษจิกายน 2539 ถึงเดือนตุลาคม 2540 (ค่าเฉลี่ย + SD)	43
31 ปริมาณใบฝาดดอกขาวที่เหลือหลังจากนำไปวางไว้ในพื้นที่ศึกษา ระหว่างเดือนตุลาคม 2539 ถึงตุลาคม 2540 (ค่าเฉลี่ย + SD)	45

บทที่ 1

บทนำ

บทนำต้นเรื่อง

ทะเลสาบสงขลาเป็นแหล่งทรัพยากรธรรมชาติที่ค่อนข้างอุดมสมบูรณ์ทางด้านสัตว์น้ำนานาชนิด นับว่ามีความสำคัญต่อประชากรที่อาศัยอยู่รอบ ๆ โดยเป็นแหล่งจับสัตว์น้ำ เพาะเลี้ยงสัตว์น้ำ (อังสุนีย์ ชูนหปวน และคณะ, 2539 ; Sirimontaporn, et al., 1995) นอกจากนี้รอบ ๆ ทะเลสาบสงขลาอีกหลายแห่ง (mangrove) เป็นหย่อม ๆ เช่น บริเวณคลองพะวง และคลองอ้อ ตะเกา ซึ่งอยู่บริเวณทะเลสาบสงขลาตอนนอก (วิจารณ์ มีผล, 2540 : II-10) ส่วนในทะเลสาบสงขลาตอนในนั้นยังไม่มีรายงานอย่างชัดเจน แต่ปัจจุบันมีกิจกรรมต่าง ๆ เช่น นากรุ่ง สร้างบ้านเรือนและโรงงาน รอบทะเลสาบทาให้ป่าชายเลนลดลง ทั้ง ๆ ที่เป็นที่ทราบกันดีแล้วว่าระบบนิเวศของป่าชายเลนมีความสำคัญในด้านการถ่ายทอดพลังงานและการหมุนเวียนธาตุอาหารโดยที่กระบวนการสังเคราะห์ด้วยแสงก่อให้เกิดการเปลี่ยนพลังงานแสงอาทิตย์ไปเป็นพลังงานเคมีซึ่งสะสมอยู่ในรูปอินทรียสารที่เป็นส่วนประกอบของพืชได้แก่ กิง ใน ดอก ผล ลำต้น เมือส่วนต่าง ๆ เหล่านี้โดยเฉพาะใบร่วงหล่นลงบนพื้นป่าจะมีการผุสลายกลายเป็นอาหารให้กับจุลินทรีย์และสัตว์หน้าดินซึ่งจะกลâyเป็นอาหารโปรดีนอันอุดมสมบูรณ์แก่สัตว์น้ำเล็ก ๆ และเป็นอาหารให้กับผู้บริโภคตามระดับของอาหาร (tropic level) ที่สูงกว่าของไข่หรือสายใยอาหารต่อไป (สนิท อักษรแก้ว, 2532 : 112-116)

ผลผลิตจากการร่วงหล่นของซากพืชจากป่าชายเลนเป็นตัวแทนที่แสดงถึงศักยภาพของแหล่งอินทรีย์วัตถุและสารอาหาร ที่จะเคลื่อนย้ายจากป่าชายเลนเข้าสู่แหล่งน้ำใกล้เคียง (Twilley, 1988 : 158) ปริมาณเฉลี่ยของซากพืชในป่าชายเลนมีค่าประมาณปีละ 1.1-1.5 ตันน้ำหนักแห้ง/ไร่ และซากพืชเหล่านี้เมื่อร่วงหล่นไปแล้วจะย่อยสลายกลายเป็นอาหารปฐมภูมิในระบบนิเวศป่าชายเลน (Aksornkoae and Khemnark, 1984 : 545-557) ผลผลิตการร่วงหล่นของซากพืชซึ่งอยู่กับชนิดพันธุ์พืช ความหนาแน่นของต้นไม้ ความสูงของต้นไม้ และรูปแบบเฉพาะของป่าชายเลนแต่ละท้องที่ ตลอดถึงตำแหน่งเส้นรุ้งที่ตั้ง (สนิท อักษรแก้ว, 2532 : 131 ; Pool, et al., 1975 : 232 ;

Woodroffe, 1985 : 275 ; Twilley, et al., 1986 : 677; Saenger and Snedaker, 1993 : 293) ยิ่งกว่าันนอัตราการย่อยสลายของใบพืชขึ้นกับชนิดพืชด้วย

(Angsupanich, et al., 1989 : 149)

การศึกษาเกี่ยวกับผลผลิตของป่าชายเลนในรูปของการร่วงหล่นของซากพืช และการผุสลายของใบไม้ในป่าชายเลน ได้มีการศึกษากันอย่างแพร่หลายในภูมิภาคต่าง ๆ ของโลก เช่น ในมาเลเซีย (Sasekumar and Loi, 1983) ฟิลิปปินส์ (de Leon, et al., 1994) อินโดนีเซีย (Soeroyo and Atmadja, 1994) ฮ่องกง (Lee, 1989) อินเดีย (Wafar, et al., 1997) ญี่ปุ่น (Angsupanich, et al., 1989) ออสเตรเลีย (Goulter and Allaway, 1979 ; Robertson, 1988 ; Woodroffe, et al., 1988) นิวซีแลนด์ (Woodroffe, 1982 ; Woodroffe, 1985) อเมริกา (Pool, et al., 1975 ; Twilley, et al., 1986) และแอฟริกาใต้ (Steinke and Charles, 1986 ; Steinke and Ward, 1988 ; Steinke and Ward, 1990) สำหรับในประเทศไทยได้มีการศึกษาที่ป่าชายเลนเกาะภูเก็ต (Boonruang, 1978 ; Christensen, 1978 ; Poovachiranon and Chansang, 1982 ข้างถึงใน สนิท อักษรแก้ว, 2532 : 135) ป่าชายเลนจังหวัดระนอง (บ้ำรุ่ง คุหา, 2526 ; สนิท อักษรแก้ว และคณะ, 2530 ; Aksornkoae, et al., 1991) ที่ป่าชายเลนอ่าวพังงา (Angsupanich and Aksornkoae 1994a ; Angsupanich and Aksornkoae, 1994c) ที่ป่าชายเลนอ่าวบ้านดอน (Angsupanich and Aksornkoae, 1994b) และป่าชายเลนจังหวัดจันทบุรี (Aksornkoae and Khemnark, 1984, ข้างถึงใน สนิท อักษรแก้ว, 2532 : 135) การศึกษาเกี่ยวกับการร่วงหล่นและการผุสลายของซากพืชตามที่กล่าวข้างต้นส่วนใหญ่เป็นการศึกษาในโถงโถง (*Rhizophora* spp.) แสม (*Avicennia* spp.) ลำพู (*Sonneratia* spp.) รังกระแท้ (*Kandelia candel*) และพังก้า (*Bruguiera* spp.) ส่วนการศึกษาเกี่ยวกับผลผลิตจากฝ่าดดอกخava (*Lumnitzera racemosa*) ยังไม่มีในประเทศไทย จากการสำรวจเบื้องต้นพบว่ามีสังคมแม่ชายเลนเป็นพื้นที่เล็ก ๆ ($5 \text{ ไร่} = 0.8 \text{ เฮกเตอร์}$) โดยมีต้นฝ่าดดอกขava เป็นพืชชนิดเด่นที่ริมคลองปากรอซึ่งเชื่อมระหว่างทะเลสาบสงขลาตอนในและทะเลสาบสงขลาตอนนอก ผู้วิจัยจึงมีวัตถุประสงค์จะศึกษาลักษณะโครงสร้างของป่าไม้ ผลผลิตจากการร่วงหล่น การผุสลายของใบฝ่าดดอกขava ตลอดจนคุณภาพน้ำและดินในป่าชายเลนบริเวณนี้ ข้อมูลที่ได้จากการศึกษาสามารถนำไปใช้เป็นข้อมูลประกอบในการพัฒนาสภาพป่าชายเลนของทะเลสาบสงขลาหรือพื้นที่บริเวณอื่นที่มีลักษณะคล้ายกับพื้นที่ศึกษาได้

การตรวจเอกสาร

1. สภาพทั่วไปของทะเลขابสงขลา

1.1 ที่ดัง

ทะเลขابสงขลาตั้งอยู่ระหว่างเส้นรุ้งที่ 7 องศา 8 ลิบดา ถึง 7 องศา 50 ลิบดาเหนือ และเส้นแบ่งที่ 100 องศา 7 ลิบดา ถึง 100 องศา 37 ลิบดาตะวันออก ระยะทางจากปากทะเลขابตอนล่าง จนถึงเหนือสุดของทะเลน้อย ประมาณ 75 กิโลเมตร และความกว้างจากฝั่งตะวันออกถึงฝั่งตะวันตกประมาณ 20 กิโลเมตร มีพื้นผิวน้ำประมาณ 1,040 ตารางกิโลเมตร ทะเลขابสงขลาแบ่งออกเป็น 3 ตอน คือ ทะเลน้อย ทะเลหลวงหรือทะเลขابตอนใน และทะเลขابตอนล่างหรือทะเลขับตอนนอก ทะเลขับทั้ง 3 ตอน เชื่อมต่อกันโดยตลอด แล้วไหลดอกสู่อ่าวไทยทางทะเลขับสงขลาตอนล่าง (เริงชัย ตันสกุล และคณะ, 2527 : 1-2)

1.2 ลักษณะภูมิอากาศ

ทะเลขับสงขลาตั้งอยู่บริเวณภาคใต้ตอนล่าง อุณหภูมิไม่เปลี่ยนแปลงมากนัก กองภูมิอากาศ (2532) ได้แบ่งฤดูกาลบริเวณนี้เป็น 2 ฤดู คือ ฤดูร้อน (ฤดูแล้ง) กลางเดือนกุมภาพันธ์ถึงกลางเดือนพฤษภาคม และ ฤดูฝนซึ่งแบ่งเป็น 2 ช่วง คือ ฝนฤดูมรสุมตะวันตกเฉียงใต้ทางฝั่งตะวันตกของภาคตั้งแต่เดือนพฤษภาคมถึงกลางเดือนตุลาคมซึ่งน้ำมีฝนตกน้อยในจังหวัดสงขลา และฝนฤดูมรสุมตะวันออกเฉียงเหนือทางฝั่งตะวันออกของภาคตั้งแต่เดือนตุลาคมถึงกลางเดือนกุมภาพันธ์ระยะนี้มีฝนตกหนักในจังหวัดสงขลา สภาพอากาศในรอบ 10 ปี ของจังหวัดสงขลาแสดงในตาราง 1

ตาราง 1 ลักษณะภูมิอากาศของจังหวัดสงขลา (เฉลี่ยปี พ.ศ. 2530-2540)

	ม.ค.	ก.พ.	มี.ค.	เม.ย.	พ.ค.	มิ.ย.	ก.ค.	ส.ค.	ก.ย.	ต.ค.	พ.ย.	ธ.ค.
ปริมาณน้ำฝน (มิลลิเมตร)												
เฉลี่ย	38.05	20.05	42.79	76.85	123.65	84.30	94.50	142.76	124.40	231.67	501.03	391.53
อุณหภูมิ (°เซลเซียส)												
เฉลี่ย	27.19	27.45	28.26	29.05	28.60	28.77	28.50	28.33	27.89	27.38	26.90	26.72
เฉลี่ยสูงสุด	29.66	30.30	31.32	32.35	33.02	32.93	32.81	32.57	32.15	30.96	29.47	29.08
สูงสุด	30.19	30.84	31.98	33.41	33.62	34.33	34.10	33.75	32.93	31.97	31.00	29.97
เฉลี่ยต่ำสุด	24.84	24.63	25.04	25.33	25.38	25.16	24.73	24.52	24.46	24.35	24.38	24.37
ต่ำสุด	23.80	23.70	24.60	24.75	24.78	24.54	24.35	24.12	23.83	23.65	23.76	23.54

ตาราง 1 (ต่อ)

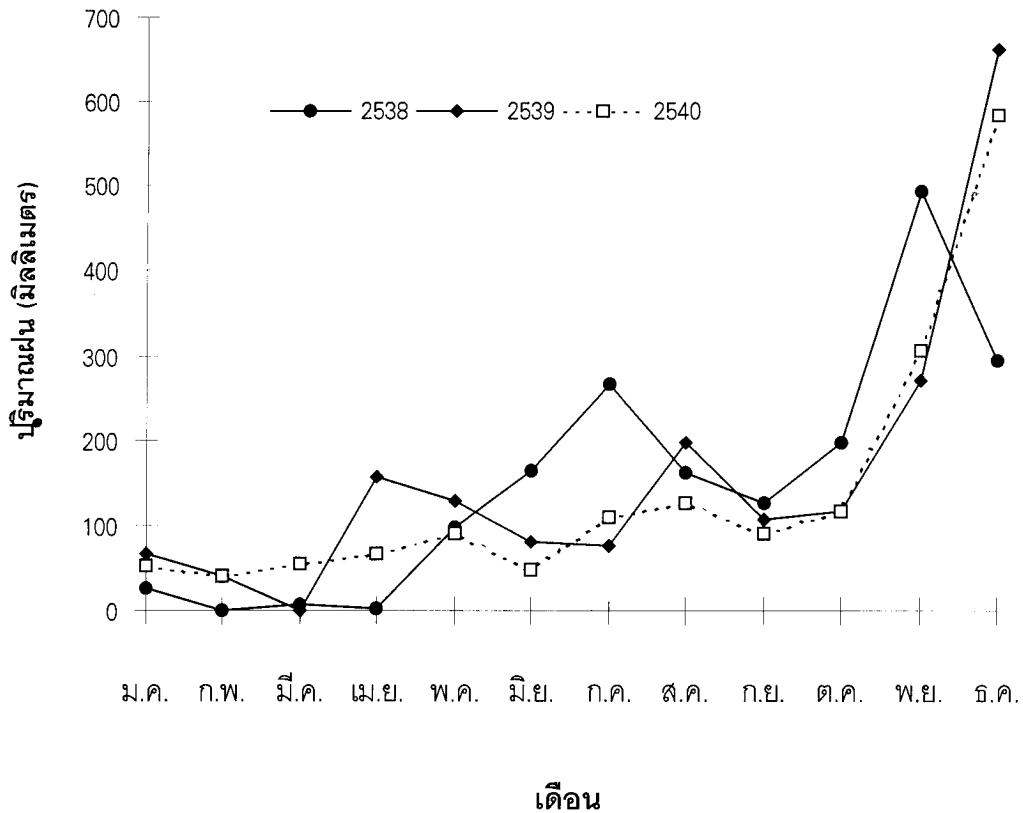
	ม.ค.	ก.พ.	มี.ค.	เม.ย.	พ.ค.	มิ.ย.	ก.ค.	ส.ค.	ก.ย.	ต.ค.	พ.ย.	ธ.ค.
ความชื้นสัมพัทธ์ (%)												
เฉลี่ย	75.04	75.23	75.59	75.82	76.27	75.05	75.52	75.71	77.31	81.53	83.29	80.08
ปริมาณแสงแดด (คลอร์/ตารางเซนติเมตร/วัน)												
เฉลี่ย	225.06	238.90	238.84	230.31	209.05	198.37	191.50	195.76	196.69	184.50	163.39	173.95
อัตราการระเหย (มิลลิเมตร / วัน)												
เฉลี่ย	5.00	5.54	6.11	5.88	5.09	4.76	4.54	4.72	4.52	4.01	3.44	4.01
ความเร็วลม (เน็อต)												
เฉลี่ย	6.96	6.08	5.28	3.87	3.17	3.18	3.45	3.61	3.41	2.87	4.42	5.99
เฉลี่ยสูงสุด	19.09	17.82	17.82	19.82	22.00	24.00	25.73	25.36	25.55	20.82	22.73	21.96
สูงสุด	25	21	22	33	35	27	38	34	33	27	30	28

หมายเหตุ : 1 เน็อต = 1.853 กิโลเมตร/ชั่วโมง

ที่มา : (ศูนย์พยากรณ์อากาศภาคใต้ผ่านดิน จังหวัดสงขลา ข้อมูลยังไม่ตีพิมพ์เผยแพร่)

1.3 ปริมาณน้ำฝน

ปริมาณน้ำฝนที่วัดได้ในเขตอำเภอโนนเนียง จังหวัดสงขลา (ห่างจากพื้นที่ศึกษาประมาณ 10 กิโลเมตร) ตั้งแต่ปี พ.ศ. 2538-2540 แสดงในภาพประกอบ 1



ภาพประกอบ 1 ปริมาณคนในสำนักงานเนียง จังหวัดสงขลา ระหว่างปี พ.ศ. 2538-2540

ที่มา : (กรมอุตุนิยมวิทยา ข้อมูลยังไม่ตีพิมพ์เผยแพร่)

2. โครงสร้างของป้าชายเลน

ป้าชายเลนเป็นระบบนิเวศที่ประกอบด้วยพันธุ์ไม้และสัตว์นานาชนิดดำรงชีวิตร่วมกันในสภาพแวดล้อมที่เป็นดินเลนน้ำกร่อยหรือน้ำทะเลข่าวมถึงสมำเสมอพบทั่วไปตามที่ราบปากแม่น้ำ ชายฝั่งทะเล ท่าศาบ และบริเวณรอบเกาะ (เที่ยมใจ ค.มกฤส, 2536 : 4)

พันธุ์ไม้ที่ขึ้นอยู่ในป้าชายเลนจะขึ้นเป็นแนวเขตหรือโซนค่อนข้างแน่นอนเนื่องจากปัจจัยทางกายภาพและเคมีของดิน ความเค็มดิน การระบายน้ำและกระแสน้ำ ความเปียกชื้นของดิน และความถี่ของน้ำทะเลข่าวมถึง (สนิท อักษรแก้ว, 2532 : 64) โดย สง่า สรรพศรี และคณะ (2530, อ้างถึงใน สนิท อักษรแก้ว, 2532 : 72) ได้สรุปไว้ชัดเจนว่า การขึ้นอยู่ของกลุ่มไม้ในลังค์ป้าชายเลน มีความสัมพันธ์กับสภาพพื้นที่และปัจจัยสิ่งแวดล้อมอย่างเด่นชัด คือ พากไม้แสมและลำพู เป็นไม้เบิกนำที่ชอบขึ้นอยู่บริเวณน้ำดินเป็นดินเลนมีทรัพย์สมและเป็นที่น้ำทะเลข่าวมถึง เป็นประจำ ไม่โคงกางใบเล็กและโคงกางใบใหญ่ชอบขึ้นอยู่ตามริมน้ำซึ่งเป็นดินเลนหนาเป็นพื้นที่

น้ำทะเลข่าวมถึงเป็นประจำ เช่นเดียวกับพอกแสมและลำปู พอกไม้ถั่วและไม้ปรงขอบขึ้นอยู่ในที่ดินเลนค่อนข้างแข็งมีน้ำทะเลข่าวมถึง สำหรับไม้ฝาดและไม้ตะบูนขอบขึ้นในที่ดินเลนแข็งและระดับพื้นที่ค่อนข้างสูงเล็กน้อย ส่วนพอกที่ขอบขึ้นอยู่บนพื้นที่เลนแข็งและมีน้ำทะเลข่าวมถึงบางครั้งบางคราวในรอบเดือน ได้แก่ ไม้ตากถุ ไม้เม็ด ไม้เปิง สำหรับบริเวณที่ป่าชายเลนถูกทางหลวงหรือทำลายจะพบปรงทะเลขึ้นอยู่อย่างหนาแน่น

3. ไม้ฝาดดอกขาว

ฝาดดอกขาว (*Lumnitzera racemosa* Willd.) 属于 Combretaceae วงศ์ ศักดิ์ *Lumnitzera* ซึ่งพืชในวงศ์นี้ที่เป็นพืชในป่าชายเลนหรือขึ้นอยู่ใกล้เคียงกับป่าชายเลนมีอีก 3 ศักดิ์ คือ ศักดิ์ *Laguncularia*, ศักดิ์ *Conocarpus* และ ศักดิ์ *Terrinalia* (Tomlinson, 1986 : 220) โดย ศักดิ์ *Laguncularia* มี 1 ชนิด คือ *Laguncularia racemosa* ซึ่งขึ้นกระจายอยู่เฉพาะในป่าชายเลนซึ่งโลกตะวันตกเท่านั้น (Tomlinson, 1986 : 42) สำหรับศักดิ์ *Lumnitzera* มี 2 ชนิด คือ *L. racemosa* Willd. (ฝาดดอกขาว) และ *L. littorea* (Jack) Voigt. (ฝาดดอกแดง) ทั้ง 2 ชนิดขึ้นกระจายอยู่ในป่าชายเลนแบบซึ่งโลกตะวันออก (Tomlinson, 1986 : 42) พันธุ์ไม้ในประเทศไทยที่อยู่วงศ์ Combretaceae เช่นเดียวกับฝาดดอกขาว ได้แก่ จื๊อ้าย (*Terminalia nigrovenulosa*), สมอดีง (*T. citrina*), สมอไทย (*T. chebula*) และหุกวาง (*T. catappa*) (สุรีย์ ภูมิภาร และอนันต์ คำคง, 2540 : 50, 402, 404, 463)

ฝาดดอกขาวขึ้นอยู่ระหว่างเส้นทางที่ 45 องศาตะวันออก ถึง 150 องศาตะวันออก จากบริเวณแอฟริกาตะวันออก ถึง แปซิฟิคตะวันตก (ฟิจิและตองกา) รวมถึงเขตขั้นเขาของคอสเตราเดียและอินโดจีน (Tomlinson, 1986 : 43-45) พบรากในบริเวณป่าชายเลนตอนในที่มีดินเลนค่อนข้างแข็ง ลำต้นมีขนาดปานกลาง เปลือกเรียบสีน้ำตาลอ่อน (ชนิด อักษรแก้ว และคนะ, 2535 : 87) เนื้อไม้ของลำต้นไม่มีแก่นไม้ (heartwood) (Chapman, 1976 : 338) ในเมล็ดจะเป็นรูปไปรษณีย์สีเขียวอ่อน แผ่นใบยาวประมาณ 5-8 เซนติเมตร ใบอ่อนมักจะมีขนอ่อนเล็ก ๆ ช่อดอกแตกออกจากซอกกิ่งหรือซอกใบ ดอกออกเป็นกระฉูก กลีบดอกสีขาว เป็นดอกสมบูรณ์เพศ การผสมเกสรมีการผสมภายในดอกเดียวกันหรือข้ามดอกโดยมีพำนาะเป็นสตว์พอกแมลงตัวเล็ก ๆ เช่น ตัวต่อ ผึ้ง ผีเสื้อ ผีเสื้อกลางคืน (Tomlinson, 1986 : 227) ผลออกเป็นกระฉูก ภายในมีพี่ยง 1 เมล็ด ให้จำนวนเมล็ดมากแต่มีความสมบูรณ์ที่จะออกได้ต่ำ ผลแก่เมล็ดจะเป็นเมล็ดแห้งยาวประมาณ 2-3 เซนติเมตร ลอยน้ำได้ จึงมีการกระจายพันธุ์โดยกระแสน้ำ (Tomlinson, 1986 : 220, 229) นอกจากรากฝาดดอกขาวยังมีความสามารถในการทนความเค็มได้สูงกว่าฝาดดอกแดง จึงอาจพบร่วมกับปรง และแสม (Tomlinson, 1986 : 229)

เรือนยอดและทรงพุ่มฝาดดอกขามีรูปแบบจำลองในเชิงสถาปัตยกรรม (architectural model) แบบ Attiems's model คือลำต้นมีการเจริญติดต่อกันไปตลอด มีกิ่งเกิดในแนวตั้งและมีซอกดอกออกทางด้านข้างของกิ่ง อาจมีการแตกกิ่งติดต่อกันไปหรือไม่ติดต่อกันก็ได้ ต้นที่แข็งแรงมากจะมีการแตกกิ่งติดต่อกันไปตลอด แต่โดยทั่วไปแล้วกิ่งมักจะซ้อนกันเป็นชั้นหลวມๆ (เทียมใจ คอมกฤษ, 2536 : 40 ; Tomlinson, 1986 : 63, 227) แต่ถ้าขึ้นอยู่อย่างหนาแน่นมาก ๆ จะมีการทึบกิ่งล่าง ลำต้นสูงชazole เรือนยอดและทรงพุ่มเป็นทรงกรวย (conical) (Tomlinson, 1986 : 227) นอกจากนั้นไม้ชนิดนี้ยังมีความสามารถที่จะสร้างเรือนยอดใหม่ทดแทนส่วนที่หักโค่นออกไปได้อย่างรวดเร็ว (เทียมใจ คอมกฤษ, 2536 : 128)

- ฝาดดอกขามีความสามารถที่จะขยายพื้นที่และกระจายพื้นที่โดยไม่ออาศัยเพศได้ โดยการแผ่กิ่งล่างให้หอดเลี้ยงออกไปส่วนที่สัมผัสดินสามารถคงอกรากและแตกขึ้นเป็นต้นหรือกิ่งใหม่ได้ โดยมักจะแตกออกไปทางด้านที่เป็นทะเล ลักษณะที่ปลายกิ่งหอดเนื่องจากออกไปจากต้นเดิมแบบนี้เรียกว่า "sprawling" (เทียมใจ คอมกฤษ, 2536 : 45-47)

รากพิเศษของฝาดดอกขามมีลักษณะโครงสร้างก้ากึ่งระหว่างรากคล้ายขา (knee roots) และรากหายใจ (pneumatophore) (Tomlinson, 1986 : 101)

4. ผลผลิตจากการร่วงหล่นของชาบที่ช้ำ

ผลผลิตขึ้นปฐมภูมิของป่าชายเลนส่วนใหญ่แล้วประเมินโดยการวัดอัตราการร่วงหล่นของชาบที่ช้ำ (Brown and Lugo, 1982, quoted in Twilley, 1998 : 454) โดยที่ผลผลิตของชาบที่ช้ำจากต้นไม้ในป่าชายเลนเป็นตัวแทนหลักของอินทรีย์วัตถุและสารอาหารที่กระจายความอุดมสมบูรณ์ไปสู่แหล่งน้ำบริเวณชายฝั่งใกล้เคียง (Odum and Heald, 1972, quoted in Twilley, 1995 : 48) เมื่อชาบที่ช้ำร่วงลงสู่พื้นป่าหรือพื้นน้ำ ชาบที่ช้ำบางส่วนโดยเฉพาะชาบที่ช้ำจะนำไปจูกกัดกินเป็นอาหารโดยสัตว์น้ำดิน เช่น ปู แอมพิปอด หรือทำให้ชาบที่ช้ำแตกเป็นชิ้นเล็ก ๆ ง่ายต่อการย่อยลายโดยจุลทรรศน์ ในที่สุดก็จะกลับเป็นแร่ธาตุอาหารของจุลทรรศน์ และสัตว์น้ำดินซึ่งเป็นกลุ่มผู้บริโภคอินทรีย์สาร (detritus consumers) ซึ่งสัตว์พวกนี้ก็กลับเป็นอาหารให้กับผู้บริโภคในระดับที่สูงขึ้นไปอีกตามระดับของอาหาร (tropic level) นอกจากนี้เส้นทางของชาบที่ช้ำอาจถูกนำออกจากระบบนิเวศป่าชายเลนเข้าสู่ระบบอนิเวศของแหล่งน้ำข้างเคียงโดยกระแสน้ำขึ้นน้ำลงหลังจากที่ท่อมพื้นป่า น้ำผิวดินที่เกิดจากฝนตก หรือกระแสน้ำในแม่น้ำไหลท่วมพื้นป่าในฤดูน้ำหลาก (Woodroffe, et al., 1988 : 592)

มีการศึกษาเกี่ยวกับผลผลิตจากการร่วงหล่นของชาบที่ช้ำในป่าชายเลนหลายพื้นที่ ตามภูมิภาคต่าง ๆ ของโลก (ตาราง 2) พบว่าผลผลิตจากการร่วงหล่นของชาบที่ช้ำสูงสุด 2,810 กรัม /

ตารางเมตร/ปี ในป่าชายเลนผสม เกาะ Hinchinbrook รัฐควีนแลนด์ ประเทศออสเตรเลีย (Bunt, 1978 : 253)

4.1 ปัจจัยที่เกี่ยวข้องกับผลผลิตจากการร่วงหล่นของซากพืชในป่าชายเลน ได้แก่

4.1.1 ลักษณะโครงสร้างของป่า ได้แก่ ความสูงของต้นไม้ (Woodroffe, 1985 : 265 ;

Saenger and Snedaker, 1993 : 295)

4.1.2 ชนิดและลักษณะพื้นที่ป่าชายเลน : ทำให้มีผลผลิตของซากพืชจากป่าชายเลนต่างกัน ดังนี้ riverine > overwash > fringe > basin > hammock > dwarf หรือ scrub (Pool, et al., 1975 : 232 ; Twilley, et al., 1986 : 677 ; Day, et al., 1996 : 39)

4.1.3 ตำแหน่งที่ตั้งในแนวเส้นรุ่ง : ผลผลิตซากพืชมีแนวโน้มมากขึ้นเมื่อตำแหน่งเส้นรุ่งต่ำลง (Twilley, 1992 : 275 ; Saenger and Snedaker, 1993 : 295, 297)

4.1.4 ความเค็มดินในป่าชายเลน : ผลผลิตจากการร่วงหล่นของซากพืชมีความสัมพันธ์ในเชิงตรงข้ามกับความเค็มดิน โดยจากการศึกษาของ Twilley, et al. (1986 : 673) พบว่าป่าชายเลน ในพื้นที่ที่มีความเค็มดินต่ำกว่า 45 พีพีที ให้ผลผลิตจากการร่วงหล่นของซากพืชเฉลี่ย 803 กรัม/ตารางเมตร/ปี ในขณะที่ ป่าชายเลนที่มีความเค็มดินเฉลี่ย 67 พีพีที ให้ผลผลิตจากการร่วงหล่นของซาก 444 กรัม/ตารางเมตร/ปี เท่านั้น

4.1.5 ถูกกาล : ป่าชายเลนในหลายพื้นที่ให้ผลผลิตจากการร่วงหล่นของซากพืชมากที่สุดในถูกผุน (Leach and Burgin, 1985 : 215 ; Pool, et al., 1975 : 217, 228 ; Woodroffe and Moss, 1984 : 253 ; Woodroffe, et al., 1988 : 581 ; Lee, 1989 : 78) มีบางพื้นที่ให้ค่ามากที่สุดในถูกร้อนเนื่องจากเป็นช่วงสร้างใบใหม่และสัดดิใบเก่าทึ้ง (Woodroffe, 1982 : 183 ; Goulter and Allaway, 1979 : 541 ; Angsupanich and Aksornkoae, 1994c : 35) แต่มีบางพื้นที่ให้ค่ามากที่สุดทึ้งในถูกผุนและถูกร้อน (Day, et al., 1996 : 53) ลักษณะพืกลักษณะของป่าชายเลนที่มีการเปลี่ยนแปลงเป็นถูกกาล อาจเป็นผลมาจากการปัจจัยร่วมระหว่างสิ่งแวดล้อมภายนอก และปัจจัยภายในของต้นไม้ตลอดถึงหน้าที่ทางนิเวศวิทยา เช่น การผสมเกสร การกระจายผลหรือฝัก (Leach and Burgin, 1985 : 223)

4.1.6 ความรุนแรงของคลื่นและการเสนอขึ้นน้ำลง และการหมุนเวียนของน้ำ (Pool, et al., 1975 : 232-233 ; Wafar, et al., 1997 : 117)

4.1.7 ปริมาณน้ำผิวดินที่หลักท่อมพื้นที่ : โดยนำสารอาหาร น้ำจืด และดินตะกอนเข้าสู่ป่าชายเลนทำให้ผลผลิตของซากพืชมากขึ้น (Pool, et al., 1975 : 232)

4.2 ซากพืชที่ร่วงหล่นมีซากใบเป็นองค์ประกอบหลักและธาตุอาหารในซากใบของพืชบางชนิด มีธาตุในต่อเจนและฟอสฟอรัสสูงกว่า ซากพืชสวนอื่น ๆ แต่ธาตุอาหารดังกล่าวในซากใบหรือใบแก่

จัดที่พร้อมจะร่วงมีปริมาณน้อยกว่าในใบอ่อนที่กำลังเจริญเติบโต (Woodroffe, et al., 1988 : 593 ; Wafar, et al., 1997 : 114) อัตราการหมุนเวียนของชาကพืช วัดได้จากปริมาณชาคัพช์ที่เหลือสะสมในพื้นป่า ถ้ามีเหลือน้อยแสดงว่ามีอัตราการหมุนเวียนสูง (Pool, et al., 1975 : 229)

ตาราง 2 ผลผลิตจากการร่วงหล่นของชาคัพช์ในป่าชายเลนบริเวณต่าง ๆ ของโลก

ชนิดไม้	สถานที่	ผลผลิตของชาคัพช์	เอกสารอ้างอิง
		กรัม/ตารางเมตร/ปี	
Mixed forest	Southern Florida	850	Pool, et al., 1975
Mixed forest	Puerto Rico	1,278	Pool, et al., 1975
Mixed forest	Queensland, Australia	370-2810	Bunt, 1978
Mixed forest	Ranong, Thailand	872	Aksornkoae, et al., 1982
Mixed forest	Southwest, Florida	810	Twilley, et al., 1986
Mixed forest	Ranong, Thailand	822	Aksornkoae, et al., 1991
Mixed forest	Suratthani, Thailand	1,022	Angsupanich and Aksornkoae, 1994b
Mixed forest	Phang-nga, Thailand	550	Angsupanich and Aksornkoae, 1994c
Mixed forest	West Java, Indonesia	1,039	Soeroyo and Atmadja, 1994
Mixed forest	Campeche, Mexico	793	Day, et al., 1996
<i>Avicennia marina</i>	Sydney, Australia	580	Goulter and Allaway, 1979
<i>A. marina</i>	Auckland, New Zealand	810	Woodroffe, 1982
<i>Avicennia</i> sp.	Malay Peninsula	1,540	Sasekumar and Loi, 1983
<i>A. marina</i>	Mgeni Estuary, South Africa	698	Steinke and Charles, 1986
<i>A. germinans</i>	Southwest, Florida	444	Twilley, et al., 1986
<i>A. marina</i>	St Lucia Estuary, South Africa	1,013	Steinke and Ward, 1988
<i>A. marina</i>	Richard Bay, South Africa	1,056	Steinke and Ward, 1988
<i>A. marina</i>	Darwin Harbour, Australia	1,402	Woodroffe, et al., 1988
<i>A. marina</i>	Saudi Arabian Red Sea Coast	788	Saifullah, et al., 1989
<i>A. marina</i>	Nqusi river, South Africa	451	Steinke and Ward, 1990
<i>A. germinans</i>	Campeche, Mexico	307	Day, et al., 1996

ตาราง 2 (ต่อ)

ชนิดไม้	สถานที่	ผลผลิตของชาคพีช	เอกสารอ้างอิง
		กรัม/ตารางเมตร/ปี	
<i>A. officinalis</i>	Mandovi-Zuari Estuaries, India	1,020	Wafar, et al., 1997
<i>Bruguiera gymnorhiza</i>	Mgeni Estuary, South Africa	824	Steinke and Charles, 1986
<i>B. gymnorhiza</i>	St Lucia Estuary, South Africa	729	Steinke and Ward, 1988
<i>B. gymnorhiza</i>	Richard Bay, South Africa	824	Steinke and Ward, 1988
<i>Ceriops tagal</i>	Darwin Harbour, Australia	300	Woodroffe, et al., 1988
<i>Kandelia candel</i>	Hong Kong	1,107	Lee, 1989
<i>Rhizophora</i> sp.	Malay Peninsula	1,577	Sasekumar and Loi, 1983
<i>R. stylosa</i>	South Pacific	777	Woodroffe and Moss, 1984
<i>R. stylosa</i>	Papua New Guinea	1,430	Leach and Burgin, 1985
<i>R. stylosa</i>	Darwin Harbour, Australia	1,221	Woodroffe, et al., 1988
<i>R. apiculata</i>	Mandovi-Zuari Estuaries, India	1,170	Wafar, et al., 1997
<i>R. mucronata</i>	Mandovi-Zuari Estuaries, India	1,180	Wafar, et al., 1997
<i>Sonneratia</i> sp.	Malay Peninsula	1,402	Sasekumar and Loi, 1983
<i>S. alba</i>	Mandovi-Zuari	• 1,700	Wafar et al., 1997

5. การผู้ผลิตของชาคพีช

การศึกษาอัตราการผู้ผลิตของชาคพีชส่วนใหญ่ใช้วิธีการนำไปเมี้ยส์ในถุงในล่อนแล้วนำไป平均บนพื้นบ่าแล้วซึ่งน้ำหนักเพื่อตรวจสอบน้ำหนักที่หายไปเป็นระยะ ๆ ปัจจัยควบคุมการผู้ผลิตของชาคพีช ได้แก่ ปริมาณออกซิเจน ความชื้น ปริมาณสัตว์เล็กๆ ในดิน สมบัติทางกายภาพ และเคมีของน้ำ ประเทาของน้ำ ปัจจัยทางชีวภาพ รา แบคทีเรีย ปู การขึ้นลงของน้ำทะเล แรงกระแทกของคลื่นและกระแสน้ำ (สนิท อักษรแก้ว, 2532 : 136) ตลอดถึงระยะเวลาที่ใบไม้แห้งอยู่ในน้ำ และการซ่อนหบกันของใบไม้ (Angsupanich, et al., 1989 : 149)

การผู้ผลิตของชาคพีชเป็นกระบวนการที่ต่อเนื่องจากการร่วงหล่นของชาคพีช เริ่มจากที่ชาคพีชถูกทำให้เป็นชิ้นเล็ก ๆ โดยการกดกินของแมลงปีกปอ และปู ต่อเนื่องด้วยการย่อยด้วยจุลินทรีย์ ราและแบคทีเรีย (Cundell, 1979 : 285) จากนั้นถูกใช้หรือใช้ซ้ำโดยกลุ่มผู้บริโภคคินทรีย์สา (detritivores) มักจะเป็นสัตว์น้ำดินขนาดเล็ก (meiofauna) ซึ่งจะถูกกินต่อโดยหนอน หอย

กุ้ง ปู ซึ่งเป็นผู้บริโภคกลุ่ม lower carnivores สิ้นสุดที่ผู้บริโภคระดับสูง higher carnivores อาจเป็นปลาขนาดใหญ่ นกกินปลา แมวน้ำ หรือมนุษย์เอง (FAO, 1994 : 40)

Heald (1969) และ Odum (1970) (อ้างถึงใน Cundell, et al., 1979 : 281) พบว่าในเวลา 1 ปี ใบโกรกกา (R. mangle) ที่ใส่ในถุงตาข่ายขนาดช่อง 2.5 มิลลิเมตร ผุ粟รายได้ 95% ในน้ำกร่อย โดยที่ช่วง 2 เดือนแรกของการแข่งขันสารแทนนินเพร่ออกแล้วจึงถูกย่อยด้วยราและแบคทีเรีย protozoa หนอนตัวกลม (nematodes) โรคเฟอร์ แและแคมพิปอด

ผลผลิตและการผุ粟รายของชาကพืชในบริเวณป่าชายเลนซึ่งเป็นแหล่งสารอาหาร (nutrient sources) ให้กับชีวภาพทะเล (estuary) จะขึ้นอยู่กับ (1) ความหลากหลายตามชนิดพันธุ์ ของพืชในป่าชายเลน (2) เปอร์เซ็นต์ของสารอาหารในชาကพืช และ (3) ผลผลิตจากการร่วงหล่นของชาคพืชแต่ละชนิดพันธุ์ (Angsupanich and Aksornkoae, 1994a : 39) ซึ่งข้อมูลเหล่านี้จะเป็นส่วนหนึ่งในการจัดการและอนุรักษ์ป่าชายเลนให้อย่างยั่งยืนโดยมีประสิทธิภาพและอย่างต่อเนื่องไม่มีที่สิ้นสุด การศึกษาเกี่ยวกับการผุ粟รายของใบไม้ป่าชายเลนในภูมิภาคต่าง ๆ แสดงในตาราง 3

ตาราง 3 อัตราการผุ粟รายของใบไม้ในป่าชายเลนแบบต่าง ๆ ของโลก

ชนิดพันธุ์	สถานที่	อัตราการผุ粟รายของใบไม้ % ของน้ำหนักแห้งเริ่มต้น (วัน)	เอกสารอ้างอิง
Mixed mangrove	Ranong, Thailand	80-97 (365)	Aksornkoae, et al., 1991
Mixed mangrove	Phang-nga, Thailand	30-60 (42)	Angsupanich and Aksornkoae, 1994a
Mixed mangrove	Suratthani, Thailand	52-62 (42)	Angsupanich, and Aksornkoae, 1994b
Mixed mangrove	Mandovi-Zuari Estuaries, India	98-100 (105)	Wafar, et al., 1997
<i>Avicennia alba</i>	Okinawa, Japan	50 (24-34)	Angsupanich, et al., 1989
<i>A. marina</i>	New Zealand	50 (60)	Albright, 1976
<i>A. marina</i>	Phuket, Thailand	50 (20)	Boonraung, 1978

ตาราง 3 (ต่อ)

ชนิดพันธุ์	สถานที่	อัตราการผุ粟ายของใบไม้		เอกสารข้างอิง
		% ของน้ำหนักแห้งเริ่มต้น (รุ่น)		
<i>A. marina</i>	Sydney, Australia	50 (56)		Goulter and Allaway, 1979
<i>A. marina</i>	Auckland, Australia	50 (42-56)		Woodroffe, 1982
<i>A. marina</i>	Victoria, Australia	80-90 (230-270)		Van Der Valk and Attiwill, 1984
<i>A. marina</i>	Queensland, Australia	50 (11)		Robertson, 1988
<i>A. marina</i>	Okinawa, Japan	50 (13-16)		Angsupanich, et al., 1989
<i>A. officinalis</i>	Mandovi-Zuari Estuaries, India	98-100 (56)		Wafar, et al., 1997
<i>Bruguiera gymnorhiza</i>	Okinawa, Japan	50 (52-56)		Angsupanich, et al., 1989
<i>Ceriops tagal</i>	Queensland, Australia	50 (27)		Robertson, 1988
<i>Laguncularia racemosa</i>	Paranagua Bay, Brazil	50 (26)		Sessegolo and Lana, 1991
<i>Rhizophora apiculata</i>	Phuket, Thailand	50 (40)		Boonraung, 1978
<i>R. apiculata</i>	Bais Bay, Philippines	50 (14)		de Leon, et al., 1994
<i>R. stylosa</i>	Okinawa, Japan	50 (17-18)		Angsupanich, et al., 1989
<i>Sonneratia alba</i>	Mandovi-Zuari Estuaries, India	98-100 (105)		Wafar, et al., 1997

วัดถุปะสังค์

- ศึกษาโครงสร้างของป่าไม้ฝาดดอกขาว ที่บริเวณคลองปากกรอ ทะเลสาบสงขลา
 - ศึกษาการร่วงหล่นของซากพืชของป่าไม้ฝาดดอกขาว ในพื้นที่เดียวกันกับข้อที่ 1.
 - ศึกษาการผุสลายของใบฝาดดอกขาว ในพื้นที่เดียวกันกับข้อที่ 1.
 - ศึกษาลักษณะทางกายภาพและเคมีของดินและน้ำที่มีความสำคัญต่อโครงสร้างป่า การร่วงหล่นของซากพืช และการผุสลายของใบฝาดดอกขาวในพื้นที่ศึกษา
 - ศึกษาผลตอบแทนทางเศรษฐกิจสังคมของพื้นที่ศึกษา

บทที่ 2

วิธีการวิจัย

1. วัสดุและอุปกรณ์

1.1 อุปกรณ์ที่ใช้เก็บซากพืชที่ร่วงหล่นและผุสลาย

1.1.1 ตะแกรง (litter trap) ใช้ไม้ทำเป็นกรอบสี่เหลี่ยมขนาด 1×1 ตารางเมตร มีส่วนรองรับซากพืชทำด้วยตาข่ายในล่อนขนาดช่อง 1.5 มิลลิเมตร บุเป็นถุงลึกลึกประมาณ 50 เซนติเมตร (ภาพประกอบ 2 (ก))

1.1.2 ถุง (litter bag) ทำจากตาข่ายในล่อนขนาดช่อง 1.5 มิลลิเมตร เป็นถุงขนาด 20×30 เซนติเมตร (ภาพประกอบ 2 (ข))

1.2 อุปกรณ์ศึกษาโครงสร้างป่าไม้

1.2.1 เจ็มทิศ

1.2.2 แบบวัดความเยาว์

1.2.3 ไม้รัดระดับความสูง

1.3 อุปกรณ์เก็บตัวอย่างดินและวิเคราะห์คุณสมบัติของดินและน้ำ

1.3.1 เครื่องมือเก็บตัวอย่างดินแบบกราบออกเจาะ (core-type auger)

1.3.2 เครื่องวัดศักย์ไฟฟ้า (ORP meter, TOA Electronic - RM 12P)

1.3.3 เครื่องวัด pH (pH meter, Radiometer Copenhagen)

1.3.4 เครื่องวัดดัชนีหักเหแสง (refractometer, Atago-S 28)

1.3.5 เทอร์โมมิเตอร์

1.3.6 เครื่องวัดการนำไฟฟ้า (conductometer, ORION model 160)

1.3.7 ชุดเครื่องมือวิเคราะห์ธาตุคาร์บอน ธาตุไนโตรเจน

1.3.8 เครื่องスペกโตรโฟโตมิเตอร์ (UV - Vis Spectrophotometer)

1.3.9 เครื่องวัดการดูดกลืนแสงของอะตอม (atomic absorption spectrophotometer, Perkin-Elmer 4000)

1.3.10 เครื่องวัดการปลดปล่อยแสงของเพลวไฟ (flame photometer, Corning-410)

1.3.11 เครื่องวัดความถ่วงจำเพาะ (hydrometer) ชนิดประเมินผลเนื้อดิน

(۱)



(۲)

30 cm



20 cm

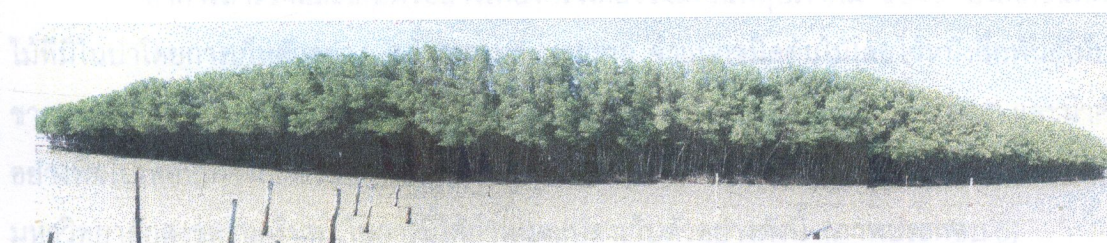
ภาพประกอบ 2 (ก) ตัวแกร่งที่ใช้ในการศึกษาการร่วงหล่นของชาบที่ซ

(๗) ถุงไส้ใบไม้เพื่อศึกษาการผลิตลายของใบฝ่าดดอกขาว

(ก) จังหวัดเชียงใหม่ จำนวน 100 ราย 26.8 (๙)



(P)



ภาพประกอบ 3 สภาพป่าไม้ฝาดดอกขาว พื้นที่ศึกษา

(ก) พื้นที่ด้านกว้าง

(၁) တိုင်းဒေသကြော်လျှပ်စီး

(ค) พื้นที่ด้านขวา *or at the right hand side* ตั้งแต่ 4 ชั่วโมงเช้ามาจนถึงเที่ยงคืน

1.4 อุปกรณ์เก็บตัวอย่างและวิเคราะห์ธาตุในใบฝ่าด

- 1.4.1 ถุงกระดาษ
- 1.4.2 เตาอบ
- 1.4.3 เครื่องบด
- 1.4.4 เครื่องแก้วและสารเคมีที่ใช้วิเคราะห์ธาตุ
- 1.4.5 เครื่องชั่งละเอียด (ความแม่นยำ 0.1 มิลลิกรัม)

2. วิธีดำเนินการวิจัย

2.1 พื้นที่ศึกษา

ป้าไม้ฝ่าดออกขาวตั้งอยู่ริมคลองปากรอระหัวงหะเหลาบสังขลาตอนนอกกับทะเลสาบสังขลาตอนใน บ้านกลาง หมู่ที่ 6 ตำบลควนис อำเภอคนเนียง จังหวัดสangขลา ตั้งอยู่บริเวณเส้นรุ้งที่ 7 องศา 15 ลิบดา 30 พลิบดา เหนือ เส้นแบ่งที่ 100 องศา 25 ลิบดา 26 พลิบดา ตะวันออก มีพื้นที่ประมาณ 5 ไร่ (0.8 เฮกเตอร์) (ภาพประกอบ 3 และ 4)

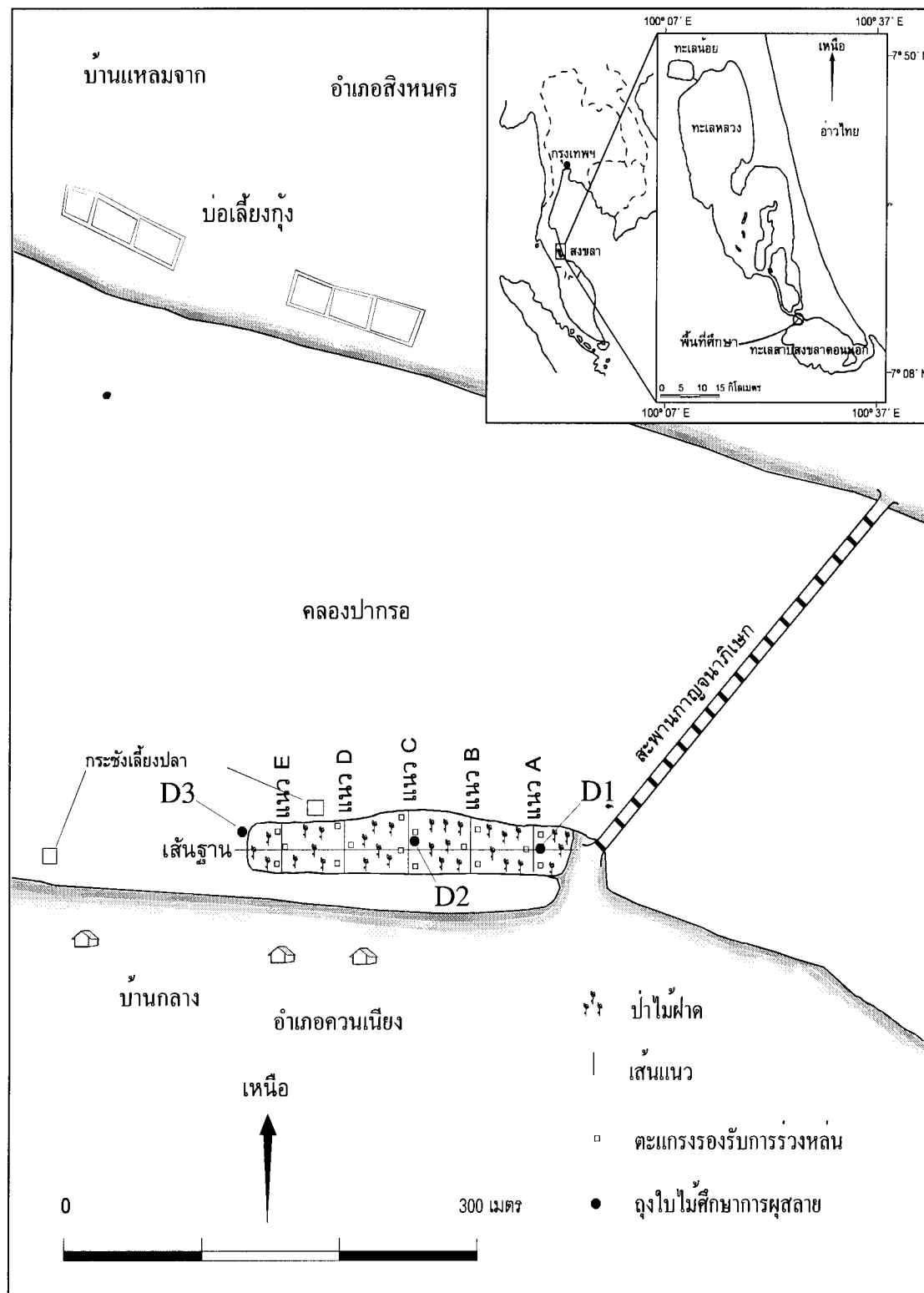
2.2 จุดเก็บตัวอย่าง

เพื่อให้การเก็บตัวอย่างครอบคลุมพื้นที่ได้กำหนด เส้นฐาน (base line) 1 เส้น ตัดพื้นที่ศึกษาตามยาว และแนวศึกษา (transect line) 5 แนว ตั้งจากกับเส้นฐาน ระยะห่างของแต่ละแนว 50 เมตร กำหนดเป็น แนว A, B, C, D และ E ทุกแนวยาว 30 เมตร ยกเว้นแนว C ยาว 40 เมตร (ภาพประกอบ 4)

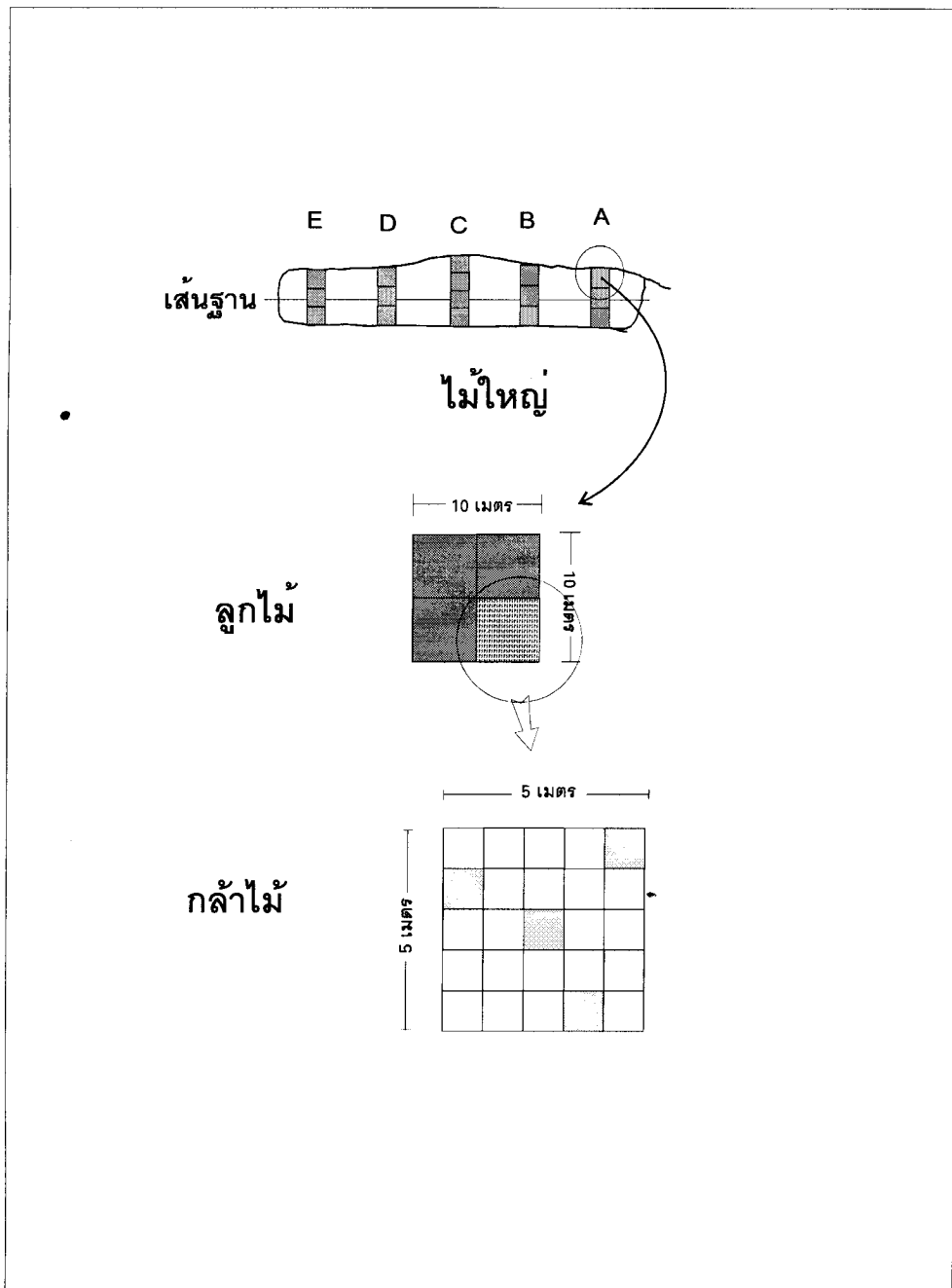
2.3 การศึกษาโครงสร้างป้าไม้

ทำการสำรวจและเก็บตัวอย่างเพียงครั้งเดียวในเดือนพฤษภาคม 2540 บันทึกชนิดต้นไม้ที่มีใบป้าโดยการเก็บตัวอย่าง ใบ ดอก ผล และราก จำแนกชนิดต้นไม้โดยใช้หนังสือพันธุ์ไม้ป้าชาญเลน (สนิท อักษรแก้ว และคณะ, 2535 ; เต็ม สมตินันท์, 2523. ; Tomlinson, 1986) และนำตัวอย่างพืชไปเทียบเคียงกับตัวอย่างพันธุ์ไม้ในพิพิธภัณฑ์พืช ภาควิชาชีววิทยา คณะวิทยาศาสตร์ มหาวิทยาลัยสงขลานครินทร์ ในการนี้ได้กำหนดแปลงเก็บตัวอย่างดังนี้ (ภาพประกอบ 5)

2.3.1 กำหนดแปลงตัวอย่างขนาด 10×10 ตารางเมตร ติดต่อกันเป็นแบบต่อๆ กัน ของแนวทุกแนวในข้อ 2.2 ได้แปลงตัวอย่างแนวละ 3 แปลง ยกเว้นแนว C ได้แปลงตัวอย่าง 4 แปลง รวมทั้งหมด 16 แปลง แต่ละแปลง บันทึกข้อมูล ชนิด ขนาดเส้นผ่าศูนย์กลางและความสูง ของต้นไม้ทุกต้นที่เป็นไม้ใหญ่ (tree) มีขนาดเส้นผ่าศูนย์กลางที่ระดับ 1.3 เมตรจากพื้นดินหรือเส้นผ่าศูนย์กลางเพียงอก (DBH : diameter at breast height) ตั้งแต่ 4 เซนติเมตรขึ้นไป ยกเว้นไม้โงกโงก (*Rhizophora* sp.) วัดที่ระดับเหนือคอราก (root collar) 20 เซนติเมตร ซึ่งในการวัดขนาด



ภาพประกอบ 4 พื้นที่ศึกษาบริเวณคลองปากกรอ ท่าเรือสาบสงขลา



ภาพประกอบ 5 แปลงเก็บตัวอย่างที่ไม้มีศึกษาโครงสร้างป่า

เส้นผ่าศูนย์กลางใช้แบบวัดความยาว ส่วนความสูงใช้มั่วัดระดับความสูงและการจะประมาณด้วยสายตา (Aksornkoae, et al., 1991:30)

2.3.2 ในแปลงตัวอย่างขนาด 10×10 ตารางเมตร ทุกแปลงในข้อ 2.3.1 ทำการวางแปลงย่อยขนาด 5×5 ตารางเมตรจำนวน 4 แปลง แล้วสูมตัวอย่างมา 1 แปลง ทั่วพื้นที่ศึกษาได้แปลงตัวอย่างขนาด 5×5 ตารางเมตร ทั้งหมด 16 แปลง ทุกแปลงบันทึกชื่อมูลชนิดและจำนวนต้นของลูกไม้ (sapling) ไม่ที่มีขนาดเส้นผ่าศูนย์กลางเพียงอกน้อยกว่า 4 เซนติเมตร และสูงมากกว่า 1 เมตร

2.3.3 ในแปลงตัวอย่าง ขนาด 5×5 ตารางเมตร ที่ใช้ศึกษาลูกไม้ทุกแปลง ทำการวางแปลงย่อยขนาด 1×1 ตารางเมตร จำนวน 25 แปลงย่อย สูมเขามา 4 แปลงย่อย ทั่วพื้นที่ได้ 64 แปลงย่อย ทุกแปลงที่สูมมาได้บันทึกชนิดและจำนวนกล้าไม้ (seedling) ไม่ที่มีความสูงน้อยกว่า 1 เมตร

2.3.4 ที่จุดตัดระหว่างเส้นฐานกับเส้นแนวหัก 5 แนว วางแปลงตัวอย่างขนาด 5×10 ตารางเมตร จุดละ 1 แปลง โดยด้านกว้างของแปลงอยู่ในแนวเส้นแนว ส่วนด้านยาวอยู่ในแนวเส้นฐาน แต่จะแปลงบันทึก ขนาดเส้นผ่าศูนย์กลางเพียงอก และความสูงของต้นไม้ทุกต้น และทำการวัดรูปการแบ่งชั้นความสูงของพื้นตามแนวตั้ง (profile diagram) การครอบคลุมและการกระจายเรือนยอด (crown cover) ของพื้นตามแนวอน โดยใช้มาตราส่วนเดียวกัน แล้วนำรูปที่ได้จากแต่ละแนววางติดต่อกันเพื่อแสดงภาพรวมโครงสร้างของป่าไม้ในพื้นที่ศึกษา

นำชื่อมูลไปวิเคราะห์ ขนาดเส้นผ่าศูนย์กลางเฉลี่ย ความสูงเฉลี่ย ความหนาแน่นเฉลี่ย ของสังคมพืช การกระจายของต้นไม้ตามชั้นขนาดเส้นผ่าศูนย์กลาง (diameter class) การกระจายของต้นไม้ตามชั้นขนาดความสูง (height class) โครงสร้างของป่าไม้ในรูปการแบ่งชั้นความสูงของพื้นตามแนวตั้ง (profile diagram) และการครอบคลุมของเรือนยอด (crown cover) รวมทั้งคำนวณปริมาตรไม้ โดยใช้ allometric equation ตามการศึกษาของ Kongsangchai (1988) (อ้างถึงในวิจารณ์ มีผล, 2540 : II-10) ดังนี้

$$Vs = b (D^2 H)^a$$

$$\log Vs = \log b + a \log D^2 H$$

เมื่อ Vs = ปริมาตรของลำต้น (ลูกบาศก์เมตร)

D = ขนาดเส้นผ่าศูนย์กลางเพียงอก (เซนติเมตร) ไม่going ทางวัดที่ 20 เซนติเมตรเหนือคอราก

H = ความสูง (เมตร)

a, b = ค่าสมประสิทธิ์ของสมการ โดยกำหนดค่า

ไม่going (Rhizophora sp.)

$$a = 0.9065$$

$$\log b = -3.9412$$

ไม่อ่อน ๆ

$$a = 0.9480$$

$$\log b = -4.0515$$

2.4 การศึกษาคุณภาพดิน

เก็บตัวอย่างครั้งเดียวในเดือน มิถุนายน 2540 เนื่องจากเป็นช่วงที่น้ำบนพื้นป่าแห้ง โดยเก็บตามแนวทั้ง 5 แนว ด้วยกระบวนการเจาะ แนวละ 3 หลุม แต่ละหลุมแบ่งดินตามระดับความลึก เป็น 7 ระดับ คือ จากระดับผิวดินที่ 0-15 เซนติเมตร 15-30 เซนติเมตร 30-45 เซนติเมตร 45-60 เซนติเมตร 60-75 เซนติเมตร 75-90 เซนติเมตร และ 90-105 เซนติเมตร แล้วนำดินที่ระดับความลึกเดียวกันทั้ง 3 หลุม คลุกเคล้าให้เข้ากันเก็บใส่ถุงพลาสติกเพื่อนำไปวิเคราะห์สมบัติต่อไปนี้

2.4.1 อุณหภูมิ : วัดค่าอุณหภูมิที่จุดเก็บตัวอย่างด้วยเทอร์โมมิเตอร์ (Taylor and Jackson, 1986 : 927-940)

2.4.2 ค่าความชื้น : วัดความชื้นโดยวิธีการซึ่ง (gravimetric method) โดยการซึ่งตัวอย่างดินชื้นสภาพสนาม (field soil) 100 กรัม แล้วนำไปอบที่อุณหภูมิ 105 องศาเซลเซียส เป็นเวลา 24 ชั่วโมง ทำให้เย็นในถุงดูดความชื้น แล้วซึ่งดินอีกครั้ง คำนวนหา % ความชื้นโดยใช้สูตรตาม Topp, (1993 : 541-557) ดังนี้

$$\% \text{ ความชื้น} = \frac{(\text{น้ำหนักดินชื้น} - \text{น้ำหนักดินอบแห้ง}) \times 100}{\text{น้ำหนักดินอบแห้ง}}$$

2.4.3 ค่า pH : วัดค่า 2 ครั้ง คือดินชื้นสภาพสนาม (field soil pH) และสภาพดินผึ่งแห้ง (air-dried soil pH) ใช้ดินทั้งในสภาพดินชื้นและดินผึ่งแห้งมาเติมน้ำ อัตราส่วนดินต่อน้ำ 1 : 5 โดยซึ่งดิน 10 กรัม ใส่ในบีกเกอร์ขนาด 50 มิลลิลิตร เติมน้ำกลั่นลงไป 50 มิลลิลิตร คนเป็นระยะ ๆ เป็นเวลา 30 นาที แล้วนำไปวัดด้วยเครื่อง pH meter (McLean, 1982 : 199-224)

2.4.4 ค่าศักย์ไฟฟ้า (Redox potential) : วัดค่าที่จุดเก็บตัวอย่างโดยใช้ ORP meter จุ่มในดินตัวอย่างให้ลึกประมาณ 5-10 เซนติเมตร (English, et al., 1994 : 128)

2.4.5 ค่าการนำไฟฟ้า (Electrical conductivity, EC) : วัดค่าการนำไฟฟ้าในสภาพดินผึ่งแห้ง ใช้อัตราส่วนดินต่อน้ำ เท่ากับ 1 : 5 โดยซึ่งดิน 10 กรัม ใส่ในบีกเกอร์ขนาด 50 มิลลิลิตร เติมน้ำกลั่นลงไป 50 มิลลิลิตร คนเป็นระยะ ๆ เป็นเวลา 30 นาที ที่อุณหภูมิห้อง จากนั้นนำไปวัดค่าการนำไฟฟ้าด้วยเครื่องวัดค่าการนำไฟฟ้าของสารละลายดิน (Rhoades, 1982 : 172-183)

2.4.6 เนื้อดิน (soil texture) : วิเคราะห์ขนาดอนุภาค ด้วยวิธีไฮดรอมิเตอร์ (hydrometer) (Gee and Bauder, 1986 : 383-412) และจำแนกเนื้อดินโดยใช้ตารางสามเหลี่ยม (คณาจารย์ภาค

วิชาชีรนีศาสตร์, 2539 : 5/6)

2.4.7 อินทรีย์วัตถุ (Organic Matter) : วิเคราะห์หาอินทรีย์คาร์บอน (Organic Carbon) ด้วย 3 วิธี คือ Kosaka-Honda-Iseki method (Ministry of Agriculture and Forestry, 1987 : 127-135) วิธี Walkley and Black (1934 : 29-38) และวิธีการเผา (Karam, 1993 : 459-471)

2.4.8 ธาตุในตอรเจนทั้งหมดในดิน : ใช้วิธี Kjeldahl (Bremner and Mulvaney, 1982 : 595-624)

2.4.9 ธาตุฟอสฟอรัสทั้งหมดในดิน : ด้วยวิธีการย่อยด้วยกรด $\text{HNO}_3/\text{HClO}_4$ (1:1) และวิเคราะห์ความเข้มข้นของธาตุฟอสฟอรัสในสารละลายด้วยวิธี Vanadomolybdate (Olsen and Sommers, 1982 : 403-430)

2.4.10 ธาตุโพแทสเซียมในดิน : ด้วยวิธีการสกัดด้วย 1.0 M NH_4OAc pH 7.0 และวิเคราะห์ความเข้มข้นของธาตุโพแทสเซียมในสารละลายด้วยเครื่อง flame photometer (Knudsen, et al., 1982 : 225-246)

2.4.11 ธาตุแคลเซียมและแมกนีเซียมในดิน : ด้วยวิธีการสกัดด้วย 1.0 M NH_4OAc pH 7.0 และวิเคราะห์ความเข้มข้นของธาตุแคลเซียมและแมกนีเซียมในสารละลายด้วยเครื่อง atomic absorption spectrophotometer (Lanyon and Heald, 1982 : 246-262)

3.4.12 ธาตุกำมะถันในดิน : ด้วยวิธีการย่อยด้วยกรด $\text{HNO}_3/\text{HClO}_4$ (1:1) และวิเคราะห์ความเข้มข้นของธาตุกำมะถันในสารละลายด้วยวิธี turbidimetry (Tabatabai, 1982 : 501-538)

2.5 การศึกษาคุณภาพน้ำ

เก็บตัวอย่างและบันทึกข้อมูลในวันและเวลาที่น้ำขึ้นสูงสุดของเดือน เนพะช่วงกลางวัน ตามวันและเวลาในมาตรฐานของกรมอุทศาสตร์กองทัพเรือ พ.ศ. 2539 และ พ.ศ. 2540 กำหนด จุดเก็บตัวอย่างน้ำ 3 จุด เป็นบริเวณเดียวกันกับที่วางถุงใส่ใบฝ่าดสำหรับศึกษาการผุ粟าย (จุด D1, D2 และ D3) โดยวัดค่าความเค็มด้วยเครื่องวัดการหักเหของแสง (Atago-S 28) วัดค่า pH ด้วย pH meter วัดอุณหภูมิตัวอย่าง เทอร์โมมิเตอร์ และวัดระดับการท่วมของน้ำเหนือพื้นดินด้วยไม้วัดระดับน้ำ

2.6 การศึกษาการร่วงหล่นของชาภีช

ผู้ตະแกรงสำหรับรองรับการร่วงหล่นของชาภีช ติดกับกิงไม้ในระดับที่น้ำท่วมไม่ถึง ชุงประมาณ 1.7 เมตรเหนือพื้นดิน โดยวางแนวละ 3 ตะแกรง ยกเว้นแนว C วาง 4 ตะแกรง ตะแกรงแต่ละอันห่างกันประมาณ 10 เมตร เก็บตัวอย่างทุก 15 วัน ติดต่อกันเป็นระยะเวลา 1 ปี ตั้งแต่ 19 พฤศจิกายน 2539 ถึง 19 ตุลาคม 2540 นำตัวอย่างชาภีชไปแยกเป็นส่วนของ กิง ใบ ดอก และผล และนำไปอบที่อุณหภูมิ 104 องศาเซลเซียส เป็นเวลา 24 ชั่วโมง (Angsupanich and Aksornkoae, 1994c : 35-36) เพื่อให้มีน้ำหนักแห้งคงที่ และนำไปซึ่งและบันทึกน้ำหนักของแต่ละส่วน

2.7 การวิเคราะห์ธาตุอาหารในไฟล์ดอกขาว

เก็บใบแก่ (สีเหลือง) ของฝ่าดดอกขาวจากต้นประมาณ 100 กรัมนำหัวนักสด นำไปปอกที่ 70 องศาเซลเซียส จนน้ำหนักคงที่ แล้วบดด้วยเครื่องบด จากนั้นนำไปวิเคราะห์agaraต่อไปนี้

ชาตุคาร์บอน : วิเคราะห์หินทรีคาร์บอน (Organic Carbon) ด้วยวิธี Kosaka-Honda-Iseki method (Ministry of Agriculture Forestry, 1987 : 127-135)

ชาตุในเตอร์เจน : ใช้วิธี Kjeldahl (Bremner and Mulvaney, 1982 : 595-624)

ชาตุฟอสฟอรัส : ใช้วิธีย่อยด้วยกรด $\text{HNO}_3/\text{HClO}_4$ (1:1) แล้ววิเคราะห์ความเข้มข้นของชาตุฟอสฟอรัสในสารละลายด้วยวิธี Vanadomolybdate (Olsen and Sommers, 1982 : 403-430)

• ชาตุโพเทสเซียม : ใช้วิธีย่อยด้วยกรด $\text{HNO}_3/\text{HClO}_4$ (1:1) แล้ววิเคราะห์ความเข้มข้นของชาตุโพเทสเซียมในสารละลายด้วยเครื่อง flame photometer (Knudsen, et al., 1982 : 225-246)

ชาตุเคลล์เซียมและชาตุแมกนีเซียม : ใช้วิธีย่อยด้วยกรด $\text{HNO}_3/\text{HClO}_4$ (1:1) แล้ววิเคราะห์ความเข้มข้น ของชาตุเคลล์เซียมและชาตุแมกนีเซียมในสารละลายด้วยเครื่อง atomic absorption spectrophotometer (Lanyon and Heald, 1982 : 246-262)

ชาตุกำมะถัน : ใช้วิธีย่อยด้วยกรด $\text{HNO}_3/\text{HClO}_4$ (1:1) แล้ววิเคราะห์ความเข้มข้น ของชาตุกำมะถันในสารละลายด้วยวิธี turbidimetry (Tabatabai, 1982 : 501-538)

2.8 การศึกษาการผุสลายของชาตพืช

เก็บใบแก่ (สีเหลือง) ของฝ่าดดอกขาว ที่กำลังจะร่วงจากต้น ใส่ในถุงตาข่ายในล่อง ถุงละ 130 กรัมนำหัวนักสด จำนวนทั้งหมด 147 ถุง สูมออกไป 3 ถุง เพื่อซึ่งน้ำหนักแห้งเริ่มต้นของใบไม้ในถุง โดยนำไปไม้ในถุงไปปอกที่อุณหภูมิ 104 องศาเซลเซียส เป็นเวลา 24 ชั่วโมง (Angsupanich and Aksornkoae, 1994a : 42) afterward ใบไม้ 144 ถุง นำไปปางบนพื้นป่าในพื้นที่ศึกษา โดยผูกติด กับรากของต้นฝ่าดดอกขาว 3 บริเวณ คือ จุด D1 (บนพื้นป่าติดขอบพื้นที่ศึกษา) จุด D2 (บนพื้น กลางป่าที่ศึกษา) และจุด D3 (แข่น้ำในลำคลองติดขอบป่า) แต่ละบริเวณมีถุงใส่ใบไม้ 48 ถุง สูมเก็บถุงใบไม้บริเวณละ 4 ถุง ทุกเดือน นำกลับไปวิเคราะห์หัวน้ำหนักแห้งของใบไม้ที่เหลือในถุงเท่านั้น เดียวกับการหาน้ำหนักแห้งเริ่มต้น (ก่อนวิเคราะห์ต้องทำความสะอาดใบไม้ที่เหลือซึ่งอาจมีดินและ สัตว์หน้าดินปะปนอยู่โดยการล้างเบา ๆ ด้วยน้ำประปา) เพื่อนำไปคำนวณหาส่วนของใบไม้ที่ผุ ลายไปเมื่อเวลาผ่านไปแต่ละเดือน ใช้เวลาในการศึกษา 1 ปี

2.9 การเก็บข้อมูลการจัดการและการใช้ประโยชน์จากพื้นที่ศึกษา

เก็บข้อมูลโดยการสัมภาษณ์นายกริม แก้วณรงค์ ผู้ครอบครองและดูแลพื้นที่ป่าไม้ฝ่าด ที่ใช้เป็นพื้นที่ศึกษา และสอบถามชาวบ้านคนอื่น ๆ ในบริเวณใกล้ ๆ ถึงวิธีการจัดการดูแล การได้รับประโยชน์และผลตอบแทนทางเศรษฐกิจสังคมจากพื้นที่ป่าไม้ฝ่าดดอกขาว

บทที่ 3

ผลการศึกษา

ตอนที่ 1

1. โครงสร้างของป่า

1.1 ชนิดและจำนวนพันธุ์ไม้

แปลงตัวอย่างขนาด 10×10 ตารางเมตร จำนวน 16 แปลง พบไม้ใหญ่ (tree) 2 ชนิด คือ ฝ่าดอกขาว (*L. racemosa* Willd.) และพังก้าหัวสูมดอกขาว (*B. sexangula* Lour.) จำนวน 864 ต้น และ 17 ต้น ตามลำดับ โดยพบฝ่าดอกขาวในทุกแนวและทุกแปลงตัวอย่าง ในแนวC พบจำนวนมากที่สุด และแนวB พบจำนวนน้อยที่สุด ส่วนพังก้าหัวสูมดอกขาว พบเฉพาะแนวB แนวC และแนวD (ตาราง 4)

ลูกไม้ (sapling) ในแปลงตัวอย่างพบทั้งหมด 4 ชนิด ได้แก่ ฝ่าดอกขาว (*L. racemosa* Willd.) พังก้าหัวสูมดอกขาว (*B. sexangula* Lour.) ตาตุ่ม (*Excoecaria agallocha* L.) และโพธิ์ทะเล (*Thespesia populnea* L.) โดยพบลูกไม้ฝ่าดอกขาวจำนวนมากที่สุดในแนวB พบร่องลงไปในแนวE ส่วนแนวD พบจำนวนน้อยที่สุด ลูกไม้พังก้าหัวสูมดอกขาวพบเฉพาะในแนวB และแนวD ลูกไม้ตาตุ่มและโพธิ์ทะเลพบเฉพาะในแนวC (ตาราง 4)

กล้าไม้ (seedling) ในแปลงตัวอย่าง พบทั้งหมด 6 ชนิด ได้แก่ ฝ่าดอกขาว (*L. racemosa* Willd.), พังก้าหัวสูมดอกขาว (*B. sexangula* Lour. ตาตุ่ม (*E. agallocha* L.) โพธิ์ทะเล (*T. populnea* L.) ถั่วขาว (*B. cylindrica* L.) และโงกเงากใบเล็ก (*R. apiculata* Bl.) โดยที่กล้าไม้ฝ่าดอกขาวพบทุกแปลงตัวอย่างและพบมากที่สุดในแนวD พบร่องลงไปในแนวB และ C ตามลำดับ กล้าไม้พังก้าหัวสูมดอกขาวพบทุกแนวยกเว้นแนวA โดยเฉพาะแนวC พบจำนวนกล้าไม้พังก้าหัวสูมดอกขาวมากที่สุด กล้าไม้โงกเงากใบเล็กพบมากที่สุดในแนวA กล้าไม้ตาตุ่มพบในแนวC, D และ E กล้าไม้ถั่วขาว พบเฉพาะแนวB (ตาราง 4)

ไม้พื้นล่างในแปลงตัวอย่างพบ 6 ชนิดได้แก่ จาก (*Nypa fruticans* Thunb.) hairy lings (*Flagellaria indica* L.) ปรงหนู (*Acrostichum speciosum* Willd.) เถาถอนแอบ (*Derris trifoliata* Lour.) เหงือกปลาหมาดอกขาว (*Acanthus ebracteatus* Vahl.) เถาคัน (*Cayratia trifolia*) และยังพบกาฝาก (*Dendrophthoe pentandra*) เถาอยู่บนกิงไม้ฝ่าดอกขาวเป็นจำนวนมาก นอกจากนี้

ยังสังเกตพบว่ามีพรวนไม้อื่นๆ ที่มีจำนวนน้อยมากและไม่พบรูปในแปลงตัวอย่างแต่พบในพื้นที่ศึกษาได้แก่ ลำพู (*S. caseolaris* L.) แสมขาว (*A. alba* Bl.) ปอทะเล (*Hibiscus tiliaceus* L.) สมอทะเล (*Sapium indicum* Willd.) สำมะงา (*Clerodendrum inerme* L.) และถาวรสลับเบรียง (*Derris scandens* Roxb.)

1.2 ความหนาแน่นของพันธุ์ไม้

ไม้ใหญ่มีความหนาแน่นเฉลี่ย $5,388 \pm 5,281.7 \pm 203.0$ ต้น/ไร่ โดยไม้ฝาดดอกขาวมีความหนาแน่นสูงสุด ($5,388 \pm 5,281.7 \pm 203.0$ ต้น/ไร่) รองลงไปเป็นไม้พังก้าหัวสูมดอกขาว (106.7 ± 150.0 ต้น/ไร่) ความหนาแน่นของไม้ฝาดดอกขาวสูงสุดในแนวC (71.8 ± 21.1 ต้น/100 ตารางเมตร) และไม้ฝาดดอกขาวในแนวB มีความหนาแน่นต่ำสุด (22.0 ± 3.0 ต้น/100 ตารางเมตร) ส่วนไม้พังก้าหัวสูมดอกขาวมีความหนาแน่นสูงสุดในแนวB (3.7 ± 4.0 ต้น/100 ตารางเมตร) (ตาราง 4)

ลูกไม้มีความหนาแน่น $4,370 \pm 4,220$ ต้น/ไร่ โดยที่ลูกไม้ฝาดดอกขาวมีความหนาแน่นมากที่สุด ($4,370 \pm 4,220$ ต้น/ไร่) รองลงไปเป็นลูกไม้ต้าตุ่ม พังก้าหัวสูมดอกขาว และโพธิ์ทะเล โดยมีความหนาแน่น $80, 50$ และ 20 ต้น/ไร่ ตามลำดับ โดยลูกไม้ฝาดดอกขาวในแนวB มีความหนาแน่นสูงสุด (92.0 ± 9.3 ต้น/100 ตารางเมตร) และลูกไม้ฝาดดอกขาวในแนวD มีความหนาแน่นต่ำสุด (13.3 ± 12.9 ต้น/100 ตารางเมตร) (ตาราง 4)

กล้าไม้มีความหนาแน่น $16,860 \pm 15,744$ ต้น/ไร่ โดยกล้าไม้ฝาดดอกขาว มีความหนาแน่นมากที่สุด ($16,860 \pm 15,744$ ต้น/ไร่) รองลงไปเป็นกล้าไม้ของพังก้าหัวสูมดอกขาว โงกเงากะเบ็ก ต้าตุ่ม ถั่วขาว และโพธิ์ทะเล มีความหนาแน่น $630, 390, 75, 13$ และ 14 ต้น/ไร่ ตามลำดับ นอกจากนี้ ต้นไม้ในปืนที่ศึกษามีค่าเฉลี่ยระยะห่างระหว่างต้นในปีประมาณ 78 เซนติเมตร

1.3 ขนาดเส้นผ่าศูนย์กลางเฉลี่ย และความสูงเฉลี่ย

ต้นไม้ในปืนที่ศึกษามีขนาดเส้นผ่าศูนย์กลางเฉลี่ย 6.6 ± 1.9 เซนติเมตร โดยต้นไม้ในแนวD มีเส้นผ่าศูนย์กลางเฉลี่ยสูงสุด (7.5 ± 2.1 เซนติเมตร) ส่วนต้นไม้ในแนวE มีขนาดเส้นผ่าศูนย์กลางเฉลี่ยต่ำสุด 5.4 ± 1.0 เซนติเมตร (ตาราง 5)

ต้นไม้ที่มีความสูงเฉลี่ย 7.2 ± 1.5 เมตร โดยที่ต้นไม้ในแนวD มีความสูงเฉลี่ยสูงสุด (8.3 ± 1.6 เมตร) และต้นไม้ในแนวB มีความสูงเฉลี่ยต่ำสุด (6.4 ± 1.2 เมตร) (ตาราง 5)

1.4 ปริมาตรไม้

ปริมาตรไม้เฉลี่ยรวมทั้งพื้นที่ 127.57 ± 67.99 ลูกบาศก์เมตร/ไร่ โดยแนวC มีปริมาตรไม้เฉลี่ยสูงสุด (200.97 ± 109.06 ลูกบาศก์เมตร/ไร่) ส่วนแนวB มีปริมาตรไม้เฉลี่ยต่ำสุด (53.61 ± 19.45 ลูกบาศก์เมตร/ไร่) (ตาราง 5)

ตาราง 4 ความหนาแน่น (จำนวนตั้น/100 ตารางเมตร) และพันธุ์ไม้ในพื้นที่ศึกษา
(ค่าเฉลี่ย \pm SD)

ชนิด		แนว A	แนว B	แนว C	แนว D	แนว E	เฉลี่ย
ฝ่าดดอกขาว	ไม้ใหญ่	43.3 \pm 12.7	22.0 \pm 3.0	71.8 \pm 21.1	60.0 \pm 15.9	67.3 \pm 23.5	52.8 \pm 20.3
	ลูกไม้	29.3 \pm 8.3	92.0 \pm 9.3	23.0 \pm 11.0	13.3 \pm 12.9	53.3 \pm 42.0	42.2 \pm 47.6
	กล้าไม้	12.3 \pm 8.1	135.0 \pm 56.5	110.8 \pm 45.6	466.7 \pm 208.2	62.0 \pm 33.7	157.4 \pm 180.6
พังก้าหัวสูมดอกขาว	ไม้ใหญ่	0	3.7 \pm 4.0	1.0 \pm 1.4	0.3 \pm 0.6	0	1.1 \pm 1.5
	ลูกไม้	0	1.3 \pm 2.3	0	1.3 \pm 2.3	0	0.5 \pm 1.4
	กล้าไม้	0	9.0 \pm 8.2	11.0 \pm 5.9	8.7 \pm 6.7	2.7 \pm 2.5	6.3 \pm 6.4
โงกเง้งในเล็ก	ไม้ใหญ่	0	0	0	0	0	0
	ลูกไม้	0	0	0	0	0	0
	กล้าไม้	12.3 \pm 17.0	6.0 \pm 3.6	1.0 \pm 0.8	0	0.3 \pm 0.6	3.9 \pm 8.0
ตาดุ่ม	ไม้ใหญ่	0	0	0	0	0	0
	ลูกไม้	0	0	4.0 \pm 8.0	0	0	0.8 \pm 4.0
	กล้าไม้	0	0	1.5 \pm 1.9	1.0 \pm 1.0	1.0 \pm 1.0	0.8 \pm 1.2
ตัวขาว	ไม้ใหญ่	0	0	0	0	0	0
	ลูกไม้	0	0	0	0	0	0
	กล้าไม้	0	0.7 \pm 1.2	0	0	0	0.1 \pm 0.5
โพธิ์ทะเลข	ไม้ใหญ่	0	0	0	0	0	0
	ลูกไม้	0	0	1.0 \pm 2.0	0	0	0.2 \pm 1.0
	กล้าไม้	0	0	0.3 \pm 0.5	0	0	0.1 \pm 0.3
จาก	ไม้พื้นล่าง	0	0	3.5 \pm 7.0	0	0	0.7 \pm 3.5
หวายดึง	ไม้พื้นล่าง	0	0	5.0 \pm 6.3	13.0 \pm 20.8	4.0 \pm 5.3	4.4 \pm 9.6
ปรงหนู	ไม้พื้นล่าง	23.7 \pm 27.2	14.0 \pm 8.2	12.0 \pm 9.4	1.7 \pm 1.5	2.7 \pm 4.6	10.8 \pm 13.9
เกาดอบแกบ	ไม้พื้นล่าง	16.0 \pm 20.4	15.7 \pm 5.1	9.8 \pm 7.2	12.0 \pm 12.2	20.0 \pm 7.2	14.7 \pm 10.5
เหงือกปลาหมุดดอกขาว	ไม้พื้นล่าง	5.7 \pm 9.8	32.3 \pm 28.0	8.8 \pm 8.3	23.7 \pm 5.1	13.0 \pm 10.8	16.7 \pm 15.9
ಡາดัน	ไม้พื้นล่าง	7.3 \pm 22.1	11.3 \pm 9.50	9.5 \pm 7.4	19.7 \pm 4.9	37.4 \pm 12.7	17.0 \pm 15.1

ตาราง 5 ขนาดเส้นผ่าศูนย์กลาง ความสูง และปริมาตรร้ามี ของต้นไม้ในพื้นที่ศึกษา
(ค่าเฉลี่ย \pm SD)

แผน	ลำดับ	เส้นผ่าศูนย์กลาง	ความสูง	ปริมาตรร้ามี
		(เซนติเมตร)	(เมตร)	(ลูกบาศก์เมตร / เฮกตาร์)
A	1	6.1 ± 1.8	6.1 ± 0.4	67.60
	2	6.9 ± 2.1	6.6 ± 0.7	74.08
	3	6.4 ± 1.5	7.0 ± 0.8	117.58
	เฉลี่ย	6.4 ± 1.8	6.4 ± 0.5	86.42 ± 27.18
B	1	8.0 ± 1.6	7.0 ± 0.9	76.04
	2	6.7 ± 2.2	5.7 ± 1.1	43.40
	3	5.9 ± 1.3	5.8 ± 1.5	41.39
	เฉลี่ย	6.8 ± 1.9	6.4 ± 1.2	53.61 ± 19.45
C	1	5.9 ± 1.5	7.2 ± 0.6	90.73
	2	6.3 ± 1.7	7.0 ± 0.7	129.86
	3	7.3 ± 1.5	9.4 ± 1.5	259.76
	4	7.9 ± 2.2	7.3 ± 1.9	323.51
เฉลี่ย		7.0 ± 2.0	7.8 ± 1.7	200.97 ± 109.06
D	1	7.9 ± 1.8	8.9 ± 1.1	292.32
	2	7.4 ± 1.8	8.7 ± 1.4	179.03
	3	7.0 ± 2.6	6.8 ± 1.5	125.00
	เฉลี่ย	7.5 ± 2.1	8.3 ± 1.6	198.78 ± 85.39
E	1	5.8 ± 1.2	6.4 ± 0.9	61.90
	2	5.2 ± 0.9	7.2 ± 0.8	113.96
	3	5.4 ± 1.0	7.7 ± 0.9	118.38
	เฉลี่ย	5.4 ± 1.0	7.2 ± 1.0	98.08 ± 31.41
เฉลี่ยทั้งหมด		6.6 ± 1.9	7.2 ± 1.5	127.57 ± 67.99

1.5 การกระจายของต้นไม้ตามชั้นขนาดเส้นผ่าศูนย์กลาง

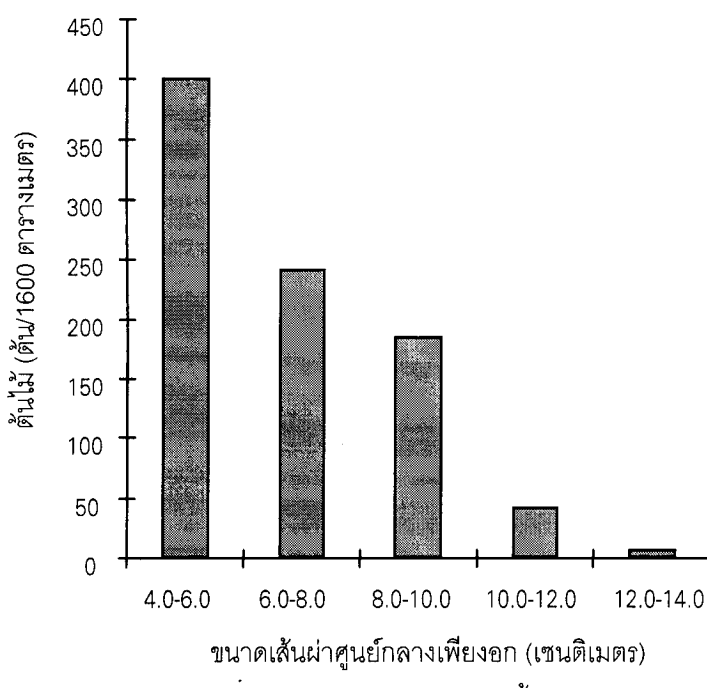
การกระจายของต้นไม้ตามขนาดเส้นผ่าศูนย์กลาง (DBH classes) มีลักษณะลดลงเรื่อยๆ (ภาพประกอบ 6) โดยต้นไม้ในแปลงตัวอย่างที่มีขนาดเส้นผ่าศูนย์กลาง 4-6 เซนติเมตร มีจำนวน 402 ต้น ขนาดเส้นผ่าศูนย์กลาง 6-8 เซนติเมตร มีจำนวน 243 ต้น ขนาดเส้นผ่าศูนย์กลาง 8-10 เซนติเมตร มีจำนวน 185 ต้น ขนาดเส้นผ่าศูนย์กลาง 10-12 เซนติเมตร มีจำนวน 43 ต้น และขนาดเส้นผ่าศูนย์กลาง 12-13 เซนติเมตร มีจำนวน 8 ต้น

1.6 การกระจายของต้นไม้ตามชั้นความสูง

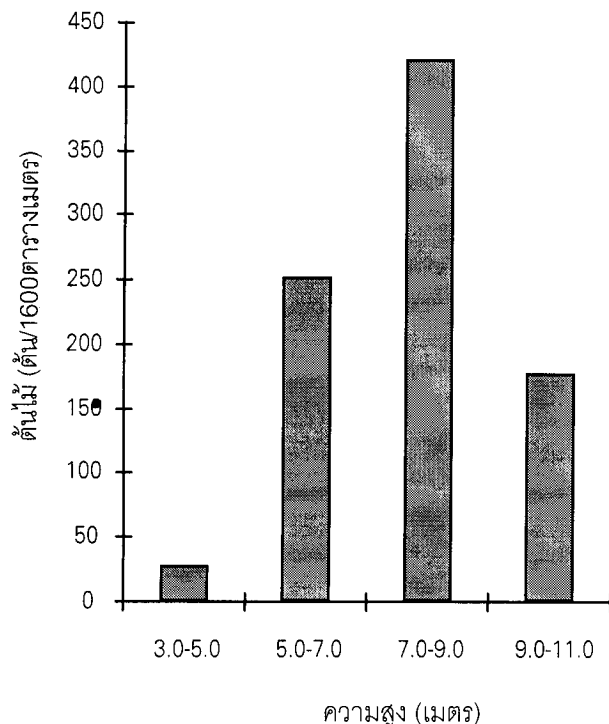
ต้นไม้ที่มีความสูงอยู่ในช่วง 7.0-9.0 เมตร มีจำนวน 421 ต้น ความสูงอยู่ในช่วง 5.0-7.0 เมตร มีจำนวน 253 ต้น ความสูงอยู่ในช่วง 9.0-11.0 เมตร มีจำนวน 178 ต้น ความสูงอยู่ในช่วง 3.0-5.0 เมตร มีจำนวน 29 ต้น (ภาพประกอบ 7)

1.7 โครงสร้าง และการแบ่งชั้นความสูงของพืชตามแนวตั้ง

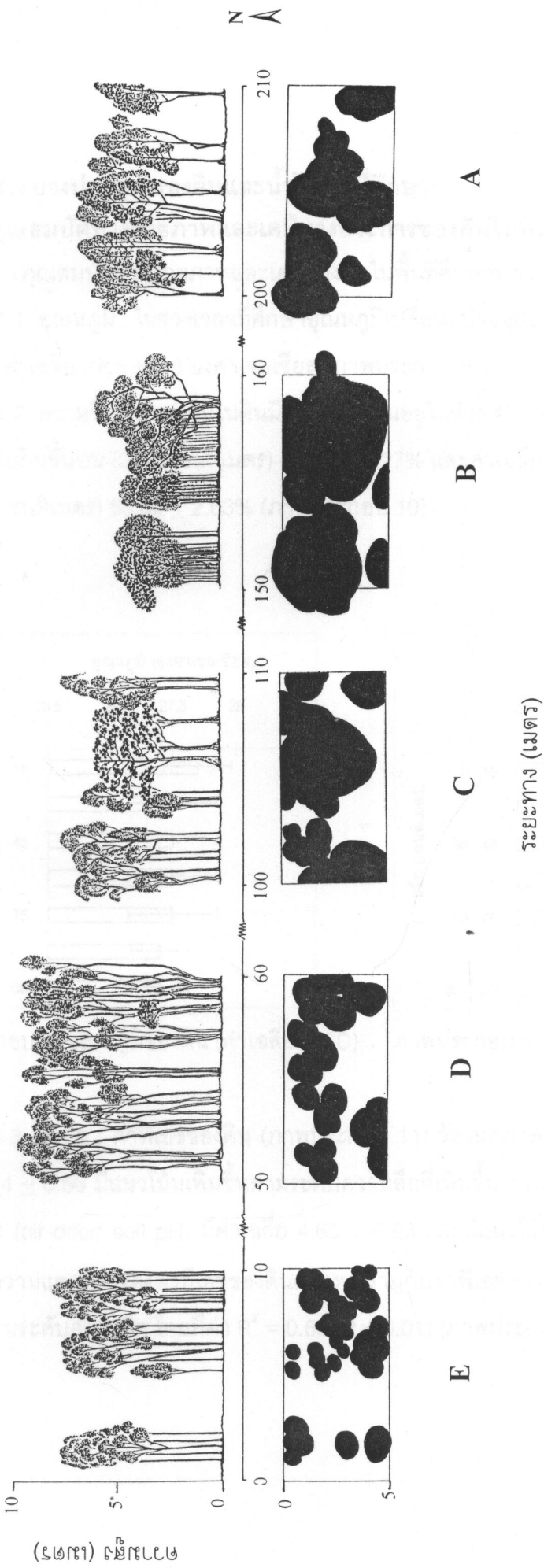
การศึกษาการแบ่งชั้นความสูงของพืชตามแนวตั้ง (profile diagram) แสดงถึงลักษณะโครงสร้างของป่าไม้ผัดดอกขาวในด้านความสูงของพืช ลักษณะทรงพุ่มและการปักคลุมพื้นที่ทั้งในแนวตั้งและแนวราบ (ภาพประกอบ 8) ทำให้ทราบถึงความสูงของต้นไม้แต่ละชนิด รูปร่างของเรือนยอด พื้นที่ของเรือนยอด รวมทั้งตำแหน่งของต้นไม้แต่ละต้น และพบว่าต้นไม้ใหญ่ในพื้นที่ศึกษาไม่มีการแบ่งระดับชั้นความสูงที่ชัดเจนและเรือนยอดซิดกันแน่น



ภาพประกอบ 6 การกระจายของต้นไม้ตามชั้นขนาดเส้นผ่าศูนย์กลางเพียงอก



ภาพประกอบ 7 การกระจายของต้นไม้ตามชั้นขนาดความสูง



ภาพประกอบ 8 การจัดเรื่องยอดตามแนวตั้ง (profile diagram) และการครอบคลุมเรือนยอด (crown cover) ของป่าไม้ในพื้นที่ศึกษา

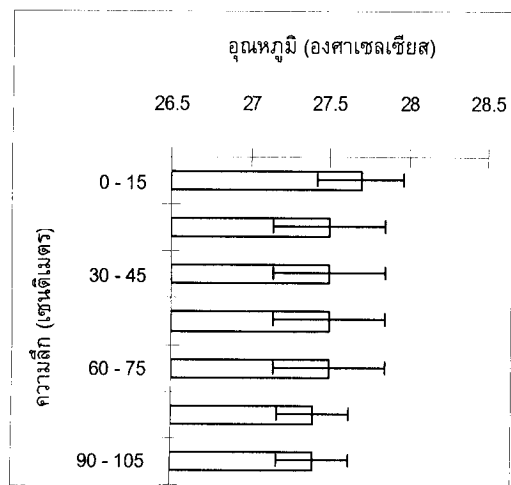
2. ลักษณะบางประการของดินและน้ำในพื้นที่ศึกษา

2.1 คุณสมบัติทางกายภาพและเคมีบางประการของดินในพื้นที่ศึกษา

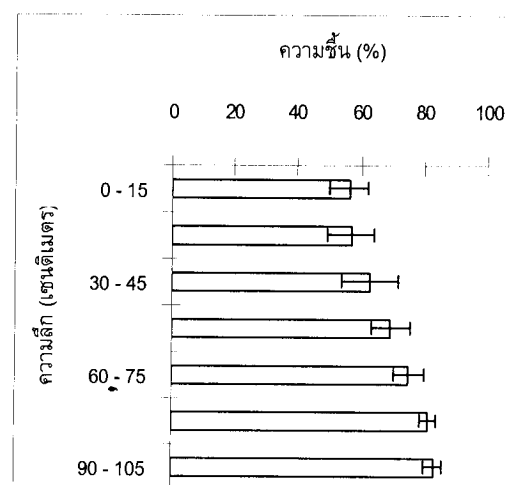
คุณสมบัติทางกายภาพและเคมีของดินในพื้นที่ศึกษาพบว่า

2.1.1 อุณหภูมิ : ในช่วงเวลาที่ศึกษาอุณหภูมิเปลี่ยนแปลงอยู่ในช่วง 27.0-28.0 องศาเซลเซียส ค่าเฉลี่ย 27.5 ± 0.3 องศาเซลเซียส (ภายปีกอบ 9)

2.1.2 ความชื้น : ความชื้นในดินมีความแปรผันอยู่ในช่วง 47.51-86.97% ค่าเฉลี่ยของความชื้นในดินชั้นบน (0-15 เซนติเมตร) $56.22 \pm 6.27\%$ และค่าเฉลี่ยของความชื้นในดินชั้นล่าง (90-150 เซนติเมตร) $83.02 \pm 2.63\%$ (ภายปีกอบ 10)



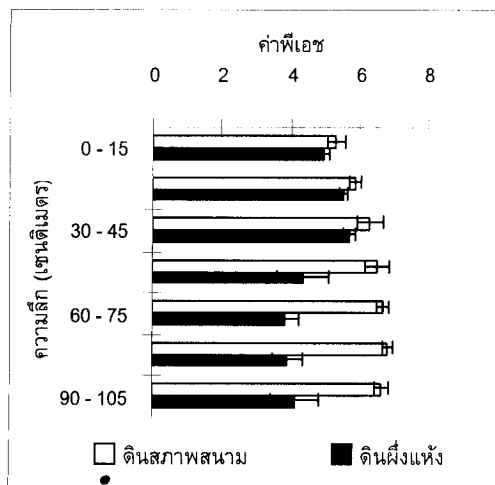
ภายปีกอบ 9 อุณหภูมิของดิน (ค่าเฉลี่ย \pm SD)



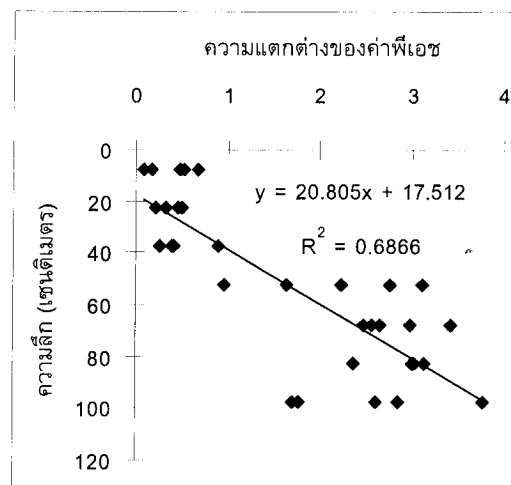
ภายปีกอบ 10 ความชื้นของดิน

(ค่าเฉลี่ย \pm SD)

2.1.3 พีเอช : ค่าพีเอชของดิน (ภายปีกอบ 11) วัดในสภาพสนาม (field soil pH) มีค่าเฉลี่ย 6.34 ± 0.56 มีแนวโน้มเพิ่มขึ้นตามระดับความลึกที่เพิ่มขึ้น ส่วนค่าพีเอชของดินวัดในสภาพดินผึ่งแห้ง (air-dried soil pH) มีค่าเฉลี่ย 4.65 ± 0.83 และมีแนวโน้มลดลงตามระดับความลึกที่เพิ่มขึ้น ความแตกต่างของค่าพีเอชของดินสภาพสนามกับค่าพีเอชของดินผึ่งแห้ง (ΔpH) มีแนวโน้มเพิ่มขึ้นตามระดับความลึก โดยมีค่า $R^2 = 0.69$ ($P < 0.01$) (ภายปีกอบ 12)



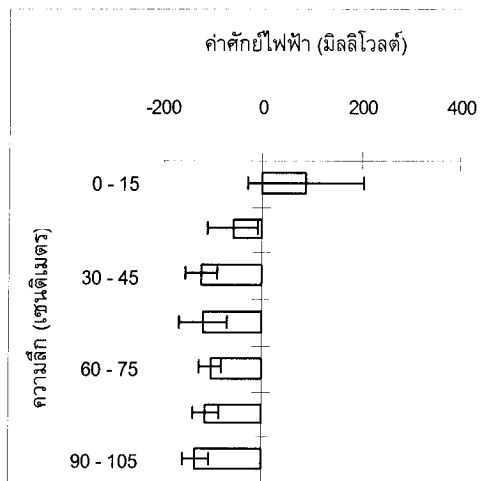
ภาพประกอบ 11 ค่าพีอีขอในดิน
(ค่าเฉลี่ย \pm SD)



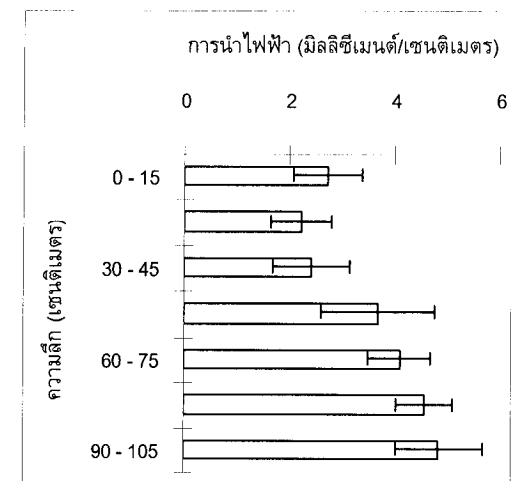
ภาพประกอบ 12 ความสัมพันธ์ระหว่างความ
แตกต่างของค่าพีอีขอในดิน
และความลึก

2.1.4 ค่าศักย์ไฟฟ้า (Eh) : ค่าศักย์ไฟฟ้าในดินสภาพสนามมีความแปรผันอยู่ในช่วง (-192.23) - (+225.49) มิลลิโวลต์ โดยค่าศักย์ไฟฟ้าเฉลี่ยในดินชั้นบน (0-15 เซนติเมตร) $+88.20 \pm 116.90$ มิลลิโวลต์ และค่าเฉลี่ยศักย์ไฟฟ้าในดินชั้นล่าง (90-150 เซนติเมตร) $(-133.93) \pm 26.41$ มิลลิโวลต์ ค่าศักย์ไฟฟ้ามีแนวโน้มลดลงตามระดับความลึกที่เพิ่มขึ้น (ภาพประกอบ 13)

2.1.5 การนำไฟฟ้า (EC) : ค่าความเค็มของดินซึ่งวัดในรูปค่าการนำไฟฟ้าของดินในสภาพดินผึ่งแห้งมีค่าเฉลี่ยในดินชั้นบน (0-15 เซนติเมตร) 2.72 ± 0.65 มิลลิซีเมนต์/เซนติเมตร และค่าเฉลี่ยในดินชั้นล่าง (90-150 เซนติเมตร) 4.86 ± 0.82 มิลลิซีเมนต์/เซนติเมตร ค่าการนำไฟฟ้ามีแนวโน้มเพิ่มขึ้นตามระดับความลึกที่เพิ่มขึ้น (ภาพประกอบ 14)



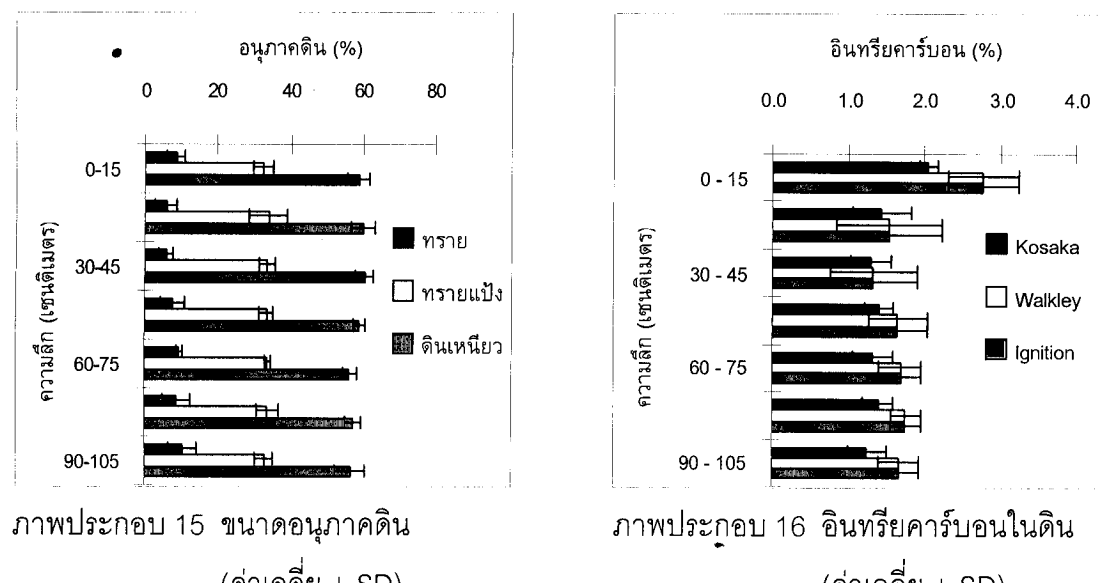
ภาพประกอบ 13 ค่าศักย์ไฟฟ้าในดิน
(ค่าเฉลี่ย \pm SD)



ภาพประกอบ 14 ค่าการนำไฟฟ้าของดิน
(ค่าเฉลี่ย \pm SD)

2.1.6 เนื้อดิน : เนื้อดินทุกตัวอย่างเป็นดินเหนียว (clay) มีค่าเฉลี่ยของอนุภาคขนาดทราย อนุภาคขนาดทราย เป็น และอนุภาคขนาดดินเหนียว 8.12 ± 3.19 33.43 ± 2.65 และ 58.45 ± 2.88 % ตามลำดับ (ภาพประกอบ 15)

2.1.7 อินทรีย์คาร์บอน : อินทรีย์คาร์บอนที่ได้จากการวิเคราะห์ด้วยวิธี Kosaka-Honda-Iseki มีค่าอยู่ในช่วง $0.84\text{--}2.20$ % ค่าเฉลี่ย 1.46 ± 0.34 % ส่วนการวิเคราะห์ด้วยวิธี Walkley and Black มีค่าอยู่ในช่วง $0.94\text{--}3.34$ % ค่าเฉลี่ย 1.78 ± 0.59 % และจากการเฝามีค่าอยู่ในช่วง $3.40\text{--}6.51$ % เฉลี่ย 4.36 ± 0.77 % (ภาพประกอบ 16)

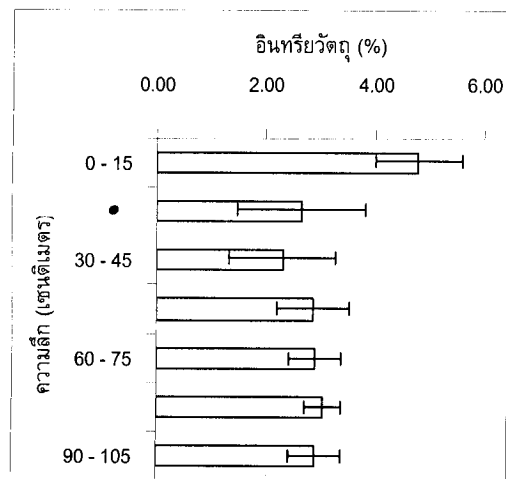


2.1.8 อินทรีย์วัตถุ : อินทรีย์วัตถุในดินที่คำนวณจากการวิเคราะห์อินทรีย์คาร์บอนด้วยวิธี Walkley and Black มีค่าผันแปรอยู่ในช่วง $1.61\text{--}5.75$ % โดยค่าเฉลี่ยปริมาณอินทรีย์วัตถุในดินชั้นบน (0-15 เซนติเมตร) 4.80 ± 0.80 % ส่วนปริมาณอินทรีย์วัตถุเฉลี่ยในดินชั้นล่าง (90-150 เซนติเมตร) 2.89 ± 0.48 % (ภาพประกอบ 17) ปริมาณอินทรีย์วัตถุในดินมีแนวโน้มลดลงตามระดับความลึกที่เพิ่มขึ้น

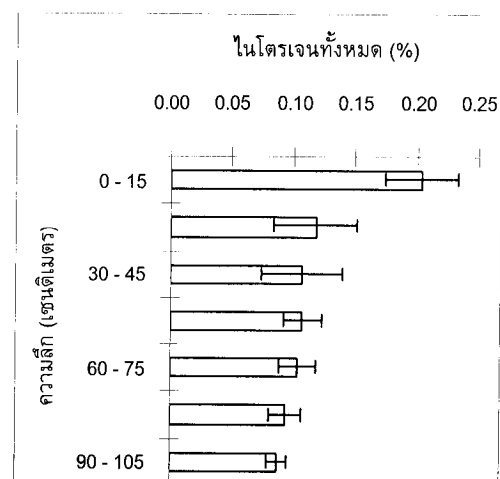
2.1.9 ในโครงเจนทั้งหมด : ในโครงเจนทั้งหมดเฉลี่ยในดินชั้นบน (0-15 เซนติเมตร) 0.20 ± 0.03 และในโครงเจนทั้งหมดเฉลี่ยในดินชั้นล่าง (90-150 เซนติเมตร) 0.09 ± 0.01 % (ภาพประกอบ 18) ในโครงเจนทั้งหมดในดินมีแนวโน้มลดลงตามระดับความลึกที่เพิ่มขึ้น ($R^2 = 0.46$, $P < 0.01$) (ภาพประกอบ 19)

2.1.10 ค่าสัดส่วนของคาร์บอนต่อไนโตรเจน (C:N ratio) ในดินมีความแปรผันอยู่ในช่วง $10.64\text{--}23.85$ มีแนวโน้มเพิ่มขึ้นตามระดับความลึกที่เพิ่มขึ้น ($R^2 = 0.47$, $P < 0.01$) (ภาพประกอบ 20)

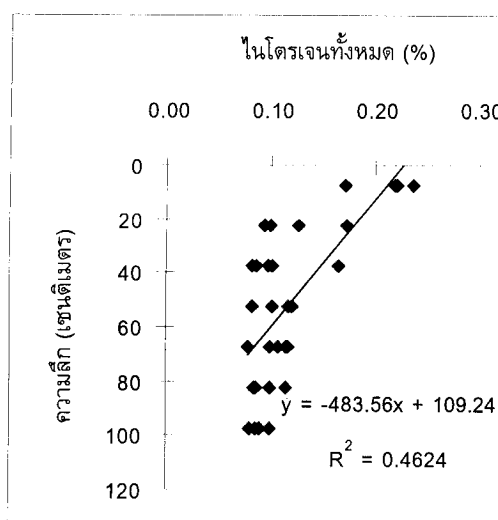
2.1.11 พอสฟอรัสทั้งหมด : พอสฟอรัสทั้งหมดเฉลี่ยในดินชั้นบน (0-15 เซนติเมตร) $0.029 \pm 0.002\%$ และพอสฟอรัสทั้งหมดเฉลี่ยในดินชั้นล่าง (90-150 เซนติเมตร) $0.014 \pm 0.002\%$ (ภาพประกอบ 21) พอสฟอรัสทั้งหมดในดินมีแนวโน้มลดลงตามระดับความลึกที่เพิ่มขึ้น ($R^2 = 0.59$, $P < 0.01$) (ภาพประกอบ 22)



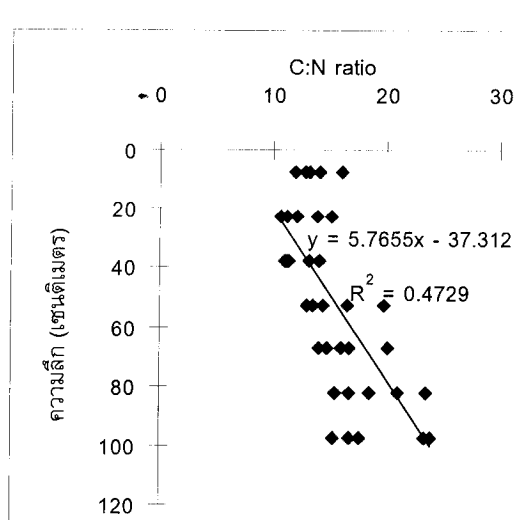
ภาพประกอบ 17 อินทรีย์วัตถุในดิน
(ค่าเฉลี่ย \pm SD)



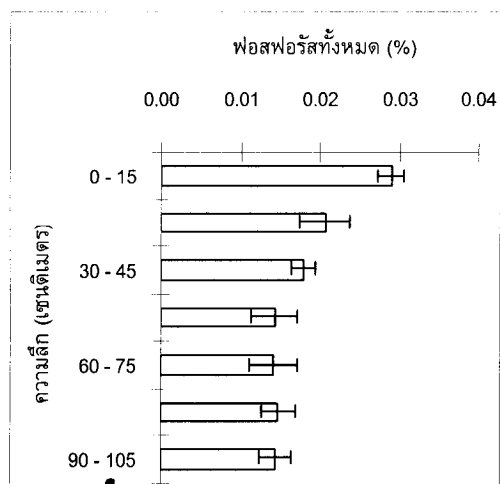
ภาพประกอบ 18 ในโครงเอนทั้งหมดในดิน
(ค่าเฉลี่ย \pm SD)



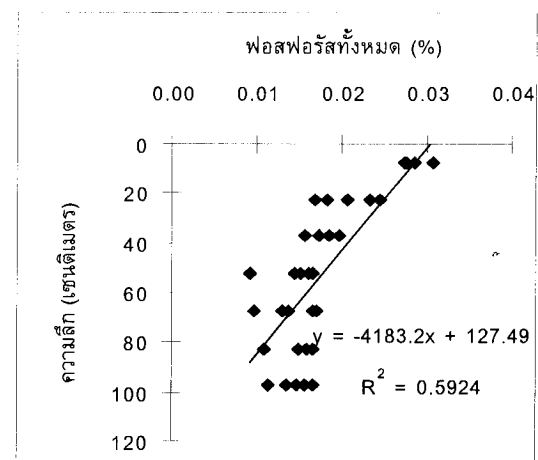
ภาพประกอบ 19 ความสัมพันธ์ระหว่างในโครงเอน
ทั้งหมดในดินและความลึก



ภาพประกอบ 20 ความสัมพันธ์ระหว่าง
สัดส่วนคาร์บอนต่อ
ในโครงเอนทั้งหมดในดิน
และความลึก



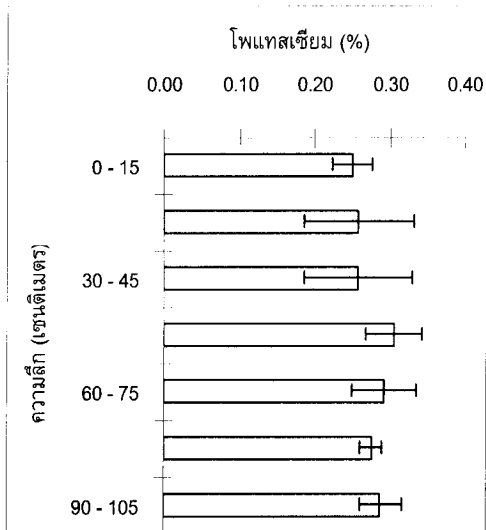
ภาพประกอบ 21 พอสฟอรัสทั้งหมดในดิน
(ค่าเฉลี่ย \pm SD)



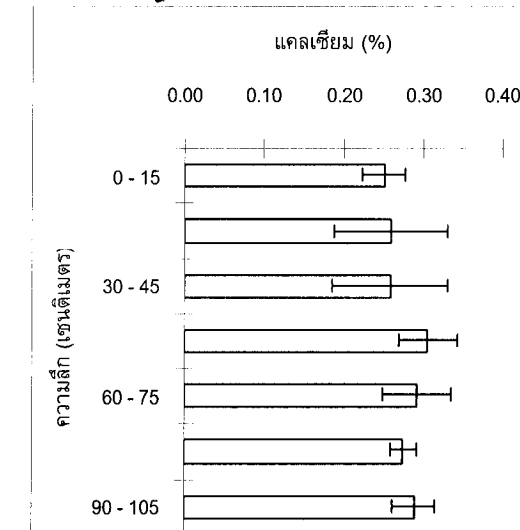
ภาพประกอบ 22 ความสัมพันธ์ระหว่าง
พอสฟอรัสทั้งหมดในดิน
และความเสีย

2.1.12 โพแทสเซียม : โพแทสเซียมในดินมีความแปรผันในช่วงแคบ ๆ อุปทานช่วง 0.19–0.38 % โดยมีค่าเฉลี่ย 0.28 ± 0.05 % (ภาพประกอบ 23)

2.1.13 แคลเซียม : แคลเซียมในดินมีความแปรผันในช่วงแคบ ๆ อุปทานช่วง 0.04–0.08 % โดยมีค่าเฉลี่ย 0.06 ± 0.01 % (ภาพประกอบ 24)



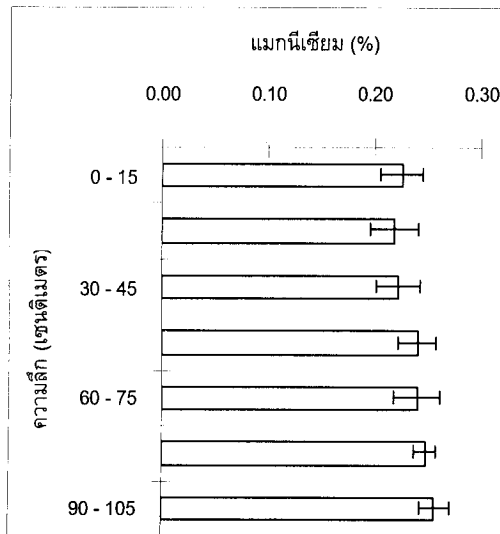
ภาพประกอบ 23 โพแทสเซียมในดิน
(ค่าเฉลี่ย \pm SD)



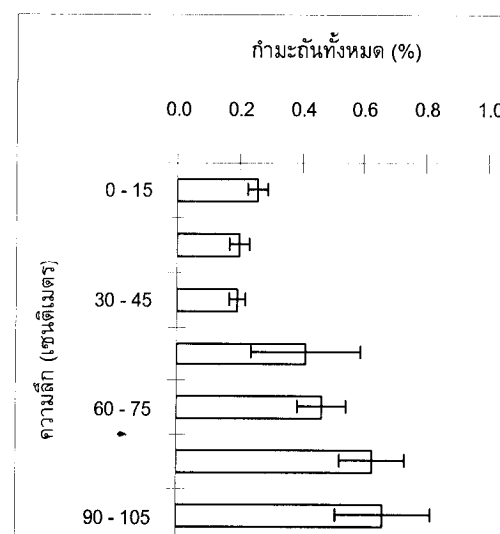
ภาพประกอบ 24 แคลเซียมในดิน
(ค่าเฉลี่ย \pm SD)

2.1.14 แมกนีเซียม : แมกนีเซียมในดินมีความแปรผันในช่วงแคบ ๆ อยู่ในช่วง 0.19–0.27% โดยมีค่าเฉลี่ย $0.24 \pm 0.02\%$ (ภาพประกอบ 25) แมกนีเซียมในดินมีแนวโน้มสูงขึ้นเมื่อระดับความลึกเพิ่มขึ้น

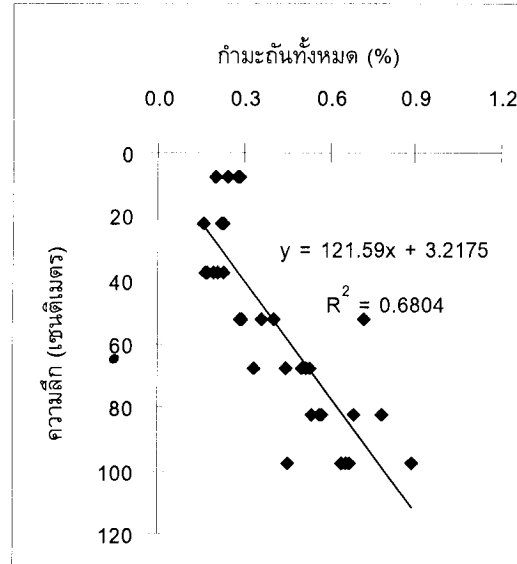
2.1.15 กำมะถันทั้งหมด : ค่าเฉลี่ยกำมะถันทั้งหมดในดินชั้นบน (0-15 เซนติเมตร) $0.26 \pm 0.03\%$ และค่าเฉลี่ยในดินชั้นล่าง (90-150 เซนติเมตร) $0.66 \pm 0.15\%$ (ภาพประกอบ 25) กำมะถันทั้งหมดในดินมีแนวโน้มเพิ่มขึ้นเมื่อระดับความลึกที่เพิ่มขึ้น ($R^2 = 0.68$, $P < 0.01$) (ภาพประกอบ 27) นอกจากนั้นปริมาณกำมะถันทั้งหมดในดินมีค่าสหสัมพันธ์เชิงบวกกับค่าความแตกต่างของพื้นที่ดินสภาพสนามกับดินผึ่งแห้ง ($R^2 = 0.71$, $P < 0.01$) (ภาพประกอบ 28)



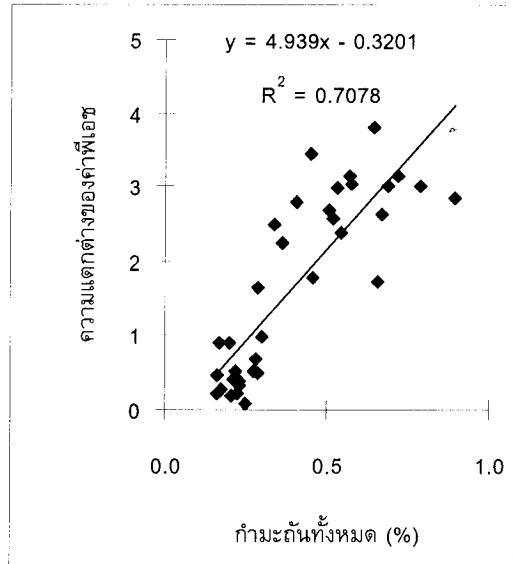
ภาพประกอบ 25 แมกนีเซียมในดิน
(ค่าเฉลี่ย \pm SD)



ภาพประกอบ 26 กำมะถันทั้งหมดในดิน
(ค่าเฉลี่ย \pm SD)



ภาพประกอบ 27 ความสัมพันธ์ระหว่าง
กำมะถันทั้งหมดในวัน
และความลึก



ภาพประกอบ 28 ความสัมพันธ์ระหว่าง
กำมะถันทั้งหมดในวันและ
ความต้องการค่าไฟฟ้า
ในวัน

2.2 คุณสมบัติบางประการของน้ำในพื้นที่ศึกษา

ค่าความเด็มน้ำทั้ง 3 จุดที่วางแผนใส่ใบฝาดเพื่อศึกษาการผุ粟าย มีค่าอยู่ในช่วง 0-22 พีพีที โดยเดือน ธันวาคม 2539 เดือน มกราคม 2540 และเดือน ตุลาคม 2540 น้ำมีความเด็มต่ำสุด (0 พีพีที) ส่วนเดือน กรกฎาคม 2540 น้ำมีความเด็มสูงสุด (22 พีพีที) ที่จุด D3 ซึ่งมีน้ำท่วมตลอดเวลา มีค่าพีเอช อยู่ในช่วง 6.2-8.2 อุณหภูมิมีค่าอยู่ในช่วง 27-32 องศาเซลเซียส โดยมีค่าสูงสุดในเดือน เมษายน 2540 และอุณหภูมิต่ำสุดเดือนธันวาคม 2539 และเดือนมกราคม 2540 (ตาราว 6) ส่วนจุด D1 และ D2 ในช่วงที่มีน้ำท่วมมีคุณสมบัติของน้ำใกล้เคียงกับจุด D3

ระดับการท่วมของน้ำบนพื้นป่าที่ศึกษา ในช่วงระยะเวลา 1 ปี อยู่ในช่วง 0-150 เซนติเมตร ในเดือนธันวาคม 2539 มีระดับน้ำท่วมสูงสุดที่บริเวณ จุด D3 (150 เซนติเมตร) ลักษณะการท่วมของน้ำตลอด 24 ชั่วโมงในรอบวัน ที่จุด D3 จำนวน 366 วัน จุด D1 จำนวน 181 วันและ จุด D2 จำนวน 135 วัน ส่วนลักษณะการท่วมลดลงเหลือในบางช่วงของวัน ที่จุด D1 จำนวน

34 วัน จุด D2 จำนวน 47 วัน และลักษณะที่พื้นเป็นผังตลอด 24 ชั่วโมง ที่จุด D2 จำนวน 184 วัน และที่จุด D1 จำนวน 151 วัน (ตาราง 6)

ตาราง 6 ความเค็ม พีเอช อุณหภูมิของน้ำทะเล และจำนวนวันที่น้ำท่วมพื้นที่ศึกษา

วันที่	D1			D2			D3			พีเอช	T
	●	⊕	O	●	⊕	O	●	⊕	O	S	
19-31 ต.ค. 2539	13	-	-	10	3	-	13	-	-	8	8.2 29.0
1-30 พ.ย.	22	8	-	22	8	-	30	-	-	4	6.6 27.5
1-31 ธ.ค.	31	-	-	31	-	-	31	-	-	0	6.2 27.0
1-31 ม.ค. 2540	31	-	-	31	-	-	31	-	-	0	6.4 27.0
1-28 ก.พ.	28	-	-	15	13	-	28	-	-	8	7.2 29.0
1-31 มี.ค.	15	15	1	-	15	16	31	-	-	4	7.1 31.0
1-30 เม.ย.	7	-	23	-	-	30	30	-	-	12	7.3 32.0
1-31 พ.ค.	-	5	26	-	-	31	31	-	-	10	6.7 31.0
1-30 มิ.ย.	-	-	30	-	-	30	30	-	-	4	7.1 30.0
1-31 ก.ค.	-	-	31	-	-	31	31	-	-	22	7.3 30.0
1-31 ส.ค.	-	-	31	-	-	31	31	-	-	7	7.2 31.0
1-30 ก.ย.	15	6	9	7	8	15	30	-	-	3	7.3 29.0
1-31 ต.ค.	19	-	-	19	-	-	19	-	-	0	6.8 30.0
รวม	181	34	151	135	47	184	366	-	-	-	-

●, ท่วม 24 ชม. ; ⊕, ท่วม / แห้ง ; O, แห้ง 24 ชม. ; S, ค่าความเค็ม (พีพีที) ; T, อุณหภูมิ (องศาเซลเซียส) (ค่าความเค็ม ค่าพีเอชและอุณหภูมิ เป็นข้อมูลเฉพาะที่จุด D3 และจุดอื่น ๆ เฉพาะช่วงที่มีน้ำท่วม)

ตอนที่ 2

3. ผลผลิตจากการร่วงหล่นของชากรีซ และการผุสลายของใบไม้ฝ่าดดอกขาว

3.1 ผลผลิตจากการร่วงหล่นของชากรีซ

ผลผลิตชากรีซต่อลอตปี 1,543 กรัมน้ำหนักแห้ง/ตารางเมตร/ปี (ตาราง 7) ชากรีซเป็นส่วนประกอบมากที่สุด (1,253 กรัมน้ำหนักแห้ง/ตารางเมตร/ปี หรือ 81% ของชากรีซทั้งหมด) รองลงมาเป็นชากรด (115 กรัมน้ำหนักแห้ง/ตารางเมตร/ปี หรือ 7% ของชากรีซทั้งหมด) และชากดอก (37 กรัมน้ำหนักแห้ง/ตารางเมตร/ปี หรือ 3% ของชากรีซทั้งหมด) ผลผลิตชากรีซในแนวC มีปริมาณมากที่สุด (1,749.34 กรัมน้ำหนักแห้ง/ตารางเมตร/ปี) และปริมาณชากรีซน้อยที่สุดแนวE (1,307.15 กรัมน้ำหนักแห้ง/ตารางเมตร/ปี) นอกจากนั้นยังพบว่าปริมาณชากรีซมีความสัมพันธ์กับปริมาตรไม้โดยชากรีซรวมทั้งหมดมีสหสัมพันธ์เชิงบวกกับปริมาตรไม้ ค่า $R^2 = 0.26$ ($P < 0.05$) และชากรดทั้งหมดมีสหสัมพันธ์เชิงบวกกับปริมาตรไม้ ค่า $R^2 = 0.24$ ($P < 0.05$)

ชากรีซส่วนใหญ่เป็นชากราดดอกขาว (1,299 กรัมน้ำหนักแห้ง/ตารางเมตร/ปี หรือ 84% ของชากรีซทั้งหมด) เป็นส่วนของชากรีซ 1,069 กรัมน้ำหนักแห้ง/ตารางเมตร/ปี ชากรด 126 กรัมน้ำหนักแห้ง/ตารางเมตร/ปี ชากดอก 77 กรัมน้ำหนักแห้ง/ตารางเมตร/ปี และชากดอก 27 กรัมน้ำหนักแห้ง/ตารางเมตร/ปี ชากรีซชนิดอื่นมีปริมาณน้อยพบปะประมาณ 16% ของชากรีซทั้งหมด หรือ 244 กรัมน้ำหนักแห้ง/ตารางเมตร/ปี องค์ประกอบส่วนใหญ่เป็นชากรีซเข่นกัน (ตาราง 7)

ชากราดดอกขาว (ภาพประกอบ 29) มีปริมาณอยู่ในช่วง 39.34 กรัมน้ำหนักแห้ง/ตารางเมตร (เดือนกรกฎาคม) ถึง 176.13 กรัมน้ำหนักแห้ง/ตารางเมตร (เดือนธันวาคม) ชากรีซร่วงมากที่สุด ในเดือนตุลาคม (152.12 กรัมน้ำหนักแห้ง/ตารางเมตร) ซึ่งเป็นช่วงต้นฤดูหนาวสุมตะวันออกเฉียงเหนือ และร่วงน้อยที่สุดในเดือนกรกฎาคม (27.39 กรัมน้ำหนักแห้ง/ตารางเมตร) ซึ่งเป็นช่วงฤดูหนาวสุมตะวันตกเฉียงใต้ ส่วนชากรดร่วงมากที่สุด (78.35 กรัมน้ำหนักแห้ง/ตารางเมตร) ในเดือนธันวาคม ซึ่งเป็นช่วงฤดูฝนตกมาก เมื่อเปรียบเทียบความแตกต่างของค่าเฉลี่ยปริมาณชากราดดอกขาวแต่ละฤดูกาลด้วยการวิเคราะห์ One Way ANOVA และDuncan Multiple Range Tests พบร่วงชากดอกในฤดูฝนน้อย (พฤษภาคม–ตุลาคม) มีปริมาณมากกว่าชากรีซฤดูฝนมาก (ตุลาคม–กุมภาพันธ์) อย่างมีนัยสำคัญ ($P < 0.05$) และชากรดในฤดูฝนมากมีปริมาณมากกว่าชากรดในฤดูฝนน้อย และฤดูแล้ง (กุมภาพันธ์–พฤษภาคม) อย่างมีนัยสำคัญ ($P < 0.05$) ส่วนชากรีซในชากรด และชากรีซรวมทุกองค์ประกอบ ผลผลิตของทั้ง 3 ฤดูกาลไม่มีความแตกต่างกันอย่างมีนัยสำคัญ (ตาราง 8) ชากรีซรวมทุกองค์ประกอบของฝ่าดดอกขาวมีสหสัมพันธ์เชิงบวกกับ

ปริมาณไม่โดยมีค่า $R^2 = 0.33$ ($P < 0.01$) และหากผลของฝ่าดดอกขาวมีสหสัมพันธ์เชิงบวกกับปริมาณไม่โดยมีค่า $R^2 = 0.25$ ($P < 0.05$)

ความสัมพันธ์ระหว่างปริมาณผลผลิตจากการร่วงหล่นของชากรีซกับปริมาณฝน พบร่วงปริมาณชากรีซรวมทั้งหมดทุกองค์ประกอบของฝ่าดดอกขาวมีสหสัมพันธ์ในเชิงบวกกับปริมาณฝน ($R^2 = 0.28$, $P < 0.05$) และปริมาณชากรผลของฝ่าดดอกขาวมีสหสัมพันธ์ในเชิงบวกกับปริมาณน้ำฝน ค่า ($R^2 = 0.74$, $P < 0.01$)

ชากรีซชนิดอื่น (ภาคกลางตอน 30) มีปริมาณอยู่ในช่วง 11.35 กรัมน้ำหนักแห้ง/ตารางเมตร (เดือนพฤษจิกายน) ถึง 29.63 กรัมน้ำหนักแห้ง/ตารางเมตร (เดือนเมษายน) มีชากรีซเป็นองค์ประกอบมากที่สุดโดยอยู่ในช่วง 7.89 กรัมน้ำหนักแห้ง/ตารางเมตร ในเดือนพฤษจิกายน ถึง 23.48 กรัมน้ำหนักแห้ง/ตารางเมตรในเดือนเมษายน ปริมาณชากรีซชนิดอื่นมีปริมาณน้อยมาก เมื่อเปรียบเทียบกับปริมาณชากรดดอกขาวดังนั้นการแปรผันตามฤดูกาลของชากรีซจึงไม่ชัดเจน

ธาตุในใบฝ่าดดอกขาวแก่สีเหลืองที่กำลังจะร่วงจากต้นมีองค์ประกอบของคาร์บอน 42.37% แคลเซียม 2.54% โพแทสเซียม 0.90% แมกนีเซียม 0.72% ในตอเรเจน 0.54% พอสฟอรัส 0.04% และกำมะถัน 0.23% (ตาราง 9) ธาตุอาหารรวมที่ได้จากการผลผลิตชากรีซคำนวณจากปริมาณชากรดดอกขาวทั้งหมดในช่วง 1 ปี เป็น คาร์บอน 452.94 กรัม/ตารางเมตร แคลเซียม 27.15 กรัม/ตารางเมตร โพแทสเซียม 9.62 กรัม/ตารางเมตร แมกนีเซียม 7.70 กรัม/ตารางเมตร ในตอเรเจน 5.77 กรัม/ตารางเมตร พอสฟอรัส 0.43 กรัม/ตารางเมตร และกำมะถัน 2.46 กรัม/ตารางเมตร (ตาราง 9) ดังนั้นปริมาณธาตุอาหารที่ได้รับจากพื้นที่ป่าทั้งหมดประมาณ 0.8 เฮกเตอร์ เป็นคาร์บอน 3,623 กิโลกรัม/ตารางเมตร แคลเซียม 217.22 กิโลกรัม/ตารางเมตร โพแทสเซียม 76.97 กิโลกรัม/ตารางเมตร แมกนีเซียม 61.57 กิโลกรัม/ตารางเมตร ในตอเรเจน 46.18 กิโลกรัม/ตารางเมตร พอสฟอรัส 3.42 กิโลกรัม/ตารางเมตร และกำมะถัน 19.67 กิโลกรัม/ตารางเมตร

ตาราง 7 ปริมาณ ชาากพีชที่ร่วงหล่น (กรัมน้ำหนักแห้ง/ตารางเมตร/ปี)

ชาากพีช	รวมพืชทุกชนิด	ฝ่าดดอกขาว	พืชชนิดอื่น ๆ
ใบ	1,253 (81)	1,069 (69)	184 (12)
ผล	138 (9)	126 (8)	12 (1)
กิ่ง	115 (7)	77 (5)	38 (2)
ดอก	37 (3)	27 (2)	10 (1)
รวม	1,543 (100)	1,299 (84)	244 (16)

ตัวเลขในวงเล็บแสดง % ของชาากพีชแต่ละส่วน

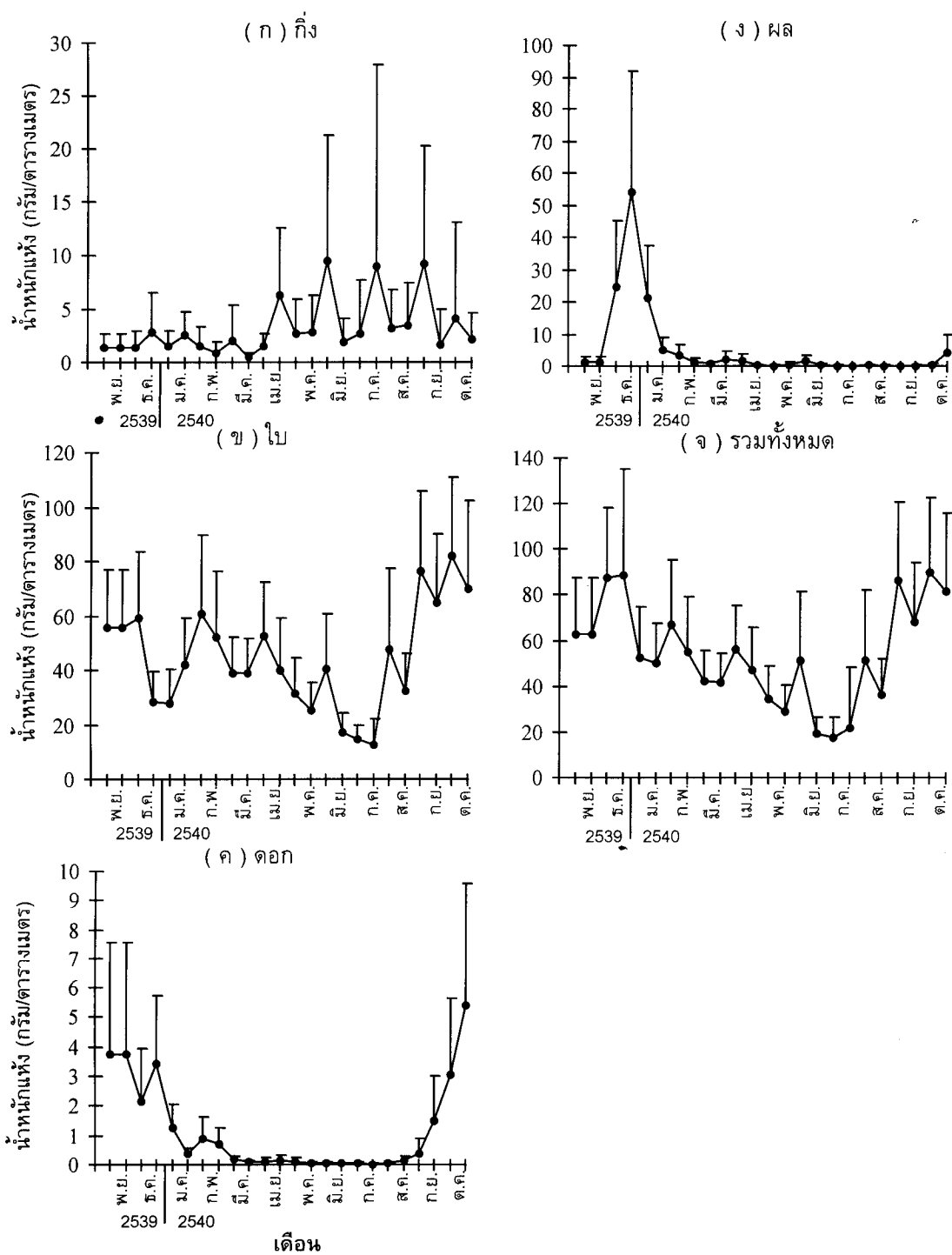
ตาราง 8 ปริมาณการร่วงหล่นของส่วนประกอบชาากฝ่าดดอกขาวตามฤดูกาล
(กรัมน้ำหนักแห้ง/ตารางเมตร/ 2 สัปดาห์) (ค่าเฉลี่ย \pm SE)

ส่วนประกอบ	ฤดูฝนมาก (237 มิลลิเมตร/เดือน)	ฤดูแล้ง (66 มิลลิเมตร/เดือน)	ฤดูฝนน้อย (134 มิลลิเมตร/เดือน)
กิ่ง	1.72 ± 0.23^a	2.64 ± 0.80^{ab}	4.71 ± 1.02^b
ใบ	47.85 ± 4.73^a	37.89 ± 3.78^a	45.86 ± 8.38^a
ดอก	2.04 ± 0.51^a	0.11 ± 0.02^a	1.06 ± 0.57^a
ผล	14.05 ± 6.57^a	0.96 ± 0.34^b	0.74 ± 0.41^b
รวม	65.66 ± 5.29^a	41.60 ± 3.90^a	52.36 ± 8.93^a

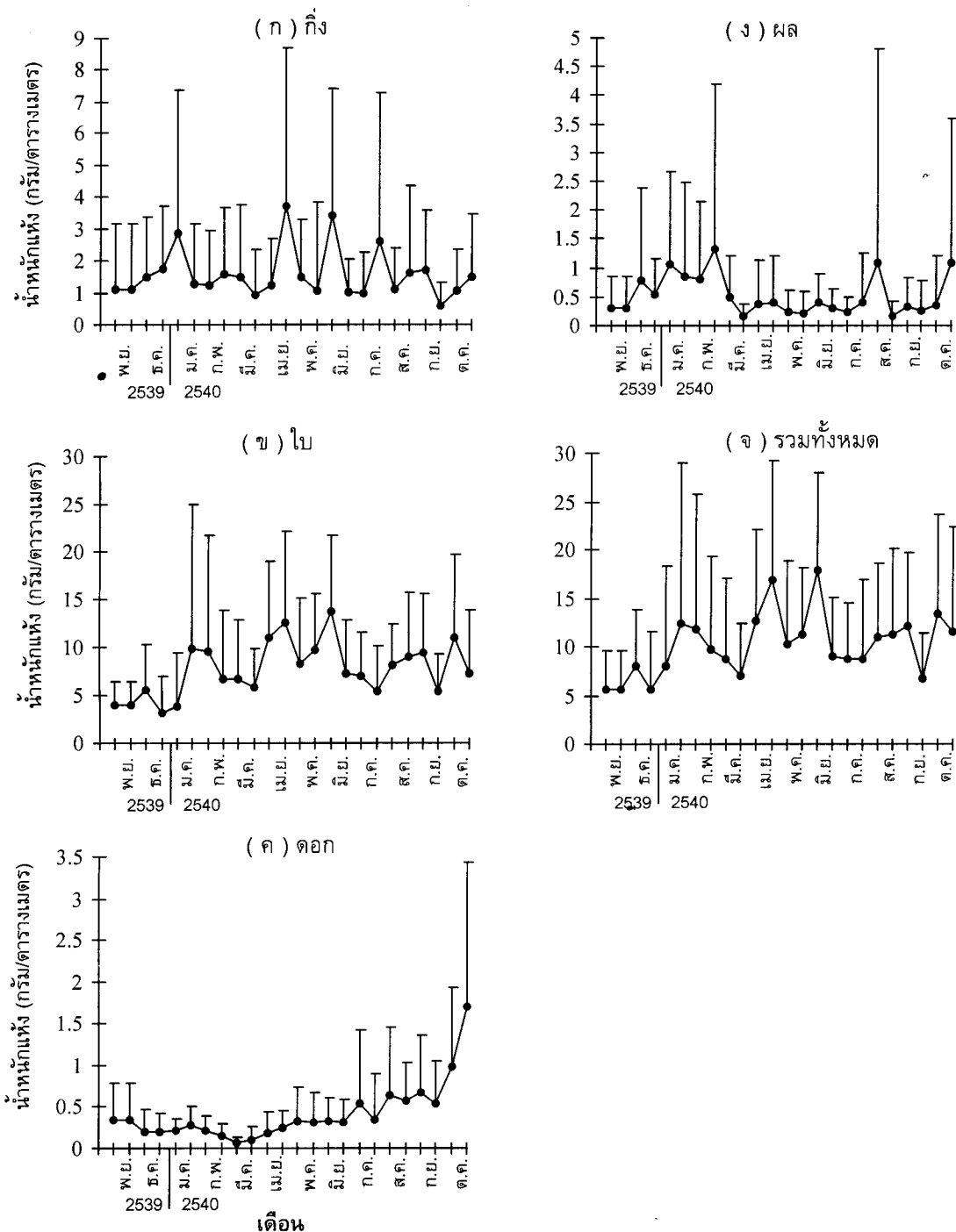
ในส่วนประกอบเดียวกัน ค่าเฉลี่ยที่มีอักษรเหมือนกันกำกับไว้ไม่มีความแตกต่างที่ระดับนัยสำคัญ 0.05

ตาราง 9 องค์ประกอบของธาตุต่าง ๆ ในใบฝ่าดแก่ และปริมาณธาตุอาหารที่ปั้นเป้าได้รับจากใบฝ่าด โดยคำนวณจากซากใบที่ร่วง (1,069 กรัมน้ำหนักแห้ง/ตารางเมตร/ปี)

ธาตุ	ปริมาณธาตุในใบ (%)	ปริมาณธาตุอาหารที่ป้าได้รับ (กรัม/ตารางเมตร/ปี)
คาร์บอน	42.37	452.94
เคลเซียม	2.54	27.15
โพแทสเซียม	0.90	9.62
แมกนีเซียม	0.72	7.70
ไนโตรเจน	0.54	5.77
ฟอสฟอรัส	0.04	0.43
กำมะถัน	0.23	2.46



ภาพประกอบ 29 ขนาดส่วนต่าง ๆ ของต้นผาด Dokkha (Lumnitzera racemosa) ในพื้นที่ศึกษา ระหว่างเดือน พฤษภาคม 2539 ถึง เดือนตุลาคม 2540 (ค่าเฉลี่ย + SD)



ภาพประกอบ 30 ซากส่วนต่าง ๆ ของพืชชนิดอื่นในพื้นที่ศึกษา ระหว่างเดือน พฤศจิกายน 2539
ถึง เดือนตุลาคม 2540 (ค่าเฉลี่ย + SD)

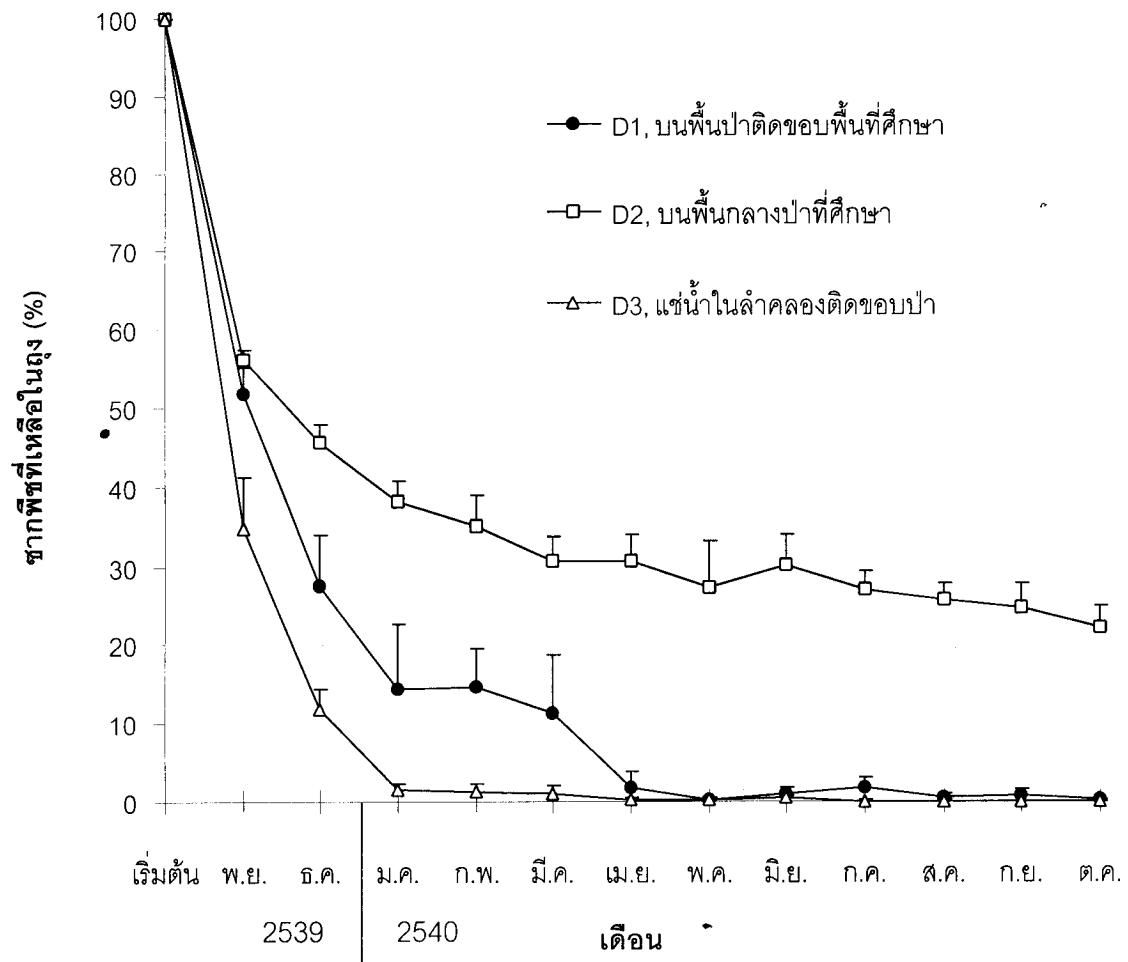
3.2 การผุสลายของใบฝาดดอกขาว

ปริมาณการลดลงของชาากใบในระหว่างการผุสลายมีการแปรผันตามจุดที่วางถุงตัวอย่าง อัตราการผุสลายที่จุด D3 มีค่าสูงสุด ส่วนอัตราการผุสลายที่จุด D2 มีค่าต่ำสุด การผุสลายเกิดขึ้นอย่างรวดเร็วในช่วง 4 สัปดาห์แรกของการแขวนน้ำหนะแล หลังจากช่วงนี้มีอัตราการผุสลายลดลง (ภาพประกอบ 31) ในช่วงเวลา 4 สัปดาห์แรกนี้ชาากใบฝาดที่จุด D1, D2 และ D3 มีการผุสลาย 48, 44 และ 65% ของน้ำหนักเริ่มต้น ตามลำดับ หลังจากเวลาผ่านไป 1 ปี ที่จุด D1 มีชาากใบฝาดเหลืออยู่ในถุง 0.14 % ของน้ำหนักเริ่มต้น ที่จุด D2 มีชาากใบฝาดเหลืออยู่ในถุง 22.4% ของน้ำหนักเริ่มต้น ส่วนที่จุด D3 ผุสลายหมดในเวลา 10 เดือน และการผุสลายที่จุด D3 เกิดขึ้นในช่วง 3 เดือนแรกของการทดลองเท่ากับ 98% ของน้ำหนักเริ่มต้น เปรียบเทียบความแตกต่างของอัตราการผุสลายของใบฝาดดอกขาวในแต่ละตำแหน่งที่วางถุงตัวอย่างพบว่าในเดือนแรกน้ำหนักที่หายไปของใบไม้ที่จุด D3 มากกว่าจุด D1 และจุด D2 ($P < 0.05$) ส่วนจุด D1 และจุด D2 ไม่แตกต่างกัน (ตาราง 10)

ตาราง 10 เปรียบเทียบอัตราการผุสลายของใบฝาดดอกขาว (%) ระหว่างพื้นที่วางถุงตัวอย่าง (ค่าเฉลี่ย \pm SE)

เดือนที่	D1	D2	D3
1 (พฤษจิกายน 2539)	48.21 ^a (1.69)	43.70 ^a (0.54)	65.33 ^b (3.33)
2 (ธันวาคม)	72.50 ^b (3.28)	54.43 ^a (1.15)	88.09 ^c (1.28)
3 (มกราคม 2540)	85.59 ^b (4.17)	61.74 ^a (1.18)	98.44 ^c (0.36)
4 (กุมภาพันธ์)	85.37 ^b (2.51)	64.87 ^a (1.89)	98.63 ^c (0.49)
5 (มีนาคม)	88.77 ^b (3.76)	69.35 ^a (1.58)	98.90 ^c (0.42)
6 (เมษายน)	98.31 ^b (1.14)	69.42 ^a (1.67)	99.70 ^b (0.05)
7 (พฤษภาคม)	99.69 ^b (0.07)	72.64 ^a (2.97)	99.74 ^b (0.12)
8 (มิถุนายน)	98.96 ^b (0.38)	69.82 ^a (1.88)	99.61 ^b (0.22)
9 (กรกฎาคม)	98.19 ^b (0.59)	73.05 ^a (1.26)	99.89 ^b (0.02)
10 (สิงหาคม)	99.40 ^b (0.20)	74.14 ^a (1.01)	99.92 ^b (0.04)

ในเดือนเดียวกัน ค่าเฉลี่ยที่มีอักษรเหมือนกันกำกับไว้ไม่มีความแตกต่างทางสถิติที่ระดับนัยสำคัญ 0.05



ภาพประกอบ 31 ปริมาณใบ芳คดออกขาวที่เหลือหลังจากนำไปวางไว้ในพื้นที่ศึกษา

ระหว่างเดือนตุลาคม 2539 ถึง ตุลาคม 2540 (ค่าเฉลี่ย + SD)

ลักษณะของการผุสลายของใบฝ่าดดอกขาวจากการศึกษาในครั้งนี้เป็นไปตามสมมุติฐานแบบ
จำลองทางคณิตศาสตร์ (Mathematics Model) ของปฏิกิริยาอันดับหนึ่ง (First-order rate
kinetics) ตามสมการ decay law (อินทิรา หาญพงษ์พันธ์, 2538 : 262–266)

$$W_t = W_0 e^{-kt}$$

เมื่อ W_0 = ชากรีซในถุงเมื่อเวลาเริ่มต้นการทดลอง (100%)

W_t = ชากรีซที่เหลืออยู่ในถุง (% ของ W_0)

t = เวลาในการสลายตัว (เดือน)

k = ค่าคงที่

พบว่า ที่จุด D1 มีค่าคงที่ (k) 0.5372 ค่า $R^2 = 0.86$ ($P < 0.01$)

ที่จุด D2 มีค่าคงที่ (k) 0.1533 ค่า $R^2 = 0.31$ ($P < 0.01$)

ที่จุด D3 มีค่าคงที่ (k) 0.8859 ค่า $R^2 = 0.90$ ($P < 0.01$)

แม้ว่าขนาดซ่องของถุงตากข่ายในล่อนที่ใส่ใบไม้จะมีขนาดเล็กแต่พบว่ามีกลุ่มสัตว์หน้า
ดินบางชนิดสามารถเข้าไปในถุงได้ เช่น หอยฝาเดียว หอยสองฝา โพลีจิต ตัวอ่อนแมลง ไอโซปอด
และเอมพิปอด (ตาราง 11) สัตว์ที่พบมากที่สุดได้แก่ หอยฝาเดียว หอยสองฝา และเอมพิปอด
โดยมีขนาด 1-5 2-12 และ 2-12 มิลลิเมตร ตามลำดับ หอยฝาเดียวและหอยสองฝาที่พบส่วน
ใหญ่มีขนาดเล็ก (2-4 มิลลิเมตร) และมีกพบเฉพาะเปลือกเหลืออยู่ในถุง ในขณะที่ เอมพิปอด
ส่วนมากมีขนาดอยู่ในช่วง 5-7 มิลลิเมตร สัตว์หน้าดินที่พบในถุงใส่ใบไม้มากในช่วง 7 เดือนแรก
ของการทดลอง หลังจากนั้นสัตว์หน้าดินที่จุด D3 มีปริมาณลดลง ส่วนที่จุด D1 และ D2 ไม่พบ
สัตว์หน้าดินยกเว้นในเดือนตุลาคม 2540 ที่พบตัวอ่อนของแมลง ส่วนที่จุด D3 พบรอยส่องฝาและ
เอมพิปอดตลอดไป

ตาราง 11 สัดส่วนน้ำดิน (จำนวนตัว/4 ถุง) ที่เข้าไปอยู่ในถุงใส่ใบไม้ช่วงเวลา 1 ปี

		หอยฝาเดียว	หอยสองฝา	โพลีธีต	ตัวอ่อนของแมลง	ไอโซบอร์ด	แอมพิปอร์ด
พ.ย. 2539	D1	117	0	1	2	0	27
	D2	168	0	1	3	0	0
	D3	59	2	16	0	47	868
ธ.ค.	D1	80	0	20	1	1	174
	D2	77	0	5	3	1	3
	D3	34	9	8	1	10	668
ม.ค. 2540	D1	45	422	22	0	1	731
	D2	193	287	6	4	0	109
	D3	22	192	2	0	44	137
ก.พ.	D1	157	3430	2	0	1	73
	D2	661	769	0	2	1	0
	D3	1	819	0	0	10	29
มี.ค.	D1	5	1377	13	0	2	15
	D2	142	422	0	8	0	0
	D3	3	786	5	0	3	34
เม.ย.	D1	5	1190	13	0	0	0
	D2	7	20	1	1	0	1
	D3	0	35	3	0	0	14
พ.ค.	D1	0	536	12	1	0	13
	D2	7	3	0	1	0	3
	D3	0	151	21	1	9	68
มิ.ย.	D1	0	0	0	0	0	0
	D2	0	0	0	0	0	0
	D3	0	91	20	1	3	85
ก.ค.	D1	0	0	0	0	0	0
	D2	0	0	0	0	0	0
	D3	0	1	0	0	0	47
ส.ค.	D1	0	0	0	0	0	0
	D2	0	0	0	0	0	0
	D3	0	83	17	0	2	158
ก.ย.	D1	0	0	0	0	0	0
	D2	0	0	0	0	0	0
	D3	0	374	12	0	29	70
ต.ค.	D1	0	0	5	336	0	0
	D2	0	0	0	197	0	0
	D3	1	168	15	0	25	58

4. การจัดการ การใช้ประโยชน์จากพื้นที่และผลตอบแทนทางเศรษฐกิจที่ได้รับจากพื้นที่ศึกษา

ผู้ที่ครอบครองพื้นที่ป่าไม้ฝาดดอกข้าวที่ทำการศึกษาครั้งนี้ คือ นายกริม แก้วณรงค์ (สัมภาษณ์, 19 ตุลาคม 2539) ได้กล่าวว่าไม่มีเอกสารสิทธิ์ทางกฎหมาย นายกริมเองเป็นผู้ที่เข้าไปจัดการและดูแลโดยการตัดวัชพืช เก่าวัลย์ ปรุงหนู เหงือกปลาหม Oro ปีละ 1 ครั้งในช่วงฤดูแล้ง (เดือนเมษายน-สิงหาคม) มีการเผาขากพืชที่ตัดลงไว้ในบริเวณที่เป็นที่ว่างเพื่อให้มีกล้าไม้ออกใหม่และมีการตัดฟันลูกไม้ที่มีลำต้นไม่สวยงามและหนาแน่นเกินไปทึ้ง ตัดฟันกล้าไม้และลูกไม้ของไม่อนุฯ ที่ไม่ใช่ไม้ฝาดดอกข้าว เช่น ไม้โก่งกางใบเล็ก ปอทะล ทึ้งไปส่วนไม้ฝาดดอกข้าวปล่อยให้เจริญเติบโตตามธรรมชาติ

ผู้ครอบครองป่าไม้ฝาดดอกข้าวแห่งนี้ไม่ได้ตัดต้นไม้ไปใช้ประโยชน์แต่เก็บไว้เพื่อใช้เป็นที่กำบังลมและคลื่นเดื่ออาจจะมีการเก็บยอด ผล และใบ จากต้นจากที่ขึ้นอยู่ในป่าไปใช้บ้างและเก็บน้ำผึ้งป่าที่เข้ามาทำรังในฤดูแล้ง ป่าไม้แห่งนี้ยังเป็นที่อยู่ของนกและสัตว์น้ำ (ปูแสม, หอย และปลา เป็นต้น) และเป็นทางเดินผ่านไปยังกระชังเลี้ยงปลากระพงซึ่งอยู่ในบริเวณใกล้เคียง

ป่าไม้ฝาดดอกข้าวแห่งนี้ยังไม่ได้ให้ผลตอบแทนที่เป็นจำนวนเงินชัดเจนแต่นายกริม แก้วณรงค์ กล่าวว่าลำต้นของฝาดดอกข้าวสามารถนำไปใช้ประโยชน์ได้หลายอย่างหากมีการดูแลและตกแต่งให้ต้นฝาดมีระยะห่างพอเหมาะสมจะได้ไม่ลำต้นตรงจึงเหมาะสมกับการนำไปใช้เป็นไม้ค้ำยันในงานก่อสร้าง ทำเครื่องมือประมง เป็นส่วนประกอบในการก่อสร้างบ้านหลังเล็ก ๆ เสาสะพาน เสากระชังเลี้ยงปลา ทำเฟอร์นิเจอร์ ทำถ่านและทำฟืน เคยมีผู้มาขอต้นฝาดดอกข้าวต้นที่มีขนาดใหญ่โดยเสนอราคาให้ต้นละ 70 บาท แต่เจ้าของไม่ขาย เนื่องจากต้องการที่จะอนุรักษ์ไว้ให้อนุชนรุ่นหลังได้รู้จักต้นฝาดดอกข้าวต่อไป

บทที่ 4

ວິຈາຮົນໜໍາ

ตอนที่ 1

1. โครงสร้างของป้าไม้

พื้นที่ศึกษามีความหนาแน่นของไม้ใหญ่ ลูกไม้ และ กล้าไม้ เท่ากับ 5,388 4,370 และ 16,860 ตัน/เฮกเตอร์/ตารางเมตร เส้นผ่าศูนย์กลางเฉลี่ย 6.6 เมตรติเมตร ความสูงเฉลี่ย 7.2 เมตร และปริมาตรไม้เฉลี่ย 127.57 ลูกบาศก์เมตร/เฮกเตอร์ ความหนาแน่นของลูกไม้และกล้าไม้แสดงว่า เป้าไม้ผัดดอกขาวแห่งนี้มีการสืบพันธุ์ตามธรรมชาติ (*natural regeneration*) ดีมากเนื่องจาก จำนวนกล้าไม้ที่เหมาะสมในการสืบพันธุ์ตามธรรมชาติมีค่าอยู่ในช่วง 5,000–10,000 ตัน/เฮกเตอร์ (Aksornkoae, et al., 1991 : 54) เมื่อเปรียบเทียบลักษณะโครงสร้างป่าไม้ในพื้นที่ศึกษากับป่า ชายเลนอื่น ๆ พบร่วมกันด้วยกลไกชนิดโครงสร้างป่าไม้ในพื้นที่ศึกษามีขนาด ใกล้เคียงกับต้นไม้ผัดดอกขาวที่ขึ้นอยู่ในป่าชายเลนบริเวณคลองยะหริ่งจังหวัดปัตตานี จากการศึกษาของสุราษฎร์ เพชรแก้ว (2540 : 139) พบร่วมกับป่าชายเลนบริเวณคลองยะหริ่งจังหวัดปัตตานี จากการศึกษาของสุราษฎร์ เพชรแก้ว (2540 : 139) พบร่วมกับป่าชายเลนบริเวณคลองยะหริ่งจังหวัดปัตตานี ที่มีไม้ โคงกางใบเล็กเป็นไม้เด่น (วิจารณ์ มีผล, 2537 : 52) ซึ่งมีขนาดเส้นผ่าศูนย์กลางเฉลี่ย 6.20 เมตรติเมตร ความสูงเฉลี่ย 8.44 เมตร แต่อย่างไรก็ตามขนาดเส้นผ่าศูนย์กลางเฉลี่ยและความสูงเฉลี่ยของต้นไม้ในพื้นที่ศึกษามากกว่าต้นไม้ในป่าชายเลนชุมชน อำเภอสีเงา จังหวัดตรัง (เกื้อ ประภูลกำจาย, 2536 : 72) เนื่องจากป่าชุมชนในขณะนั้นเพิ่งได้รับการฟื้นฟูประมาณ 2 ปีเท่านั้น

แม้ว่าพื้นที่ศึกษาครั้งนี้ประกอบด้วยดินไม้ขณาดเล็ก มีไม้ชนิดเด่นเพียงชนิดเดียว และมีพื้นที่จำกัด (0.8 เฮกตาร์) การศึกษาเพื่อเปรียบเทียบความคุณสมบูรณ์ของดินไม้กับป่าชายเลนบริเวณอื่นอาจจะไม่ชัดเจนนัก แต่ก็พอที่จะศึกษาความแตกต่างได้บ้าง พบว่า

ความหนาแน่นของต้นไม้และปริมาณตรามีน้ำของพื้นที่ศึกษามีค่ามากกว่าพื้นที่ป่าชายเลนบริเวณอื่นหลายแห่ง เช่น ป่าชายเลนบริเวณปากคลองพระวัง ริมทะเลสาบสงขลาตอนนอก มีความหนาแน่นของไม้ใหญ่ ลากไม้ และก้าไม้ เท่ากับ 1,558 2,851 และ 1,213 ต้น/ hectare ตามลำดับ

มีปริมาณรainlessบริเวณปากคลอง 23.86 ลูกบาศก์เมตร/ไร่/เดือน เนื่องจากพื้นที่ดังกล่าวอยู่ในสภาพเสื่อมโทรม (วิจารณ์ มีผล, 2540 : II-10)

ป่าชายเลน อำเภอจะหิ่ง จังหวัดปัตตานี มีความหนาแน่นของไม้ใหญ่ 3,447 ตัน/ไร่/เดือน และไม่ฝาดดอกข้าวในพื้นที่ดังกล่าวมีความหนาแน่นของไม้ใหญ่ ลูกไม้ และกล้าไม้ 78 113 และ 4,300 ตัน/ไร่/เดือน ตามลำดับ ป่าชายเลนแห่งนี้มีไม้โคงกว้างใบเล็กและไม้ต่ำตุ่มเป็นไม้เด่นและพบไม่ฝาดดอกข้าวขึ้นร่วมกับต้นแสมข้าวบริเวณผึ้งตะวันตก ที่ระยะ 0–100 เมตรจากปากคลองเพียงบริเวณเดียวเท่านั้น (สุรชาติ เพชรแก้ว, 2540 : 134)

ป่าชายเลนบริเวณดินเลนออกใหม่ จังหวัดสมุทรสงคราม มีความหนาแน่นของไม้ใหญ่ 930 ตัน/ไร่/เดือน และปริมาณรainless 102.59 ลูกบาศก์เมตร/ไร่/เดือน (สนใจ หวานนท์ และคณะ, 2538 : III-02)

จากการศึกษาในป่าชายเลน อำเภอเมือง จังหวัดระนอง โดยวิจารณ์ มีผล (2537 : 44-55) พบว่าในแปลงตัดนำรุ่งป่ามีความหนาแน่นของไม้ใหญ่ 2,590 ตัน/ไร่/เดือน และปริมาณรainless 48.45 ลูกบาศก์เมตร/ไร่/เดือน ส่วนแปลงควบคุมที่มีสภาพตามธรรมชาติ มีความหนาแน่นของไม้ใหญ่ 3,030 ตัน/ไร่/เดือน และปริมาณรainless 74.80 ลูกบาศก์เมตร/ไร่/เดือน

จากการศึกษาของ Aksornkoae, et al., (1991 : 49) ในป่าชายเลน อำเภอเมือง จังหวัดระนอง พบว่าป่าชายเลนบริเวณคลองต้ำใหญ่ มีความหนาแน่นของไม้ใหญ่ 2,135 ตัน/ไร่/เดือน และมีปริมาณรainless 45 ลูกบาศก์เมตร/ไร่/เดือน ป่าสัมปทานบริเวณคลองหงาว มีความหนาแน่นของไม้ใหญ่ 1,070 ตัน/ไร่/เดือน และปริมาณรainless 67.50 ลูกบาศก์เมตร/ไร่/เดือน

ป่าชายเลนที่หมอดอยุการสัมปทานป่าไม้ จังหวัดระนอง มีความหนาแน่นของต้นไม้ 1,337.5 ตัน/ไร่/เดือน และมีปริมาณรainless 36.93 ลูกบาศก์เมตร/ไร่/เดือน (สิงห์ หวานนท์, และคณะ, 2538 : IV-04)

ในขณะเดียวกันพบว่าพื้นที่ศึกษามีความอุดมสมบูรณ์น้อยกว่าป่าชายเลนอีกหลายแหล่ง เช่น กัน เช่น ป่าชายเลนระนอง ใกล้พื้นที่ทำเหมืองแร่ไม้ใหญ่มีความหนาแน่น 1,083 ตัน/ไร่/เดือน ปริมาณรainless 183 ลูกบาศก์เมตร/ไร่/เดือน และป่าชายเลนธรรมชาติ ไม้ใหญ่มีความหนาแน่น 1,289 ตัน/ไร่/เดือน ปริมาณรainless 236 ลูกบาศก์เมตร/ไร่/เดือน (Aksornkoae, et al., 1982 : 151)

ป่าชายเลนระนอง บริเวณระหว่างท่าเรือ มีความหนาแน่นของไม้ใหญ่ 1,115 ตัน/ไร่/เดือน และมีปริมาณรainless 167.4 ลูกบาศก์เมตร/ไร่/เดือน ป่าชายเลนเขตอนุรักษ์ด้านในคลองหงาว มีความหนาแน่นของต้นไม้ 2,255 ตัน/ไร่/เดือน และมีปริมาณรainless 279.30 ลูกบาศก์เมตร/ไร่/เดือน (Aksornkoae, et al., 1991 : 49)

ป่าชายเลนกลางคลองขอนคอม นครศรีธรรมราช มีความหนาแน่นของไม้ใหญ่ 2,665 ตัน/ เอกเตอร์ และปริมาตรไม้เท่ากับ 138.71 ลูกบาศก์เมตร/เอกเตอร์ (วิเศษ สาลีกุล, 2540 : V-5)

การกระจายตามชั้นขนาดเส้นผ่าศูนย์กลางของไม้ในพื้นที่ศึกษาปรากฏว่าการกระจายตามชั้นขนาดเส้นผ่าศูนย์กลางของไม้มีลักษณะลดลงเรื่อยๆ นั่นคือไม่มีขนาดเส้นผ่าศูนย์กลางขนาดเล็กมีจำนวนต้นมากและจำนวนต้นลดลงเมื่อขนาดเส้นผ่าศูนย์กลางใหญ่ขึ้น จะเห็นว่าการกระจายของเส้นผ่าศูนย์กลางเพียงอย่างมากในชั้น 4-6 เซนติเมตร เช่นเดียวกับผลการศึกษาในป่าชายเลน อำเภอเมือง จังหวัดระนองโดยวิจารณ์ มีผล (2537 : 52)

นายกริม แก้ววงศ์ (สัมภาษณ์, 19 ตุลาคม 2539) กล่าวว่าต้นไม้ต้นแรกออกขาวในพื้นที่แห่งนี้มีอายุประมาณ 10 ปี มีอัตราการเพิ่มขนาดของลำต้นประมาณ 0.5 เซนติเมตรต่อปี

ลักษณะโครงสร้างของป่าไม้ฝาดดอกขาวในพื้นที่ต่างจากป่าชายเลนในพื้นที่อื่นๆ เนื่องจากลักษณะทางภูมิประเทศ ความจำกัดของพื้นที่ คุณสมบัติของดิน อิทธิพลของน้ำทະເລແລະน้ำจืดจากบนบกตลอดถึงการจัดการดูแลและใช้ประโยชน์พื้นที่ ทำให้ต้นไม้มีขนาดเล็ก ลำต้นตรง ความสูงใกล้เคียงกันทั่วทั้งพื้นที่

2. ลักษณะบางประการของดินและน้ำในพื้นที่ศึกษา

ดินในพื้นที่ศึกษามีเนื้อดินเป็นดินเหนียวเช่นเดียวกับดินในสวนป่าโงกงang ใบเล็ก บ้านยี่สาร สมุทรสงคราม (ดุสิต เวชกิจ, 2534 : IV-7) และดินในป่าชายเลนธรรมชาติ สุราษฎร์ธานี (ชญา ณรงค์ฤทธิ์, 2536 : VI-6)

อุณหภูมิติดินทั้งพื้นที่ไม่มีความแตกต่างกันมากเนื่องจากอยู่ภายใต้ร่มเงาของเรือนยอดที่หนาแน่น ส่วนความชื้นมีแนวโน้มสูงขึ้นเมื่อระดับความลึกของดินเพิ่มขึ้น

ค่าพีโซดินในสภาพสนามมีค่าอยู่ในช่วงระดับเป็นกรดฐาน strong (strongly acid) (พีโซช 5.1) ถึงเป็นกลาง (near neutral) (พีโซช 7.0) (กรมพัฒนาที่ดิน, 2523) เมื่อดินตัวอย่างแห้งค่าพีโซดินมีค่าอยู่ในช่วงระดับเป็นกรดจัดมาก (extremely acid) (พีโซช 3.2) ถึงเป็นกรดปานกลาง (moderately acid) (พีโซช 5.8) (กรมพัฒนาที่ดิน, 2523) โดยเมื่อความลึกของดินเพิ่มมากขึ้น ความแตกต่างของพีโซดินสภาพสนามกับดินแห้ง (ΔpH) และปริมาณธาตุกำมะถันก็เพิ่มขึ้นด้วย ลักษณะเช่นนี้แสดงว่าดินมีสภาพเป็นกรดขอบแห้ง (potential acid) มีกำมะถันในรูปชัลไฟด์อยู่มากเมื่อดินแห้งชัลไฟด์ถูกออกซิไดส์ให้เป็นกรดชัลฟูริกเป็นผลให้ค่าพีโซดินลดลง (จิตต์ คงแสงไชย, 2534 : III-4 ; Aksornkoae, et al., 1991 : 40)

ดินสภาพสนามชั้นบนถูกออกซิไดส์ได้มากกว่าดินชั้นล่างสังเกตจากค่าความต่างศักย์ของดินชั้นบนที่สูงกว่าดินชั้nl่าง

ค่าการนำไฟฟ้าแสดงถึงระดับความเค็มดินอยู่ในระดับต่ำมาก (ไม่เค็ม) (EC 1.36 มิลลิชีเมนส์/เซนติเมตร) ถึงระดับปานกลาง (เค็มปานกลาง) (EC 5.59 มิลลิชีเมนส์/เซนติเมตร) (กรมพัฒนาที่ดิน, 2523) ค่าการนำไฟฟ้าของดินในพื้นที่ศึกษาต่ำกว่าดินป่าชายเลนธรรมชาติ สุราษฎร์ธานี (ชญา ณรงค์ฤทธิ์, 2536 : VI-6) ดินป่าชายเลนบริเวณคลองต้ำหงส์ ระนอง (วิจารณ์ มีผล, 2537 : 61-62) และดินป่าชายเลนบริเวณคลองยะหริ่ง (สุรชาติ เพชรแก้ว, 2540 : 126)

ปริมาณอินทรีย์คาร์บอนที่วิเคราะห์ได้จาก 3 วิธี พบวารี Walkley and Black น่าจะเป็นวิธีที่เหมาะสมที่สุดถ้าต้องใช้ตัวอย่างในการวิเคราะห์จำนวนมากเนื่องจากให้ผลใกล้เคียงกับวิธี Kosaka-Honda-Isaki method แต่วิธีหลังต้องใช้อุปกรณ์ที่เฉพาะและใช้เวลานานกว่า วิธีการเผาให้ค่าสูงกว่า 2 วิธีถังกล่าวข้างต้นเนื่องจากว่าถ้าดินมีเกลือкар์บอนตอยู่ด้วยจะทำให้น้ำหนักที่หายไปในการเผาส่วนหนึ่งมาจาก การถ่ายตัวของเกลือкар์บอน เนต และแร่ดินเหนียวบางชนิดถึงแม้จะเผาที่อุณหภูมิต่ำกว่ากว่า 300 องศาเซลเซียสก็ยังมีการสูญเสียโมเลกุลของน้ำที่อยู่ระหว่างชั้น alumino silicate ทำให้ปริมาณอินทรีย์วัตถุหรืออินทรีย์คาร์บอนที่คำนวณจากน้ำหนักที่หายไปหลังการเผามากกว่าความเป็นจริง (สมศักดิ์ มนีพงศ์, 2537 : 65-66) ดังนั้นในการวิเคราะห์หาปริมาณอินทรีย์คาร์บอนและอินทรีย์วัตถุในดินป่าชายเลนรอบทะเลสาบสงขลา วิธี Walkley and Black น่าจะเหมาะสมที่สุด ปริมาณอินทรีย์วัตถุของดินในพื้นที่ศึกษาจากการวิเคราะห์ด้วยใช้วิธี Walkley and Black อยู่ในช่วงระดับปานกลาง (1.36%) ถึง ระดับสูงมาก (5.59%) (กรมพัฒนาที่ดิน, 2523) ใกล้เคียงกับอินทรีย์วัตถุในป่าชายเลนปลูกอ่อนปัตตานี (ชญา ณรงค์ฤทธิ์ และคณะ, 2538 : V-05) แต่อินทรีย์วัตถุในดินพื้นที่ศึกษาต่ำกว่าดินในสวนป่าโงกงกาใบเล็ก บ้านยี่สาร สมุทรสงคราม (4.22–19.95%) (ดุสิต เวชกิจ, 2534 : IV-7) ดินป่าชายเลนอ่าวคุ้งกระเบน จันทบุรี (0.36–44.62%) (ศิริพร วรกุลดำรงชัย, 2540 : I-1) ดินป่าชายเลนป่าซุมซนและป่าสัมปทาน ตรัง (5.28–27.77%) (เกื้อ ตระกูลกำจาย, 2536 : 77) ดินป่าชายเลนบริเวณคลองต้ำหงส์ ระนอง (9.20–28.32%) (วิจารณ์ มีผล, 2537 : 61-62) และดินป่าชายเลนบริเวณคลองยะหริ่ง ปัตตานี (6.09–11.71%) (สุรชาติ เพชรแก้ว, 2540 : 126)

ในตรรженทั้งหมดในดินมีค่าอยู่ในช่วง 0.08–0.24% ใกล้เคียงกับในตรรженทั้งหมดในดินป่าที่มีต้นแสมปลูก อ่อนปัตตานี (0.15–0.19%) (ชญา ณรงค์ฤทธิ์ และนพรัตน์ บำรุงรักษ์, 2538 : V-04) และป่าชายเลนบริเวณคลองต้ำหงส์ ระนอง (0.16–0.28%) (วิจารณ์ มีผล, 2537 : 61-62) แต่น้อยกว่าในตรรженในดินสวนป่าโงกงกาใบเล็ก บ้านยี่สาร สมุทรสงคราม (0.21–1.00%) (ดุสิต เวชกิจ, 2534 : IV-7)

ค่าสัดส่วนคาร์บอนต่อไนโตรเจน (C:N ratio) ของดินในพื้นที่ศึกษาอยู่ในช่วง 10.64–23.85 มากกว่าค่าอัตราส่วนคาร์บอนต่อไนโตรเจนในดินป่าชายเลนบริเวณคลองดำเนง ขณะong ซึ่งมีค่าอยู่ในช่วง 29.87–63.56 (วิจารณ์ มีผล, 2537 : 61-62)

กำมะถันทั้งหมดในดินพื้นที่ศึกษา (0.16–0.89%) ต่ำกว่ากำมะถันทั้งหมดในดินป่าชายเลนบริเวณคลองดำเนง ขณะong (0.59–4.17%) (วิจารณ์ มีผล, 2537 : 61-62) และดินในป่าชายเลนคลองยะหริ่ง ปัตตานี (0.30–2.30%) (สุราษฎร์ เพชรแก้ว, 2540 : 127)

ค่าพีโซซและคุณภูมิของน้ำทະเบบริเวณพื้นที่ศึกษาไม่ค่อยมีการเปลี่ยนแปลงมากนัก ส่วนความเค็มน้ำตลอดช่วงการเก็บตัวอย่างสวนใหญ่มีค่าต่ำ (น้อยกว่า 15 พีพีที) ยกเว้นเดือนกรกฎาคม* ที่มีความเค็มสูงสุดเนื่องจากเป็นฤดูแล้ง สวนในเดือนมิถุนายน ความเค็มน้ำลดต่ำต่าง จากเดือนเมษายนและเดือนกรกฎาคมมากเนื่องจากมีปริมาณน้ำจืดจากฝนตกหนักบริเวณทะเล หลวงไหหล่อพื้นที่ศึกษา

จากคุณสมบัติของดินและน้ำตลอดถึงตำแหน่งที่ตั้งของพื้นที่ศึกษาทำให้ต้นฝ่าดดอกขาว เจริญเติบโตได้ดี เนื่องจากฝ่าดดอกขาวชอบที่จะขึ้นในพื้นที่ที่มีดินเลนค่อนข้างแข็งและพื้นที่ค่อนข้างสูงเล็กน้อย (สนิท อักษรแก้ว, 2532 : 72)

ตอนที่ 2

3. ผลผลิตจากการร่วงหล่นของชากรีซและการผุสลายของใบไม้падดอกขาว

3.1 ผลผลิตจากการร่วงหล่นของชากรีซ

ปริมาณการร่วงหล่นของชากรีซที่พบบริเวณป่าไม้падดอกขาว ทะเลสาบสงขลา มีปริมาณถึง 1,543 กรัม/ตารางเมตร/ปี นั้นนับว่ามีค่าใกล้เคียงเมื่อเปรียบเทียบกับป่าชายเลนในประเทศไทยใกล้เคียง โดยเฉพาะประเทศไทยเดี๋ยวนี้ ซึ่ง Sasekumar and Loi (1983 : 283) พบว่าป่าชายเลนที่ Kuala Selangor ให้ชากรีซประมาณ 1,402–1,577 กรัม/ตารางเมตร/ปี ส่วน Leach and Burgin (1985 : 215) พบว่าป่าชายเลนที่ Papua New Guinea ให้ชากรีซประมาณ 1,430 กรัม/ตารางเมตร/ปี และ Wafar, et al. (1977 : 11) พบว่าป่าชายเลนอินเดียบริเวณ Mandovi-Zuari Estuaries ให้ผลผลิตชากรีซประมาณ 1,020–1,700 กรัม/ตารางเมตร/ปี แต่การร่วงหล่นของชากรีซบริเวณป่าไม้падดอกขาวมีปริมาณมากกว่าเมื่อเปรียบเทียบกับป่าชายเลนในช่องกงที่มีปริมาณชากรีซ 1,107 กรัม/ตารางเมตร/ปี (Lee, 1989 : 75) ในนิวซีแลนด์ มีปริมาณชากรีซประมาณ 330–760 กรัม/ตารางเมตร/ปี (Woodroffe, 1985 : 265) ออสเตรเลีย มีปริมาณชากรีซ 300–1,402 กรัม/ตารางเมตร/ปี (Woodroffe, et al., 1988 : 588) แอกฟริกาใต้ มีปริมาณชากรีซ 451–1,056 กรัม/ตารางเมตร/ปี (Steinke and Charles, 1986 : 552 ; Steinke and Ward, 1988 : 449–450 ; Steinke and Ward, 1990 : 517) ในเม็กซิโก มีปริมาณชากรีซ 307–793 กรัม/ตารางเมตร/ปี (Day, et al., 1996 : 39) ในเอกวาดอร์ มีปริมาณชากรีซ 647–1,064 กรัม/ตารางเมตร/ปี (Twilley, et al., 1997 : 109) ในรัฐฟลอริดา สหรัฐอเมริกา ปีปริมาณชากรีซ 444–810 กรัม/ตารางเมตร/ปี (Twilley, et al., 1986 : 670) แต่อย่างไรก็ตาม เมื่อเปรียบเทียบกับปริมาณชากรีซที่ได้จากป่าชายเลนในประเทศไทยแล้ว ป่าไม้падดอกขาว ทะเลสาบสงขลา ให้ปริมาณมากกว่าป่าชายเลนที่จังหวัดระนองที่มีปริมาณชากรีซ 893 กรัม/ตารางเมตร/ปี (สนิท อักษรแก้ว และคณะ, 2530 : 178) และ 822 กรัม/ตารางเมตร/ปี (Aksornkoae, et al., 1991 : 75–76) ป่าชายเลนจังหวัดภูเก็ต มีปริมาณชากรีซ 800 กรัม/ตารางเมตร/ปี (Poovachiranon and Tantichodok, 1991 : 69) ป่าชายเลนจังหวัดสุราษฎร์ธานี มีปริมาณชากรีซ 1,022 กรัม/ตารางเมตร/ปี (Angsupanich and Aksornkoae, 1994b : 405) ป่าชายเลนจังหวัดพังงา มีปริมาณชากรีซ 550 กรัม/ตารางเมตร/ปี (Angsupanich and Aksornkoae, 1994c : 35) นอกจากนี้เมื่อเปรียบเทียบกับป่าชนิดอื่นในประเทศไทยพบว่าป่าไม้падดอกขาวมีปริมาณชากรีซสูงกว่าสวนบ้านจังหวัดนนทบุรี ซึ่งปริมาณการร่วงหล่นของชากรีซ 568 กรัม/ตารางเมตร/ปี (ประพันธ์ สมพันธ์พาณิช, 2537 : 76) แต่น้อย

กว่าป้าดิบซึ้นเข้าซ่อง จังหวัดตรัง ที่มีปริมาณการร่วงหล่นของชากรีช 2,322 กรัม/ตารางเมตร/ปี (Kira, et al., 1967 ข้างถึงใน บำรุง คุหา, 2526 : 5)

ไม่คาดดอกขาวให้ผลผลิตชากรีชมากที่สุดอยู่ในช่วงเดือนกันยายนและตุลาคม (เป็นช่วงเปลี่ยนฤดูจากฤดูมรสุมตะวันตกเฉียงใต้เป็นฤดูมรสุมตะวันออกเฉียงเหนือและเริ่มเข้าฤดูฝนของชายฝั่งอ่าวไทย) ซึ่งเร็วกว่าช่วงมากที่สุดของผลผลิตชากรีชของกลุ่มพันธุ์ไม้ผสมในป่าชายเลน จังหวัดระนองสองเดือน (Aksornkoae, et al., 1991) และเร็วกว่าผลผลิตมากที่สุดของป่าชายเลน ผสมของจังหวัดพังงาและจังหวัดสุราษฎร์ธานีสามเดือน (Angsupanich and Aksornkoae, 1994b : 407 and 1994c : 37) ซึ่งเป็นช่วงปลายฤดูฝนของชายฝั่งทะเลอันดามัน อย่างไรก็ตาม ชากรีชในฝ่ายดอกขาวในพื้นที่ศึกษาร่วงมากในฤดูฝน เช่นเดียวกับกับชากรีชในฝ่ายดอกขาวที่บริเวณ Missionary Bay ออสเตรเลีย (Williams, et al., 1981 : 562-563) และป่าชายเลนบริเวณอื่น ๆ ที่อยู่ในเขตละติดרוםที่ 22 องศาเหนือ กับ 12 องศาใต้ (ตาราง 12)

ผลผลิตของชากรีชมีความแตกต่างระหว่างฤดูฝนและฤดูแล้งอย่างชัดเจนโดยการร่วงหล่นของชากรีชมีความสัมพันธ์กับช่วงมากที่สุดของปริมาณฝน (เดือนพฤษจิกายน-เดือนธันวาคม) ซึ่งสอดคล้องกับพันธุ์พันธุ์ป่าชายเลนอื่น เช่น โงกคงใบเล็ก (*R. apiculata*) จังหวัดภูเก็ต (Christensen and Wium-Andersen, 1977 : 281) และบริเวณอื่น ๆ ที่แสดงไว้ใน ตาราง 12 แต่ อย่างไรก็ตามบางครั้งการศึกษาการเปลี่ยนแปลงค่าความเดิมน้ำบนพื้นบ่า (0-10 พีพีที) และ บริเวณรอบ ๆ บ่า (0-22 พีพีที) อาจจะเป็นปัจจัยสำคัญที่มีผลต่อการร่วงหล่นของชากรีชและชากรีชตามฤดูกาล มีการสังเกตพบรูปแบบต่าง ๆ ของการผลลัพธ์และผลผลิตทางนิเวศวิทยาในป่าชายเลนที่ความเดิมดินมีการเปลี่ยนตามฤดูกาลอ่างรุนแรง (Hatching and Saenger, 1987 ข้างถึงใน Twilley, et al., 1997 : 115)

ตาราง 12 เปรียบเทียบฤดูกาลการร่วงหล่นมากที่สุดของซากใบและซากผลของพันธุ์ไม้ป่าชายเลนแต่ละชนิด

ชนิด	ซากใบ		ซากผล		สถานที่	ละติจูด	เอกสารอ้างอิง
	ช่วงมาก ที่สุด	ฤดูกาล	ช่วงมาก ที่สุด	ฤดูกาล			
<i>Avicennia alba</i>	Sep.- Oct.	rainy	Sep.	rainy	Kuala Selangor, Malay peninsula	3° 15' N. 1983	Sasekumar and Loi,
<i>A. marina</i>	Apr.	rainy	Jan.	rainy	Darwin Harbour, Australia	12° 30' S et al., 1988	Woodroffe,
<i>A. officinalis</i>	Oct.- Nov.	post mon- soon	Jun.	mon-soon	Mandovi-Zuari estuaries, India	15° 10' N 1997	Wafar, et al.,
<i>Bruguiera exaristata</i>	Oct.	rainy	Jan.	rainy	Darwin harbour, Australia	12° 30' S et al., 1988	Woodroffe,
<i>Ceriops tagal</i>	Oct.	rainy	Dec.	rainy	Darwin Harbour, Australia	12° 30' S et al., 1988	Woodroffe,
<i>Kandelia candel</i>	Aug.- Nov.	dry	Apr.	rainy	Mai Po Marshes , Northwest Hong Kong	22.2 ° N	Lee, 1989
<i>Lumnitzera racemosa</i>	Nov.- Jan.	rainy	no data	no data	Missionary Bay, Australia	8° 16 ' S et al., 1981	Williams,
<i>Rhizophora apiculata</i>	Jun.- Jul.	rainy	Jun.- Jul.	rainy	Phuket, Thailand	8° N Wium-Andersen,1977	Christensen and
<i>R. apiculata</i>	Jan.	rainy	Jan.	rainy	Missionary Bay, Australia	8° 16 ' S et al., 1981	Williams,
<i>R. apiculata</i>	Nov.- May.	pre-post monsoon	May	pre monsoon	Mandovi-Zuari estuaries, India	15° 10' N 1997	Wafar, et al.,
<i>R. stylosa</i>	Mar.	rainy	Feb.	rainy	Darwin Harbour, Australia	12° 30' S et al., 1988	Woodroffe,
<i>Sonneratia alba</i>	Oct.- Nov.	rainy	Mar.	rainy	Kuala Selangor, Malay peninsula	3° 15' N. 1983	Sasekumar and Loi,
<i>L. racemosa</i>	Sep.- Oct.	rainy	Nov.- Dec.	rainy	Songkhla Lake, Thailand	7° 15' N This study	

ถึงแม้ว่ามีการสะสมของชากริบบันพื้นป่าจากเดือนมีนาคมถึงกลางเดือนกันยายนแต่ชากริชส่วนมากถูกพัดพาออกจากพื้นป่าโดยกระแสน้ำจีดที่ท่วมพื้นที่โดยหลักมาจากทะเลสาบตอนใน (ทะเลหลวง) ในช่วงฤดูฝนซึ่งเดือนพฤษจิกายนถึงเดือนกุมภาพันธ์ของทุก ๆ ปี การแบ่งชนิดป่าชายเลนตามรูปแบบของ Lugo and Snedaker ในปี 1974 (อ้างถึงใน Woodroffe, 1992 : 7-41) พื้นที่ศึกษา มีลักษณะรูปแบบระหว่างป่าชายเลนแบบ overwash กับ reverine แต่การจำแนกรูปแบบป่าชายเลนดังกล่าวอาจจะไม่เหมาะสมกับพื้นที่นี้เนื่องจากมีคุณสมบัติค่อนข้างจำกัดและอาจไม่เป็นประโยชน์มากกับป่าชายเลนในส่วนอื่นๆ ของโลก (Chansang and Poovachiranon, 1990 : 40)

- ความสัมพันธ์ระหว่างผลผลิตจากการร่วงหล่นของชากริชกับลักษณะของป่าชายเลนพบว่าป่าชายเลนธรรมชาติหรือป่าชายเลนที่มีไม้หลายชนิดมีผลผลิตของชากริชอยู่ในช่วง 720-994 กรัมน้ำหนักแห้ง/ตารางเมตร/ปี (ตาราง 13) แต่ป่าชายเลนที่มีพรุนไม้น้อยชนิดมีผลผลิตของชากริชค่อนข้างสูง เช่น ในพื้นที่ศึกษามีผลผลิตชากริช เท่ากับ 1,543 กรัมน้ำหนักแห้ง/ตารางเมตร/ปี สอดคล้องกับป่าไม้แสมทะเลบริเวณ Darwin Harbour ออสเตรเลีย เท่ากับ 1,400 กรัมน้ำหนักแห้ง/ตารางเมตร/ปี อาจเนื่องจากความหนาแน่นและปริมาตรไม้ที่ต่างกันในแต่ละพื้นที่บริเวณที่มีความหนาแน่นและปริมาตรไม้มากกว่ามีแนวโน้มที่ให้ผลผลิตของชากริชมากกว่า (ตาราง 13)

ตาราง 13 เปรียบเทียบความหนาแน่น ปริมาตรรากไม้ และผลผลิตจาก การร่วงหล่นของซากพืช
จากป่าชายเลนในพื้นที่ต่าง ๆ

ลักษณะป่าชายเลน และพื้นที่ศึกษา	ความหนาแน่น (ต้น/เฮกเตอร์)	ปริมาตรราก (ลูกบาศก์เมตร/ เฮกเตอร์)	ผลผลิตซากพืช (กรัมน้ำหนักแห้ง/ ตารางเมตร/ปี)	เอกสารข้างต้น
ป่าชายเลนใกล้เมืองแร่ อ.เมือง จ.ระนอง	1,083	138	985	Aksornkoae, et al., 1982
ป่าชายเลนธรรมชาติ อ.กะเปอร์ จ.ระนอง	1,289	236	758	Aksornkoae, et al., 1982
ป่าชายเลนธรรมชาติ บริเวณปากแม่น้ำริมฝั่งทะเล อ.เมือง จ.ระนอง	1,115	167	890	Aksornkoae, et al., 1991
ป่าชายเลนด้านในคลองคำใหญ่ อ.เมือง จ.ระนอง	2,135	45	742	Aksornkoae, et al., 1991
ป่าชายเลนในเขตสัมปทาน คลองหงาว อ.เมือง จ.ระนอง	1,070	68	720	Aksornkoae, et al., 1991
ป่าชายเลนอนุรักษ์ด้านใน คลองหงาว อ.เมือง จ.ระนอง	2,255	279	937	Aksornkoae, et al., 1991
ป่าชายเลนใกล้พื้นที่ทำเหมืองแร่ อ.เมือง จ.ระนอง	1,577	-	994	นำรุ่ง คุหา, 2526
ป่าชายเลนธรรมชาติ อ.กะเปอร์ จ.ระนอง	1,059	-	893	นำรุ่ง คุหา, 2526
ป่าไม้แสมทະلاء บริเวณ Darwin Habour ขอสเตรเดีย	1,300	-	1,400	Woodroffe, et al., 1988
ป่าไม้ฝาดตอบขาว ทะเลสาบสงขลา	5,338	128	1,543	การศึกษาครั้งนี้

3.2 การผุสลายของใบฝ่าดดอกขาว

การผุสลายของใบฝ่าดดอกขาว ที่เกิดขึ้นอย่างรวดเร็วภายในเวลา 4 สัปดาห์แรกของ การแข็งอยู่ในน้ำมีลักษณะคล้ายกับการผุสลายของใบพีชอื่นๆ (Boonruang, 1978 : 1 ; Robertson, 1988 : 235 ; Angsupanich, et al., 1989 : 147 ; Changsang and Poovachiranon, 1990 : 38 ; Angsupanich and Aksornkoae, 1994a : 41 ; Wafar, et al., 1997 : 115) โดยที่ชากรีฟีชประมาณ 50% มีการผุสลายภายในช่วงเวลา 4 สัปดาห์แรกนี้ ในช่วงเวลา 1 เดือนแรกของการทดลอง อัตราการผุสลายมีความแตกต่างตามจุดที่วางถุงใส่ใบไม้โดยจุดD3 มีอัตราเร็วสูงสุด รองลงไปเป็นจุดD1 และ จุดD2 ตามลำดับ เนื่องจากอัตราการผุสลายเกิดขึ้นสูงในตัวอย่างที่แข็งอยู่ในน้ำนานกว่าโดยที่ จุดD3 ถุงใส่ใบไม้แข็งอยู่ในน้ำตลอดเวลา ส่วนจุดD1 มีระยะเวลาการท่อมของน้ำนานกว่าจุดD2 ความถี่ของการท่อมโดยกระเส้น้ำขึ้นน้ำลงหรือการท่อมถุงใส่ใบพีชเป็นปัจจัยสำคัญที่ช่วยเร่งอัตราการผุสลายของชากรีฟีช (Twilley, et al., 1997 : 117) น้ำหนักแห้งที่หายไปอย่างรวดเร็วในช่วงเริ่มต้นเนื่องจากการชะลัดลาย (leaching) ออกไปของอินทรีย์วัตถุ (Rice and Tenor, 1981 : 683 ; Camilleri and Ribi, 1986 : 337 ; Twilley, et al., 1986 : 675 ; Robertson, 1988 : 244)

การผุสลายของใบฝ่าดดอกขาวตามแบบจำลองของปฏิกริยาอันดับหนึ่ง ที่จุดD1 และ D3 ผลการทดลองกับแบบจำลองใกล้เคียงกันมากเพริบหน้า ค่า R^2 เท่ากับ 0.86 และ 0.90 ตามลำดับ โดยที่จุดD3 มีอัตราการผุสลายสูงสุด โดยพบว่าค่าคงที่ของสมการ ให้ค่าสูงสุด ในขณะที่จุดD2 มี อัตราการผุสลายต่ำสุด และการผุสลายไม่ใกล้เคียงกับแบบจำลองเท่ากับจุดอื่น (ค่า R^2 เท่ากับ 0.31) เนื่องจากที่จุดนี้พื้นที่อยู่กลางป่าและสูงกว่าจุดอื่น ๆ เล็กน้อย โดยเฉพาะจุดD3 ซึ่งถุงใส่ใบไม้แข็งอยู่ในน้ำตลอดเวลาการผุสลายเป็นไปอย่างรวดเร็วเนื่องจากการชะลัดลายของสารอินทรีย์ การย่อยโดยจุลินทรีย์เป็นไปอย่างต่อเนื่อง อีกทั้งยังถูกเร่งด้วยการกัดกินของแมลงปีบอดที่พบอยู่ในถุง ตัวอย่างจำนวนมากในระยะ 2 เดือนแรกของการทดลอง กระเส้น้ำและคลื่นก็อาจเป็นปัจจัยหนึ่งที่ ทำให้การผุสลายเกิดขึ้นอย่างรวดเร็ว ในขณะที่จุดD2 การท่อมของน้ำมีเฉพาะช่วง 3 เดือนแรกเท่านั้น หลังจากระยะดังกล่าวนี้แล้วพื้นที่วางถุงใส่ตัวอย่างก็แห้งอย่างต่อเนื่องติดต่อกัน 5 เดือน ถึงแม้ว่าในจุดนี้จะมีน้ำท่วมในระยะแรกแต่กระเส้น้ำและคลื่นไม่มีผลต่อการผุสลายของชากรีฟีช ดัง ดอกขาวเพริบหน้าจะต้องเป็นน้ำนิ่ง ส่วนที่จุดD1 พื้นที่เป็นที่ต่ำกว่ามีน้ำท่วมมากกว่าจุด D2 แต่กระเส้น้ำและคลื่นก็ไม่มีผลต่อการผุสลายของใบไม้เช่นเดียวกับจุดD2 การผุสลายของใบฝ่าดดอกขาวที่แข็งอยู่ในน้ำ (จุดD3) มีรูปการผุสลายสอดคล้องกับการผุสลายของใบแสมทะเล ในพังก้าหัวสุมดอกแดง ใบโคงกัง (*R. stylosa*) ใบลำพูทะเล ที่ชาวகະທະເລ ແມ່ນ້າ Nakama ຄູ່ປຸ່ນ

(Angsupanich, et al., 1989 : 149) ใบโคงกางใบใหญ่ ใบโคงกางใบเล็ก ใบลำพูทะเล และใบเสนอคำ ที่ชีวภาพทะเล Mandovi-Zuari ชายฝั่งตะวันตกของอินเดีย (Wafar, et al., 1997 : 114)

อย่างไรก็ตามพบว่ามีสัตว์หน้าดินจำนวนมากเข้าไปอยู่ในถุงใส่ใบไม้ซึ่งน้ำจะมีอิทธิพลต่อการผุสลายด้วยโดยในเดือนธันวาคมและมกราคมทุกจุดที่วางถุงใส่ใบไม้มีน้ำท่วมแต่การผุสลายของใบแต่ละจุดมีอัตราที่แตกต่างกันและพบว่ามีสัตว์หน้าดินโดยเฉพาะแคมพิปอดจำนวนมากมากเข้าไปอยู่ในถุงโดยเฉพาะจุดที่มีอัตราการผุสลายสูง ทั้งยังพบอีกว่าที่จุดD3 ในเดือนมกราคมปริมาณชาփีชลดลงอย่างรวดเร็วเช่นเดียวกับจำนวนสัตว์หน้าดินที่ลดจำนวนลงเช่นกัน สัตว์หน้าดินจำนวนมากที่พบเป็นแคมพิปอด หอยสองฝ่า (*Brachidonten* sp.) แต่ก็พบขนาดเล็กๆ และบางครั้งก็พบเฉพาะชาփี

ผลการศึกษาในครั้งนี้แสดงให้เห็นถึงบทบาทความสำคัญของแเอมพิปอดในการทำให้มีการแตกย่อยเป็นชิ้นเล็กชิ้นน้อยของชาփี เช่นเดียวกับผลการศึกษาของ Boonruang, (1978 : 5) และ Poovachiranon, et al., (1986 : 129) อัตราการผุสลายของฝาดดอกขาวที่แช่อยู่ในน้ำตลดลง เกลามีลักษณะคล้ายกับอัตราการผุสลายของใบโคงกาง (*R. stylosa*) ใบลำพูทะเล (*S. alba*) และใบพังก้าหัวสูมดอกಡาง (*B. gymnorhiza*) (Angsupanich, et al., 1989 : 148)

ปัจจัยที่มีผลต่อการผุสลายของใบไม้ตัดออกจากความชื้นและกลุ่มสัตว์หน้าดินแล้วสิ่งมีชีวิต อื่น ๆ ที่มีอยู่ในน้ำก็มีความสำคัญเช่นเดียวกัน โดยการศึกษาของ Cundell, et al. (1979 : 204) พบว่าในระยะที่มีการย่อยสลายใบโคงกาง (*R. mangle*) ที่แช่อยู่ในน้ำทะเล พบกลุ่มสิ่งมีชีวิตเล็ก ๆ ได้แก่ แบคทีเรีย รา ไดอะตوم โปรโตซัว และหนอนท่อเป็นจำนวนมาก ในช่วง 14-70 วัน ของการทดลองและจากการศึกษาของ Valielo, et al. (1985 : 49) ก็พบว่าการย่อยอินทรีย์ตดตุเนื่องจากจุลินทรีย์เกิดขึ้นมากในระยะที่สอง (second stage) ของกระบวนการผุสลาย ดังนั้น แบคทีเรียที่อาศัยอยู่ในน้ำในป่าชายเลน (Angsupanich, et al., 1989 : 65) น่าจะเป็นปัจจัยหนึ่งที่สำคัญที่ทำให้ใบไม้ที่แช่ในน้ำตลดลงเวลาไม่ใช้การผุสลายเร็วมาก

ธาตุในใบแก่ของพืชป่าชายเลน (C, N, P, K, Ca และ Mg) มีความแตกต่างกันเพียงเล็กน้อยซึ่งปริมาณธาตุในใบฝาดดอกขาวก็ไม่ได้แตกต่างจากปริมาณธาตุในใบพืชอื่นๆมากนัก (ตาราง 14) แต่จากการที่ใบฝาดดอกขาวมีอัตราการผุสลายอย่างรวดเร็วและให้ผลผลิตของชาփีบดต่อหน่วยพื้นที่ค่อนข้างสูง และสูงกว่าป่าชายเลนอื่น ๆ อีกด้วยแท้จริง (ตาราง 15) ดังนั้นมีการเพิ่มพื้นที่หรือปลูกสร้างสวนป่าไม้ฝาดดอกขาวรอบทะเลสาบสงขลาให้เพิ่มมากขึ้นสารอาหารที่จะได้รับจากดินไม่ชนิดนี้ก็จะเพิ่มตามไปด้วยอันจะส่งผลไปถึงความอุดมสมบูรณ์ของอาหารต่อสิ่งมีชีวิตในทะเลสาบสงขลาต่อไป

ตาราง 14 เปอร์เซ็นต์ธาตุในใบแก่ (สีเหลือง) ของพันธุ์ไม้ป่าชายเลนชนิดต่าง ๆ

ชนิด	C	Ca	K	Mg	N	P	สถานที่	เอกสารอ้างอิง
<i>A. alba</i>	-	1.84	0.96	0.81	0.42	0.05	West Java, Indonesia	Soeroyo and Atmadja, 1994
<i>A. marina</i>	-	0.70	1.10	1.59	0.50	0.06	Darwin Harbour, Australia	Woodroffe, et al., 1988
<i>A. officinalis</i>	44.30	-	-	-	0.81	0.06	Mandovi-Zuari Estuaries, India	Wafar, et al., 1997
<i>B. parviflora</i>	-	1.30	0.60	0.69	0.30	0.05	Darwin Harbour, Australia	Woodroffe, et al., 1988
<i>C. tagal</i>	-	1.60	0.50	1.33	0.30	0.04	Darwin Harbour, Australia	Woodroffe, et al., 1988
<i>C. tagal</i>	-	-	-	-	0.49	0.05	Phang-nga Bay, Thailand	Angsupanich and Aksornkoae, 1994
<i>K. candel</i>	-	3.68	1.12	0.94	0.41	0.05	West Java, Indonesia	Soeroyo and Atmadja, 1994
<i>L. littorea</i>	-	4.32	0.87	0.61	0.39	0.03	West Java, Indonesia	Soeroyo and Atmadja, 1994
<i>R. apiculata</i>	45.79	-	-	-	0.48	-	Phuket, Thailand	Poovachiranon and Tantichodok, 1991
<i>R. apiculata</i>	-	3.32	1.05	0.84	0.58	0.04	West Java, Indonesia	Soeroyo and Atmadja, 1994
<i>R. apiculata</i>	44.00	-	-	-	0.68	0.06	Mandovi-Zuari Estuaries, India	Wafar, et al., 1997
<i>R. mucronata</i>	45.20	-	-	-	0.62	0.12	Mandovi-Zuari Estuaries, India	Wafar, et al., 1997
<i>S. alba</i>	-	2.37	1.19	0.84	0.64	0.06	West Java, Indonesia	Soeroyo and Atmadja, 1994
<i>S. alba</i>	43.70	-	-	-	0.73	0.06	Mandovi-Zuari Estuaries, India	Wafar, et al., 1997
<i>L. racemosa</i>	42.37	2.54	0.90	0.72	0.54	0.04	Songkhla Lake, Thailand	This study

ตาราง 15 เปรียบเทียบปริมาณธาตุอาหารที่ผลิตได้จากชาไก่ปีชีวประชายเลนในพื้นที่ต่าง ๆ

ธาตุอาหาร	ธาตุอาหารที่ผลิตได้ (กรัม/ตารางเมตร/ปี)				
	พื้นที่ผลิต	ร่องคง ¹	อโศสเตราเลีย ²	อโศสเตราเลีย ²	อโศสเตราเลีย ²
		ผัดดอกขาว	พันธุ์ผสม	ป่องแดง	แสมะเหลือง
โนโตรเจน	5.77	3.50	1.51	4.24	3.41
ฟอสฟอรัส	0.43	0.29	0.20	0.51	0.43
โพแทสเซียม	9.62	6.62	2.51	9.32	5.11
แคลเซียม	27.15	6.73	8.03	5.93	16.18
แมกนีเซียม	7.70	4.15	6.68	13.47	7.07
รวม	50.67	21.29	18.93	33.47	32.18

ที่มา : ¹ Aksornkoae, et al., 1991 : 77 , ² Woodroffe, et al., 1988 : 588, 593

4. การจัดการ การใช้ประโยชน์จากพื้นที่และผลตอบแทนทางเศรษฐกิจที่ได้รับจากพื้นที่ศึกษา

ในสภาพปัจจุบันการครอบครองพื้นที่ที่ศึกษาไม่ได้มีเอกสารสิทธิ์ทางกฎหมาย แต่แสดงการครอบครองพื้นที่ด้วยการจับจองและเข้าไปปัจจัดการดูแลต้นไม้ที่อยู่ในพื้นที่ เจ้าของพื้นที่ (นายกิริม แก้ววนวงศ์) ยังคงปล่อยให้พื้นที่อยู่ในสภาพธรรมชาติ ยังไม่มีสิ่งปลูกสร้างใด ๆ นอกจากสะพานสำหรับเป็นทางเดินไปบริเวณเลี้ยงปลากระเพง การเข้าไปใช้ประโยชน์ในพื้นที่ยังมีเพียงการเข้าไปเก็บยอดปรงและยอดจากและเก็บน้ำฝนป่าซึ่งมีเพียงหนึ่งหือสองครั้งในรอบปี อีกทั้งยังไม่มีการตัดต้นไม้ออกจากพื้นที่เลย จึงยังไม่มีผลประโยชน์ที่เป็นมูลค่าหรือราคาจากต้นผัดดอกขาวในพื้นที่เลย แต่จากการที่เคยมีผู้มาติดต่อกันซื้อต้นผัดดอกขาวที่มีขนาดใหญ่ ๆ โดยเสนอราคาต้นละ 70 บาท แสดงว่าไม่ผัดมีศักยภาพที่จะนำไปใช้ประโยชน์ได้อย่างดี

จากการศึกษาครั้งนี้ นอกจากเป็นผลิตสารอาหารได้อย่างรวดเร็วให้กับระบบภูมิภาคแลงน้ำแลงแหล่งผลิตเมล็ดพันธุ์แล้ว ป่าไม้ผัดยังมีประโยชน์โดยตรงต่อมนุษย์ด้วย ดังนั้นการปลูกสร้างสวนป่าไม้ผัดดอกขาวในพื้นที่กว้างว่างเปล่ารอบทะเลสาบตอนใน ซึ่งมีคุณภาพดินและน้ำใกล้เคียงกับพื้นที่ศึกษา จึงเป็นแนวทางหนึ่งที่สามารถเพิ่มทรัพยากรป่าไม้ เพิ่มเมล็ดพันธุ์และต้นกล้าให้กับป่าไม้ เสริมรายได้ให้ประชาชนในบริเวณนั้น ๆ และเป็นการป้องกันการพังทลายชายฝั่งด้วย

บทที่ 5

สรุปและข้อเสนอแนะ

1. โครงสร้างของป่า

โครงสร้างของป่า พื้นที่ศึกษาประกอบด้วยไม้ฝาดดอกขาวเป็นพืชชนิดเด่น (98%) ประกอบด้วยไม้ใหญ่ 2 ชนิดคือ ฝาดดอกขาว และพังก้าหัวสูมดอกขาว ความหนาแน่นเฉลี่ยของไม้ใหญ่ ลูกไม้ และกล้าไม้ เท่ากับ 5,388 4,370 และ 16,860 ต้น/เฮกเตอร์ ตามลำดับ ต้นไม้ในพื้นที่ศึกษามีขนาดเส้นผ่าศูนย์กลางเฉลี่ย 6.6 เซนติเมตร ความสูงเฉลี่ย 7.2 เมตร มีปริมาตรไม้เฉลี่ย 127.57 ตันไม้มีเรือนยอดซิดกันแน่นและไม่มีการแบ่งระดับชั้นความสูงของไม้ใหญ่

2. ลักษณะบางประการของดินและน้ำในพื้นที่ศึกษา

คุณสมบัติทางกายภาพและทางเคมีของดินพบว่า เนื้อดินเป็นดินเหนียว อุณหภูมิอยู่ในช่วง 27-28 องศาเซลเซียส ความชื้นอยู่ในช่วง 50-87% ดินมีสภาพเป็นกรดແงโดยพีเอชดินสภาพสนานอยู่ในช่วงเป็นกรดรุนแรงถึงเป็นกรด (พีเอชอยู่ในช่วง 5.1-7.0) แต่เมื่อนำมาทำให้แห้งพบว่า ดินบางตัวอย่างกล้ายเป็นกรดจัดมาก (พีเอชต่ำกว่า 4.5) นอกจากนั้นยังพบว่ากำมะถันทั้งหมดในดินแห้งอยู่ในช่วง 0.2-1.0% ซึ่งในดินชั้นล่างมีกำมะถันทั้งหมดมากกว่าดินชั้นบน ดินอยู่ในสภาพขาดออกซิเจนมากถึงขาดเล็กน้อย (ค่าศักย์ไฟฟ้าอยู่ในช่วง (-192)-(+225) มิลลิโวลท์) ความเค็มดินอยู่ในระดับเค็มเล็กน้อยถึงเค็มปานกลาง โดยมีค่าการนำไฟฟ้าอยู่ในช่วง 2-6 มิลลิชีเมนต์/เซนติเมตร อินทรีย์ตออยู่ในช่วงปานกลางถึงสูงมาก แคลเซียมอยู่ในระดับต่ำ แมกนีเซียมและโพแทสเซียมอยู่ในระดับสูงมาก ในโครงน้ำทั้งหมดในดินชั้นบนมากกว่าดินชั้นล่าง

คุณสมบัติของน้ำในพื้นที่ศึกษาพบว่า น้ำติดต่อระยะเวลาการศึกษามีอุณหภูมิอยู่ในช่วง 27-32 องศาเซลเซียส ความเค็มน้ำติดต่อปีต่ำกว่า 12 พีพีทีและต่ำสุด 0 พีพีที ยกเว้นเดือนกรกฎาคมที่มีความเค็มสูงสุด (22 พีพีที) ในฤดูที่มีฝนตกหนักน้ำในลำคลองมีระดับสูงและไหลท่วมพื้นที่โดยในเดือนธันวาคมระดับน้ำกลางป่าท่วมสูงสุดประมาณ 1 เมตร

3. ผลผลิตจากการร่วงหล่นของชากรีช

ผลผลิตรวมของชากรีชตลอดปี 1,543 กรัม/น้ำหนักแห้ง/ตารางเมตร/ปี ชากรีชเป็นองค์ประกอบมากที่สุดรองลงไปเป็นชากรีด ชากริก และชากรอก ชากรีชรวมทั้งหมดและชากรีดรวม

ทั้งหมดมีสหสัมพันธ์เชิงบวกกับปริมาณไขมัน
การร่วงหล่นมากที่สุดในเดือนธันวาคมและมีปริมาณการร่วงหล่นน้อยที่สุดในเดือนกรกฎาคม ซากไปฝ่าดดอกขาวร่วงมากที่สุดในเดือนตุลาคมซึ่งเป็นช่วงต้นฤดูมรสุมตะวันออกเฉียงเหนือ ส่วนซากผลร่วงมากที่สุดในเดือนธันวาคมซึ่งเป็นช่วงฤดูมรสุมตะวันออกเฉียงเหนือที่มีฝนตกมาก เมื่อเปรียบเทียบความแตกต่างของค่าเฉลี่ยปริมาณองค์ประกอบของซากฝ่าดดอกขาวตามฤดูกาล คือฤดูฝนมาก (ตุลาคม–กุมภาพันธ์) ฤดูแล้ง (กุมภาพันธ์–พฤษภาคม) และฤดูฝนน้อย (พฤษภาคม–ตุลาคม) พบร่องรอยที่ร่วงหล่นในฤดูฝนน้อยมีปริมาณมากกว่าซากกิ่งที่ร่วงหล่นฤดูฝนมากอย่างมีนัยสำคัญ ($P < 0.05$) และซากผลที่ร่วงหล่นในฤดูฝนมากมีปริมาณมากกว่าซากผลในฤดูฝนน้อยและฤดูแล้งอย่างมีนัยสำคัญ ($P < 0.05$) ส่วนซากไปและซากดอกทั้ง 3 ฤดูกาลไม่มีความแตกต่างกันอย่างมีนัยสำคัญ นอกจากนี้พบว่าการร่วงหล่นของซากรวมของฝ่าดดอกขาวทุกองค์ประกอบและซากผลของฝ่าดดอกขาวมีสหสัมพันธ์ในเชิงบวกกับปริมาณฝน การร่วงหล่นของซากพืชอื่นประมาณ 16% ของซากพืชทั้งหมดและมีองค์ประกอบส่วนใหญ่เป็นซากไป เช่นเดียวกับซากฝ่าดดอกขาว แต่มีปริมาณน้อยมากเมื่อเปรียบเทียบกับปริมาณซากฝ่าดดอกขาวดังนั้นการเปลี่ยนแปลงตามฤดูกาลของซากพืชอื่นจึงไม่ชัดเจน

ธาตุในไปฝ่าดดอกขาวแก่สีเหลืองที่กำลังจะร่วงจากต้นมีองค์ประกอบของคาร์บอนมากที่สุด รองลงมาเป็นแคลเซียม โพแทสเซียม แมกนีเซียม ในตระเจน ฟอสฟอรัส และกำมะถันตามลำดับ ธาตุอาหารรวมที่ได้จากการผลิตซากพืชคำนวณจากปริมาณซากไปฝ่าดดอกขาวทั้งหมดในช่วง 1 ปี เป็น คาร์บอน 452.94 กรัม/ตารางเมตร แคลเซียม 27.15 กรัม/ตารางเมตร โพแทสเซียม 9.62 กรัม/ตารางเมตร แมกนีเซียม 7.70 กรัม/ตารางเมตร ในตระเจน 5.77 กรัม/ตารางเมตร ฟอสฟอรัส 0.43 กรัม/ตารางเมตร และกำมะถัน 2.46 กรัม/ตารางเมตร

4. การผุสลายของไปฝ่าดดอกขาว

ปริมาณการลดลงของซากไปฝ่าดดอกขาวในระหว่างการผุสลายมีการแปรผันตามฤดูกาลที่วางแผนตัวอย่าง โดยที่ฤดู D3 มีอัตราการผุสลายสูงสุด และที่ฤดู D2 มีอัตราการผุสลายต่ำสุด การผุสลายเกิดขึ้นอย่างรวดเร็วในช่วง 4 สัปดาห์แรกหลังจากช่วงนี้มีอัตราการผุสลายลดลง เปรียบเทียบความแตกต่างของอัตราการผุสลายของไปฝ่าดดอกขาวในแต่ละตำแหน่งที่วางแผนตัวอย่างพบว่าใน 4 สัปดาห์แรกน้ำหนักที่หายไปของไปฝ่าดดอก D3 มากกว่าฤดู D1 และฤดู D2 ($P < 0.05$) ส่วนฤดู D1 และฤดู D2 ไม่แตกต่างกัน นอกจากนี้ยังพบกลุ่มสัตว์หน้าดินเข้าไปอยู่ในถุงตัวอย่าง ได้แก่ หอยฝาเดียว หอยสองฝา โพลีชีด ตัวอ่อนแมลง ไอโซปอด และแมลงพิปอด ซึ่งมีมากในช่วง 7 เดือน

แรกของการทดลอง แต่เมื่อปริมาณซากพืชในถุงเหลือน้อยลงหรือน้ำบันพื้นดินที่วางถุงตัวอย่าง
แห้งไปก็พบสัตว์น้ำดินน้อยลง ลักษณะการผุ粟ลายของใบฝ่าดดอกขาวจากการศึกษาในครั้งนี้
เป็นไปตามแบบจำลองของปฏิกิริยาอันดับหนึ่ง $W_t = W_0 e^{-kt}$

5. การจัดการและการใช้ประโยชน์จากพื้นที่ศึกษา

พื้นที่ที่ทำการศึกษารังนี้ถูกครอบครองและเข้าไปจัดการดูแลโดยนายกริม เก้าวนวงศ์
โดยการตัดรากพืช เคาวัลย์ ปรงหนู เหงือกปลาหม้อ เป็นประจำปีละ 1 ครั้ง ในขณะนี้ไม่มีการตัดไม้
มาใช้หรือปลูกเพิ่มเติม เพราะมีต้นไม้ขึ้นอยู่อย่างหนาแน่นแล้ว ประโยชน์ที่ได้รับจากป่าไม้ฝ่าด
ดอกขาวในขณะนี้ใช้เป็นที่กำบังลมและคลื่น มีการเก็บยอด ผล และใบ จากต้นจากที่ขึ้นอยู่ในป่า
เก็บน้ำผึ้งป่าที่เข้ามาทำรังในถุงแล้ว ใช้เป็นทางเดินผ่านไปยังกระซังเลี้ยงปลากระเพงซึ่งอยู่ในบริเวณ
ใกล้เคียงและป่าแห่งนี้ยังเป็นที่อยู่ของนกและสัตว์น้ำบางชนิด

6. ข้อเสนอแนะ

จากการศึกษาวิจัยในครั้งนี้ พอจะสรุปเป็นข้อเสนอแนะเพื่อใช้เป็นแนวทางในการ
จัดการเกี่ยวกับป่าไม้ฝ่าดดอกขาวที่เป็นพื้นที่ศึกษาและป่าชายเลนของทะเลสาบสงขลา

1. ถ้าจะมีการตัดต้นไม้ในพื้นที่ศึกษาออกไปใช้ประโยชน์ควรจะมีการปลูกทดแทน
2. ควรจะมีการส่งเสริมการปลูกสร้างสวนป่าไม้ฝ่าดดอกขาวในพื้นที่บริเวณอื่นของ
ทะเลสาบสงขลาที่มีลักษณะเดียวกันหรือคล้ายคลึงกับพื้นที่ศึกษา เพื่อจะใช้ประโยชน์จากไม้ฝ่าด
ดอกขาว
3. กำหนดให้พื้นที่ศึกษาเป็นแหล่งศึกษาเรียนรู้ไม้ฝ่าดดอกขาว และเป็นแหล่งผลิต
เม็ดพันธุ์หรือกล้าไม้ฝ่าดดอกขาว

บรรณานุกรม

กิริม แก้วณรงค์. 2539. ผู้ให้สัมภาษณ์, 19 ตุลาคม 2539.

กองภูมิอักษร กรมคุณนิยมวิทยา. 2532. ภูมิอักษรแห่งประเทศไทย : กรมคุณนิยมวิทยา กระทรวง
คมนาคม.

เกื้อ ตระกูลกำจาย. 2536. "เปรียบเทียบการจัดการป่าชายเลนโดยองค์กรของรัฐกับองค์กรชาวบ้าน
ในอำเภอสิกา จังหวัดตรัง (Comparison of Management by Government Organization
to village Organization in Amphoe Sikao, Changwat Trang)", วิทยานิพนธ์
วิทยาศาสตรมหาบัณฑิต สาขาวิชาการจัดการสิ่งแวดล้อม มหาวิทยาลัยสงขลานครินทร์.

คณาจารย์ภาควิชาธรณีศาสตร์. 2539. คู่มือปฏิบัติการป้องกันภัยเบื้องต้น. ภาควิชาธรณีศาสตร์
คณะทรัพยากรธรรมชาติ มหาวิทยาลัยสงขลานครินทร์.

จิตต์ คงแสงไชย. 2534. "การศึกษาเรื่องดินและป่าไม้", ใน การสัมมนาระบบเศรษฐกิจป่าชายเลน
แห่งชาติ ครั้งที่ 7, 22 – 25 กรกฎาคม 2534 ณ โรงเรียนธรรมรินทร์ จังหวัดตรัง, หน้า III-4.
กรุงเทพฯ : สำนักงานคณะกรรมการวิจัยแห่งชาติ.

ชญา ณรงค์ฤทธิ์. 2536. "ผลกระทบจากการทำนาถูกในพื้นที่ป่าชายเลนต่อสมบัติของดิน" ใน
การสัมมนาระบบเศรษฐกิจป่าชายเลนแห่งชาติ ครั้งที่ 8, 25 – 28 สิงหาคม 2536 ณ โรงเรียน
วังใต้ จังหวัดสุราษฎร์ธานี, หน้า VI-6. กรุงเทพฯ : สำนักงานคณะกรรมการวิจัยแห่งชาติ.

ชญา ณรงค์ฤทธิ์, นัยนา ศรีชัย และจากรุวรรณ คำแก้ว. 2538. "การศึกษาคุณสมบัติบางประการของ
ดินและน้ำในพื้นที่นาถูกบริเวณอ่าวปัตตานี" ใน การสัมมนาระบบเศรษฐกิจป่าชายเลนแห่งชาติ
ครั้งที่ 9, 6 – 9 กันยายน 2538 ณ โรงเรียนภูเก็ตเมอร์ลิน จังหวัดภูเก็ต, หน้า V-05. กรุงเทพฯ
: สำนักงานคณะกรรมการวิจัยแห่งชาติ.

ชญา ณรงค์ฤทธิ์ และ นพรัตน์ บำรุงรักษ์. 2538. "การศึกษาคุณสมบัติของดินและการเจริญเติบโตของ
ต้นแสมมะเลทีปลูกบนหาดเลนใหม่ชายฝั่งอ่าวปัตตานี" ใน การสัมมนาระบบเศรษฐกิจ
ป่าชายเลนแห่งชาติ ครั้งที่ 9, 6 – 9 กันยายน 2538 ณ โรงเรียนภูเก็ตเมอร์ลิน จังหวัดภูเก็ต,
หน้า V-04. กรุงเทพฯ : สำนักงานคณะกรรมการวิจัยแห่งชาติ.

- ดุสิต เกษกิจ. 2534. "การปลูกป่าชายเลนของเอกชน : กรณีการปลูกสร้างสวนป่าไม้โคงกางใบเล็กที่บ้านยี่สาร จังหวัดสมุทรสงคราม", ใน การสัมมนาระบบนิเวศป่าชายเลนแห่งชาติ ครั้งที่ 7, 22 – 25 กรกฎาคม 2534 ณ โรงแรมธรรมรินทร์ จังหวัดตรัง, หน้า IV-7. กรุงเทพฯ : สำนักงานคณะกรรมการวิจัยแห่งชาติ.
- เต็ม สมิตินันท์. 2523. ชื่อพรรณไม้แห่งประเทศไทย (ชื่อพุกฤษศาสตร์ – ชื่อพื้นเมือง). กรุงเทพฯ : กรมป่าไม้.
- เทียมใจ คุณกฤต. 2536. โครงสร้างของป่าชายเลน. กรุงเทพฯ : ฉบับรัตน.
- บำรุง คุหา. 2526. "ผลผลิตและอัตราการสลายตัวของซากพืชในป่าชายเลนบริเวณใกล้พื้นที่ทำเหมืองแร่และป่าชายเลนธรรมชาติ จังหวัดระนอง (Litter Production and Decomposition Rates in Mangroves Adjacent to Mining Area and Natural Mangroves at Changwat Ranong)", วิทยานิพนธ์วิทยาศาสตร์ธรรมชาติ (วนศาสตร์) สาขาวัฒนวิทยา มหาวิทยาลัยเกษตรศาสตร์. (สำเนา)
- ประพันธ์ สัมพันธ์พานิช. 2537. "ลักษณะโครงสร้าง ปริมาณการร่วงหล่นและอัตราการสลายตัวของซากพืชในระบบสวนเกษตรแบบสวนบ้าน บริเวณอำเภอเมือง จังหวัดนนทบุรี (Structural Characteristic, Litterfall Production and Decomposition Rate in Homegarden Agroforestry System in Amphoe Muang, Changwat Nonthaburi)", วิทยานิพนธ์วิทยาศาสตร์ธรรมชาติ (วนศาสตร์) สาขาวัฒนวิทยา มหาวิทยาลัยเกษตรศาสตร์. (สำเนา)
- พัฒนาที่ดิน, กรม. กองสำรวจที่ดิน. 2523. คู่มือการจำแนกดินตามความเหมาะสมของดินสำหรับพืชเศรษฐกิจ. กรุงเทพฯ : กรมพัฒนาที่ดิน.
-
- _____ . กองวางแผนการใช้ที่ดิน. 2535. คู่มือการประเมินคุณภาพที่ดินสำหรับพืชเศรษฐกิจ ฉบับที่ 2. กรุงเทพฯ : กรมพัฒนาที่ดิน.
- ภิเศก สาลีกุล. 2540. "โครงสร้างของป่าชายเลนคลองขอนอม อำเภอขอนอม จังหวัดครรชีธรรมราช", ใน การสัมมนาระบบนิเวศป่าชายเลนแห่งชาติ ครั้งที่ 10, 25–28 สิงหาคม 2540 ณ โรงแรมเจ.บี. หาดใหญ่ จังหวัดสงขลา, หน้า V-5. กรุงเทพฯ : สำนักงานคณะกรรมการวิจัยแห่งชาติ.

เริงชัย ตันสกุล, นิธิ ฤทธิพันธ์, จาณุณี จันทร์ประมุข, เสาวภา อั้งสุกานิช, วิมลรัตน์ เกษมทรัพย์,
ชุติมา ตันติกิตติ และสมหมาย เชี่ยวารีสัจจะ. 2527. การศึกษาพันธุ์ป่าไม้ในประเทศไทย
สงขลา. สงขลา : คณะทรัพยากรธรรมชาติและคณะวิทยาศาสตร์ มหาวิทยาลัย
สงขลานครินทร์.

วิจารณ์ มีผล. 2537. "ระบบตัดฟันและการสืบพันธุ์ของป่าชายเลน อำเภอเมือง จังหวัดระนอง (Felling System and Regeneration of Mangrove Forests at Amphoe Muang, Changwat Ranong)", วิทยานิพนธ์วิทยาศาสตร์มหาบัณฑิต (วนศาสตร์) สาขาวัฒนาวิทยา
มหาวิทยาลัยเกษตรศาสตร์. (สำเนา).

วิจารณ์ มีผล. 2540. "ลักษณะโครงสร้างของป่าชายเลนคลองพะวงและคลองอู่ตะเภา", ใน การสัมมนา
ระบบนิเวศป่าชายเลนแห่งชาติ ครั้งที่ 10, 25-28 สิงหาคม 2540 ณ โรงเรียนเจ.บี.
หาดใหญ่ จังหวัดสงขลา, หน้า II-10. กรุงเทพฯ : สำนักงานคณะกรรมการวิจัยแห่งชาติ.

ศิริพร วรกุลดำรงชัย. 2540. "อิทธิของน้ำและดินต่อการอนุรักษ์ป่าชายเลนและการเจริญ
เติบโตของไม้ป่าชายเลน บริเวณอ่าวคุ้งกระเบน จังหวัดจันทบุรี" ใน การสัมมนาระบบนิเวศ
ป่าชายเลนแห่งชาติ ครั้งที่ 10, 25 – 28 สิงหาคม 2540 ณ โรงเรียน เจ.บี. หาดใหญ่
จังหวัดสงขลา, หน้า I-1. กรุงเทพฯ : สำนักงานคณะกรรมการวิจัยแห่งชาติ.

สง่า สรรพศรี, สนิท อักcharแก้ว, จิตต์ คงแสงไชย, ประจิม สรสีณลีอง, เพ็ญ ธรรมโชติ,
โสภณ หวานนท์ และนวศิริ ธรรมโชติ. 2530. รายงานการวิจัยการศึกษาสังคมป่า
ชายเลนในประเทศไทย โดยวิธีการจัดหมวดหมู่และการวิเคราะห์ศักยภาพ. รายงาน
ฉบับสมบูรณ์. กรุงเทพฯ : สำนักงานคณะกรรมการวิจัยแห่งชาติ, อ้างถึงใน
สนิท อักcharแก้ว. 2532. ป่าชายเลน...นิเวศวิทยาและการจัดการ. กรุงเทพฯ :
คอมพิวเตอร์ไทยซิค.

สนิท อักcharแก้ว. 2532. ป่าชายเลน...นิเวศวิทยาและการจัดการ. กรุงเทพฯ : คอมพิวเตอร์ไทยซิค.
สนิท อักcharแก้ว, กอร์don เอส เมกซ์เวลล์, สนิจ หวานนท์ และสมชาย พานิชสุข. 2535. พันธุ์ไม้
ป่าชายเลน. กรุงเทพฯ : ฉบับปรับ.

สนิท อักcharแก้ว, จิตต์ คงแสงไชย และ วิพัคตร์ จินตนา. 2530. "ความสมดุลทางนิเวศวิทยา
และกำลังผลิตของป่าชายเลนในประเทศไทย", วารสารวิทยาศาสตร์. 6 : 160–187.

สนใจ หวานนท์, จิระศักดิ์ ภูความดี, อภิรักษ์, อนันต์ศิริวัฒน์ และ วิจารณ์ มีผล. 2538. "การศึกษาลักษณะโครงสร้างของป่าชายเลน จังหวัดสมุทรสงคราม", ใน การสัมมนาระบบบินเวศป่าชายเลนแห่งชาติ ครั้งที่ 9, 6 – 9 กันยายน 2538 ณ โรงแรมภูเก็ตเมอร์ลิน จังหวัดภูเก็ต, หน้า III-02. กรุงเทพฯ : สำนักงานคณะกรรมการวิจัยแห่งชาติ.

สมศักดิ์ มนีพงศ์. 2537. การวิเคราะห์ดินและพืช. สงขลา : ภาควิชาธรณีศาสตร์ คณะทรัพยากริมทะเล มหาวิทยาลัยสงขลานครินทร์.

สุราติ เพชรแก้ว. 2540. "แนวทางการจัดการพื้นที่ป่าชายเลนในอำเภอยะหริ่ง จังหวัดปัตตานี"

- (Guideline for Mangrove Area Management in Amphoe Yaring, Changwat Pattani)", วิทยานิพนธ์วิทยาศาสตร์บัณฑิต สาขาวิชาการจัดการสิ่งแวดล้อม มหาวิทยาลัยสงขลานครินทร์.

สุรีย์ ภูมิภนร และ อนันต์ คำคง. 2540. ไม้อเนกประสงค์กินได้. กรุงเทพฯ : เพื่องฟ้า.

โสกณ หวานนท์, รักชาติ สุสำราญ และ มงคล ไนมุก็. 2538. "การศึกษาลักษณะโครงสร้างและผลผลิตของป่าชายเลนที่ผ่านการทำไม้ในท้องที่จังหวัดระนอง", ใน การสัมมนาระบบบินเวศป่าชายเลนแห่งชาติ ครั้งที่ 9, 6 – 9 กันยายน 2538 ณ โรงแรมภูเก็ตเมอร์ลิน จังหวัดภูเก็ต, หน้า IV-04 กรุงเทพฯ : สำนักงานคณะกรรมการวิจัยแห่งชาติ.

อภิรดี อิ่มเอิบ. 2533. "การประเมินบทบาทและความสำคัญของธาตุอาหารพืช", วารสารอนุรักษ์ดินและน้ำ. 6 : 2-32.

_____ . 2534. "การตรวจสอบดิน", วารสารอนุรักษ์ดินและน้ำ. 7 : 5-27.

อังสุนีย์ ชุมประภาน, จุฬาภรณ์ รัตนไชย และ อาภรณ์ มีญาณนร. 2539. ประเมินผลกระทบต่อสัตว์น้ำจากหะเหล็กบนสงขลา ปี 2537 – 2538. เอกสารวิชาการฉบับที่ 4/2539. สงขลา : สถาบันวิจัยการเพาะเลี้ยงสัตว์น้ำชายฝั่ง.

อินทิรา หาญพงษ์พันธ์. 2538. เมืองท้าวไป. กรุงเทพฯ : สำนักพิมพ์จุฬาลงกรณ์มหาวิทยาลัย.

Aksornkoae, S. ; Iampa, P. and Kooha, B. 1982. "A comparison of structure characteristics of mangrove forest near mining area and undisturbed natural mangrove forest in Ranong", In NRCT-JSPS Rattanakosin Bicentennial Joint Seminar on Science and Mangrove Resources Proceedings 2-6 August 1982 Phuket Merlin hotel, pp. 149–163. Phuket.

- Aksornkoae, S. and Khemnark, C. 1984. "Nutrient cycling in mangrove forest of Thailand", In Proc. Asian Symp. Mangr. Environ. Res. Manage., pp.545–557. Soepadmo, E. ; Rao, A.N. and Macintosh, D.J.,eds. Kuala Lumpur : Univ. Malaya.
- Aksornkoae, S. ; Arirob, W. ; Boto, K. G. ; Chan, H. T. ; Chong, P. F. ; Clough, B. F. ; Gong, W. K. ; Hardjowigeno, S. ; Havanond, S. ; Jintana, V. ; Khemnark, C. ; Kongsangchai, J. ; Limpiyaprapant, S. ; Muksombut, S. ; Ong, J. E. ; Samarakoon, A. B. and Supappibul, K. 1991. "Soils and forestry studies", In Final Report of the Integrated Multidisciplinary Survey and Research Programme of the Ranong Mangrove Ecosystem, pp.35-81. Macintosh, D.J. ; Aksornkoae, S. ; Vannucci, M. ; Field, C.D. ; Clough, B.F. ; Kjerfve, B. ; Paphavasit, N. and Wattayakorn, G. eds. Bangkok : Funny Publishing.
- Albright, L.J. 1976. "In situ degradation of mangrove tissues (note)", N. Z. J. Mar. Freshwat. Res. 10 : 385-389.
- Angsupanich, S. and Aksornkoae, S. 1994a. "Decomposition of mangrove leaf litter in Phang-nga Bay, Southern Thailand", Tropics. 4 : 41-47.
- _____. 1994b. "Mangrove litter production and decomposition at Phang-nga Bay and Ban Don Bay, Thailand", In Proceedings, Third ASEAN-Australia Symposium on Living Coastal Resources, Vol. 2: Research Papers, pp.405–412. Sudara, S., ; Wilkinson, C.R. and Chou, L.M. eds. Bangkok : Chulalongkorn University.
- _____. 1994c. "Mangrove litter production in Phang-nga Bay, Southern Thailand", Tropics. 4 : 35-40.
- Angsupanich, S. ; Miyoshi, H. and Hata, Y. 1989. "Characteristics of bacteria isolated from mangrove estuary of Nakama River, Iriomote Island, Okinawa", Nihon Biseibutsu Gakkaiho. 3 : 59-66.
- _____. 1989. "Degradation of mangrove leaves immersed in the estuary of Nakama River, Okinawa", Nippon Suisan Gakkaishi. 55 : 147-151.

- Boonruang, P. 1978. "The degradation rates of mangrove leaves of *Rhizophora apiculata* (Bl.) and *Avicennia marina* (Forsk.) Vierh. at Phuket Island, Thailand", Phuket Mar. Biol. Center Res. Bull. 26 : 1-7.
- Bremner, J.M. and Mulvaney, C.S. 1982. "Nitrogen-Total" In Methods of Soil Analysis, Part 2 Chemical and Microbiological Properties – Agronomy Monograph no. 9 (2d edition), pp. 595-624. Page, A.L. ed. Winconsin : Madison.
- Brown, S. and Lugo, A.E. 1982. "A comparison of structural and functional characteristic of saltwater and freshwater wetlands", In Wetlands Ecology and Management, pp. 109-130. Gopal, B. ; Turner, R. and Wetzel, R. eds. Jaipur : International Scientific Publisher, quoted in Twilley, R.R. 1998. "Mangrove Wetlands", In Southern Forested Wetlands, pp.445-473. Messina, M. G. and Conner W.H. eds. New York : Lewis publishers.
- Bunt, J.S. 1978. "The mangrove of the eastern of Cape York peninsula north of Cooktown. Great Barrier Reef", Mar. Park Author. Working Paper. 1 : 253–269.
- Camilleri, J.C. and Ribi, G. 1986. "Leaching of dissolved organic carbon (DOC) from dead leaves, formation of flakes from DOC and feeding on flakes by crustaceans in mangroves", Mar. Biol. 91 : 337-344.
- Chansang, S. and Poovachiranon, S. 1990. "The fate of mangrove litter in a mangrove forest on Ko Yao Yai, southern Thailand", Phuket mar. biol. Center Res. Bull. 54 : 33-46.
- Chapman, V.J. 1976. Mangrove Vegetation. Vaduz : J. Cramer.
- Christensen, B. 1978. "Biomass and primary production of *Rhizophora apiculata* Bl. in a mangrove in Southern Thailand", Aquat. Bot. 4 : 43–52.
- Christensen, B. and Wium-Andersen, S. 1977. "Seasonal growth of mangrove trees in southern Thailand. I. The phenology of *Rhizophora apiculata* Bl.", Aquat. Bot. 3 : 281-286.

- Cundell, A.M. ; Brown, M.S. ; Stanford, R. and Mitchell, R. 1979. "Microbial degradation of *Rhizophora mangle* leaves immersed in the sea", Estuar. Coast. Mar. Sci. 9 : 281-286.
- Day, Jr.J.W. ; Coronado-Molina, C. ; Vera-Herrera, F.R. ; Twilley, R. ; Rivera-Monroy, V.H. ; Alvarez-Guillen, H. ; Day, R. and Conner, W. 1996. "A 7 year record of above-ground net primary production in a southeastern Mexican mangrove forest", Aquat. Bot. 55 : 39-60.
- de Leon, R.O.D. ; Nuique, J.A.U. and Raymundo, R.J. 1994. "Leaf litter decomposition of *Rhizophora apiculata* Blume and *R. mucronata* Lamarck in Bais Bay, Negros Oriental, Philippines", In Proceedings, Third ASEAN-Australia Symposium on Living Coastal Resources, Vol. 2: Research Papers, pp.413-421. Sudara, S. ; Wilkinson, C.R. and Chou, L.M. eds. Bangkok : Chulalongkorn University.
- English, S. ; Wilkinson, C. and Baker, V. eds. 1994. Survey Manual for Tropical Marine Resources. Townsville : Australian Institute of Marine Science.
- Food and Agriculture Organization of the United Nations ; FAO. 1994. Mangrove Forest management guidelines. FAO forestry paper 117 Rome.
- Gee, G.W. and Bauder J.W. 1986. "Particle – Size Analysis", In Methods of Soil Analysis, Part 1 Physical and Mineralogical Methods-Agronomy Monograph no. 9 (2d edition), pp.383–412. Klute, A. ed. Winconsin : Madison.
- Goulter, P. F. E. and Allaway, W. G. 1979. "Litter Fall and Decomposition in a Mangrove Stand, *Avicennia marina* (Forsk.) Vierh., in Middle Harbour, Sydney", Aust. J. Mar. Freshwat. Res. 30 : 541-546.
- Heald, E.T. 1969. The production of organic detritus in a south Florida estuary. Ph.D. dissertation, University of Miami., quoted in Cundell, A.M. ; Brown, M.S. ; Stanford, R. and Mitchell, R. 1979. "Microbial degradation of *Rhizophora mangle* leaves immersed in the sea", Estuar. Coast. Mar. Sci. 9 : 281-286.

- Hutchings, P. and Saenger, P. 1987. Ecology of mangroves. St Lucia : University of Queensland Press, quoted in Twilley, R.R. ; Pozo, M. ; Garcia, V.H. ; Rivera- Monroy, V.H. ; Zambrano, R. and Bodero, A. 1997. "Litter dynamics in riverine mangrove forests in the Guayas River estuary, Ecuador", Oecologia. 111 : 109-122.
- Karam, A. 1993. "Chapter 44 chemical properties of organic soils", In Soil Sampling and Methods of Analysis, pp.459–471. Carter, M.R. ed. London : Lewis Publishers.
- Kira, T. ; Ogawa, H. ; Yoda, K. and Ogino, K. 1967. "Comparative ecological studies on three main types of vegetation in Thailand. IV. Dry matter production with special reference to the Khao Chong rain forest. Nature and Life in South East Asia. 5 : 149–174., อ้างถึงใน บำรุง คุหา. 2526. "ผลผลิตและอัตราการสลายตัวของซากพืชในป่าชายเลนบริเวณใกล้พื้นที่ทำเหมืองแร่และป่าชายเลนธรรมชาติ จังหวัด Ranong (Litter Production and Decomposition Rates in Mangroves Adjacent to Mining Area and Natural Mangroves at Changwat Ranong)", วิทยานิพนธ์วิทยาศาสตร์ มหาบัณฑิต (วนศาสตร์) สาขาวัฒนวิทยา มหาวิทยาลัยเกษตรศาสตร์. (สำเนา)
- Knudsen, D.; Peterson G.A. and Pratt, P.F. 1982. "Lithium, Sodium, and Potassium", In Methods of Soil Analysis, Part 2 Chemical and Microbiological Properties – Agronomy Monograph no. 9 (2d edition), pp.225–246. Page, A.L. ed. Winconsin : Madison.
- Kongsangchai, J. 1988. Forest Ecological Study of Mangrove Silviculture. Ph.D. Thesis, Kyoto Univ., Japan. อ้างถึงใน วิจารณ์ มีผล. 2540. "ลักษณะโครงสร้างของป่าชายเลน คลองพะวงและคลองคู่ตະเกา", ใน การสัมมนาระบบนิเวศป่าชายเลนแห่งชาติ ครั้งที่ 10, 25-28 สิงหาคม 2540 ณ โรงเรียนเจ.บี. หาดใหญ่ จังหวัดสงขลา, หน้า II-10. กรุงเทพฯ : สำนักงานคณะกรรมการวิจัยแห่งชาติ.
- Lanyon, L.E. and Heald, W.R. 1982. "Magnesium, Calcium, Strontium, and Barium", In Methods of Soil Analysis, Part 2 Chemical and Microbiological Properties – Agronomy Monograph no. 9 (2d edition), pp.246-262. Page, A.L. ed. Winconsin : Madison.

Leach, G. J. and Burgin, S. 1985. "Litter production and seasonality of mangroves in Papua New Guinea", Aquat. Bot. 23 : 215-224.

Lee, S.Y. 1989. "Litter production and turnover of the mangrove *Kandelia candel* (L.) Druce in a Hong Kong tidal shrimp pond", Estuar. Coast. Shelf Sci. 29 : 75-87.

Lugo, A. E. and Snedaker, S.C. 1974. The Ecology of Mangroves. Ann. Rev. System. 5: 39-64., quoted in Woodroffe, C. 1992. "Mangrove sediments and geomorphology", In Tropical Mangrove Ecosystems, pp.7-41. Robertson, A.I. and Alongi, D.M. (eds.) Washington D.C. : American Geophysical Union.

McLean, E.O. 1982. "Soil pH and Lime Requirement", In Methods of Soil Analysis, Part 2 Chemical and Microbiological Properties-Agronomy Monograph no. 9 (2d edition), pp.199-224. Page, A.L. ed. Winconsin : Madison.

Ministry of Agriculture and Forestry. 1987. Methods of Soil Nutrient Analysis. Tokyo : Yorando. Japan. (in Japanese).

Odum, W.E. 1970. Pathways of energy flow in a south Florida estuary. Ph.D. dissertation, University of Miami., quoted in Cundell, A.M. ; Brown, M.S. ; Stanford, R. and Mitchell, R. 1979. "Microbial degradation of *Rhizophora mangle* leaves immersed in the sea", Estuar. Coast. Mar. Sci. 9 : 281-286.

Odum, W.E. and Heald, E.J. 1972. "Trophic analysis of an estuarine mangrove Bull. Mar. Sci. 22 : 671-738, quoted in Twilley, R.R. 1995. "Properties of mangrove ecosystems related to the energy signature of coastal environments", In Maximum Power the Ideas and Applications of H.T. Odum. pp.43-62. Hall, C.A.H. ed. Colorado : the University Press of Colorado.

Olsen, S. R. and Sommers, L.E. 1982. "Phosphorus", In Methods of Soil Analysis, Part 2 Chemical and Microbiological Properties-Agronomy Monograph no. 9 (2d edition), pp.403-430. Page, A.L. ed. Winconsin : Madison.

- Pool, D.J. ; Lugo, A.E. and Snedaker, S.C. 1975. "Litter production in mangrove forests of southern Florida and Puerto Rico", In Proceedings of the International Symposium on Biology and Management of Mangroves, pp.213-237. Walsh, G.E. ; Snedaker, S.C. and Teas, H.J. eds. Gainesville : Florida.
- Poovachiranon, S. and Chansang, H. 1982. "Structure of Ao Yon Mangrove Forest (Thailand) and Its Contribution to the Coastal Ecosystem", In Proc. of Biotrop Symp. on Mangrove Forest Ecosystem Productivity of Southeast Asia, pp.101-111.
- Kostermans, A.Y. and Sastroutomo, S.S. eds. Biotrop Special Publication, ชั้งถึง ใน สนิท อั้งชราแก้ว. 2532. ป่าชายเลน... นิเวศวิทยาและการจัดการ. กรุงเทพฯ : คอมพิวเตอร์ไฮซิ่งค์.
- Poovachiranon, S. and Tantichodok, P. 1991. "The role of sesarmid crabs in the mineralization of leaf litter of *Rhizophora apiculata* in a mangrove forest, Southern Thailand", Phuket Mar. biol. Center Res. Bull. 56 : 63-74.
- Poovachiranon, S. ; Boto, K.G. and Duke, N.E. 1986. "Food preference studies and ingestion rate measurements of the mangrove amphipod *Parhyale hawaiensis* (Dana)", J. Exp. Mar. Biol. Ecol. 98 : 129-140.
- Rice, D.L. and Tenore, K.R. 1981. "Dynamics of carbon and nitrogen during the decomposition of detritus derived from estuarine macrophytes", Estuar. Coast. Shelf Sci. 13 : 681-690.
- Robertson, A. I. 1988. "Decomposition of mangrove leaf litter in tropical Australia", J. Exp. Mar. Biol. Ecol. 116 : 235-247.
- Rhoades, J.D. 1982. "Soluble Salts", In Methods of Soil Analysis, Part 2 Chemical and Microbiological Properties-Agronomy Monograph no. 9 (2d edition), pp.172-183. Page, A.L. ed. Winconsin : Madison.
- Saenger, P. and Snedaker, S.C. 1993. "Pantropical trends in mangrove above-ground biomass and annual litterfall", Oecologia. 96 : 293-299.

- Saifullah, S.M. ; Khafaji, A.K. and Mandura, A.S. 1989. "Litter production in a mangrove stand of the Saudi Arabian Red Sea Coast", Aquat. Bot. 36 : 79-86.
- Sasekumar, A. and Loi, J.J. 1983. "Litter production in three mangrove forest zones in the Malay Peninsula", Aquat. Bot. 17 : 283-290.
- Sessegolo, G.C. and Lana, P.C. 1991. "Decomposition of *Rhizophora mangle*, *Avicennia schaueriana* and *Laguncularia racemosa* leaves in a mangrove of Paranaguá Bay (Southeastern Brazil)", Botanica Marina. 34 : 285-289.
- Sirimontaporn, P., Nitithamyong, C. and Angsupanich, S. 1995. "The niche of fish and shellfish in Thale Sap Songkhla, Southern Thailand", J. ISSAAS. 1 : 40-55.
- Soeroyo and Atmadja, W.S. 1994. "Studies on mangrove litter fall and nutrient content of litter in Handeuleum, West Java", In Proceedings, Third ASEAN-Australia Symposium on Living Coastal Resources, Vol. 2: Research Papers, pp.399-403. Sudara, S. ; Wilkinson, C.R. and Chou, L.M. eds. Bangkok : Chulalongkorn University.
- Steinke, T.D. and Charles, L.M. 1986. "Litter production by mangroves. I: Mgeni Estuary", S. Afr. J. Bot. S. Afr. Tydskr. Plantkd. 52 : 552-558.
- Steinke, T.D. and Ward, C.J. 1988. "Litter production by mangroves. II: St Lucia and Richards Bay", S. Afr. J. Bot. S. Afr. Tydskr. Plantkd. 54 : 445-454.
- Steinke, T.D. and Ward, C.J. 1990. "Litter production by mangroves. III: Wavecrest (Transkei) with predictions for other Transkei estuaries", S. Afr. J. Bot. S. Afr. Tydskr. Plantkd. 56 : 514-519.
- Tabatabai, M. A. 1982. "Sulfur" In Methods of Soil Analysis, Part 2 Chemical and Microbiological Properties-Agronomy Monograph no. 9 (2d edition), pp.501-538. Page, A.L. ed. Winconsin : Madison.
- Taylor, S.A. and Jackson, R. D. 1986. "Temperature in Soil", In Methods of Soil Analysis, Part 1 Physical and Mineralogical Methods-Agronomy Monograph no. 9 (2d edition), pp.927-940. Klute, A. ed. Winconsin : Madison.

- Tomlinson, P.B. 1986. The botany of mangroves. New York : Cambridge University Press.
- Topp, G.C. 1993. "Chapter 51 soil water content", In Soil Sampling and Methods of Analysis, pp.541–557. Carter, M.R. ed. London : Lewis publishers.
- Twilley, R.R. 1988. "Coupling of mangroves to the productivity of estuarine and coastal waters", In Coastal-Offshore Ecosystem Interaction, pp.155–180. Jansson, B.O. ed. Springer-Verlag. Germany.
- Twilley, R.R. 1995. "Properties of mangrove ecosystems related to the energy signature of coastal environments", In Maximum Power the Ideas and Applications of H.T. Odum, pp.43–62. Hall, C.A.H. ed. Colorado : the University Press of Colorado.
- Twilley, R.R. 1998. "Mangrove Wetlands", In Southern Forested Wetlands, pp.445-473. Messina, M. G. and Conner W.H. eds. New York : Lewis publishers.
- Twilley, R.R. ; Chen, R.H. and Hargis, T. 1992. "Carbon sink in mangroves and their implications to carbon budget of tropical coastal ecosystems" In Water, Air, and Soil Pollution, pp.265–288. Netherlands : Kluwer Academic Publishers.
- Twilley, R.R. ; Lugo, A.E. and Patterson-Zucca, C. 1986. "Litter production and turnover in basin mangrove forests in Southwest Florida", Ecology. 67 : 670–683.
- Twilley, R.R. ; Pozo, M. ; Garcia, V.H. ; Rivera-Monroy, V.H. ; Zambrano, R. and Bodero, A. 1997. "Litter dynamics in riverine mangrove forests in the Guayas River estuary, Ecuador", Oecologia. 111 : 109-122.
- Valiela, I. ; Teal, J.M. ; Allen, S.D. ; Etten, R.V. ; Goehringer, D. and Volkmann, S. 1985. "Decomposition in salt marsh ecosystems: the phases and major factors affecting disappearance of above-ground organic matter", J. Exp. Mar. Biol. Ecol. 89 : 29-54.
- Van Der Valk, A.G. and Attiwill, P.M. 1984. "Decomposition of leaf and root litter of *Avicennia marina* at Westernport Bay, Victoria, Australia", Aquat. Bot. 18 : 205–221.
- Wafar, S. ; Untawale, A.G. and Wafar, M. 1997. "Litter fall and energy flux in a mangrove ecosystem", Estuar. Coast. Shelf Sci. 44 : 111-124.

- Walkley, A. and Black, I.A. 1934. "An examination of the pegtareff method for determining soil organic matter and a proposed modification of chromic acid titration method", Soil Sci. 37 : 29-38.
- Williams, W.T.; Bunt, J.S. and Duke, N.C. 1981. "Mangrove litter fall in North-eastern Australia. II. Periodicity", Aust. J. Bot. 29 : 555-563.
- Woodroffe, C.D. 1982. "Litter production and decomposition in the New Zealand mangrove, *Avicennia marina* var. *resinifera*", N. Z. J. Mar. Freshwat. Res. 16 : 179-188.
- Woodroffe, C. 1992. "Mangrove sediments and geomorphology", In Tropical Mangrove Ecosystems, pp.7-41. Robertson, A.I. and Alongi, D.M. (eds.) Washington D.C. : American Geophysical Union.
- Woodroffe, C.D. 1985. "Studies of a mangrove basin, Tuff Crater, New Zealand: I. mangrove biomass and Production of Detritus", Estuar. Coast. Shelf Sci. 20 : 265-280.
- Woodroffe, C.D. and Moss, T.J. 1984. "Litter fall beneath *Rhizophora stylosa* Griff., Vaitupu, Tuvalu, South Pacific", Aquat. Bot. 18 : 249-255.
- Woodroffe, C.D. ; Bardsley, K. N. ; Ward, P.J. and Hanley, J.R. 1988. "Production of mangrove litter in a macrotidal embayment, Darwin Harbour, N. T., Australia", Estuar. Coast. Shelf Sci. 26 : 581-598.

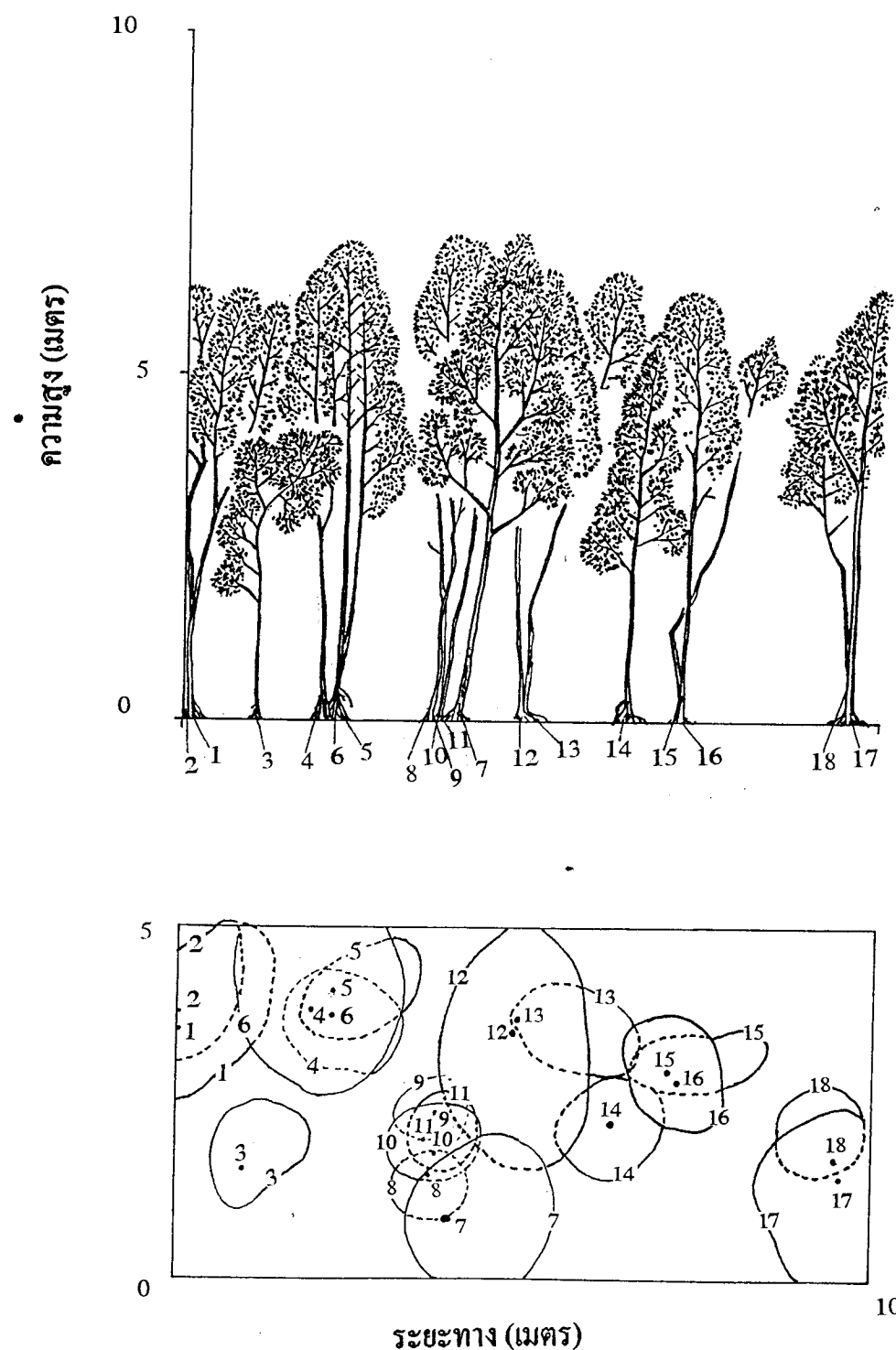
ภาคผนวก

ภาคผนวก ก.

โครงสร้างป่าไม้

ตารางผนวก 1 ชนิด ขนาดเส้นผ่าศูนย์กลางเพียงออกและความสูง ของต้นไม้ ในแปลงตัวอย่าง
ขนาด 5×10 ตารางเมตร ในแนว A ประกอบการเขียนโครงสร้างการแบ่งชั้น
ความสูงของพืชตามแนวดิ่ง (profile diagram)

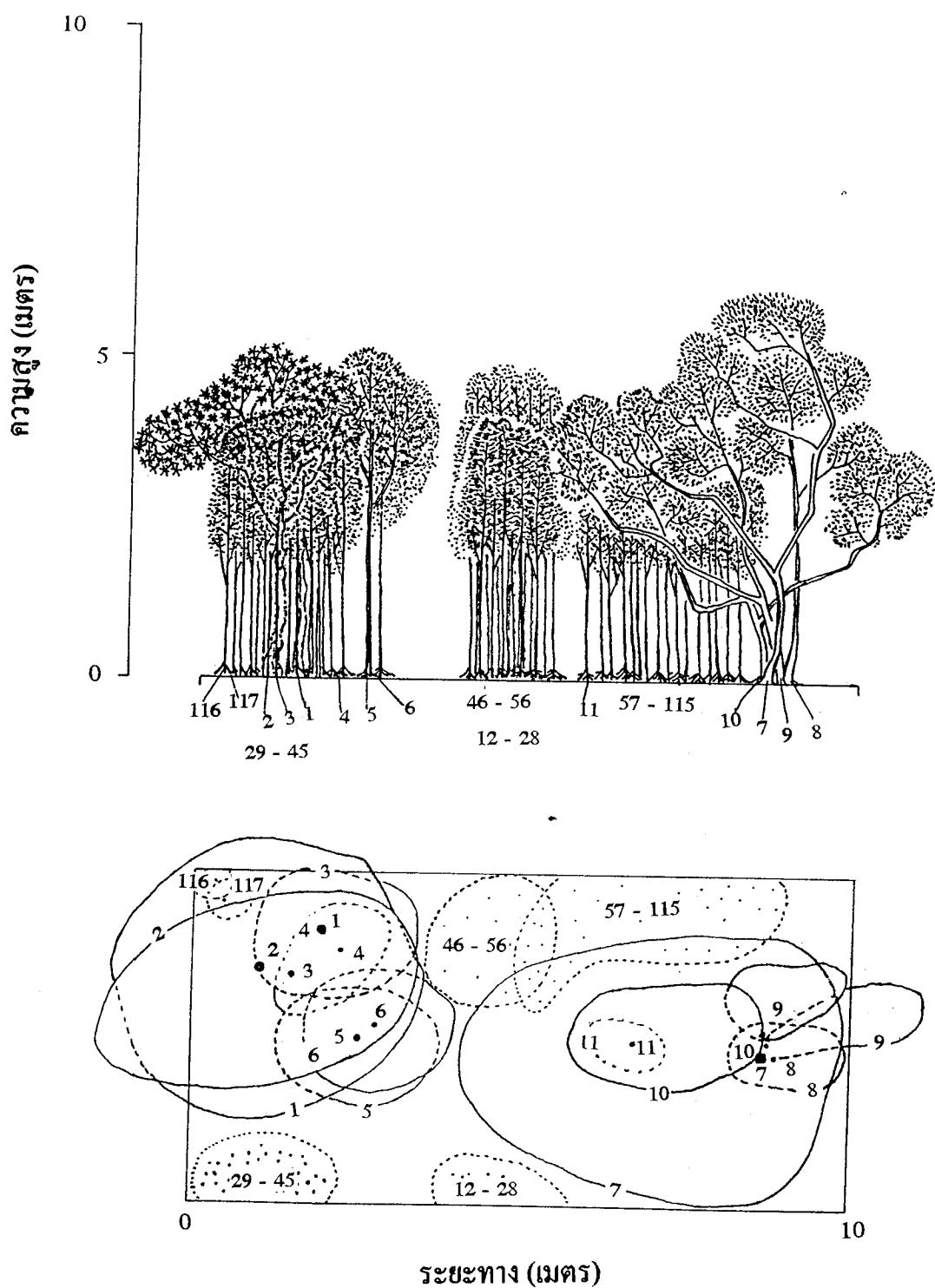
ลำดับ	ชนิด	ชื่อวิทยาศาสตร์	ขนาดเส้นผ่าศูนย์กลาง	ความสูง
			เพียงออก (เซนติเมตร)	(เมตร)
1	ฝ่าดดอกขาว	<i>Lumnitzera racemosa</i>	7.4	6.3
2	ฝ่าดดอกขาว	<i>L. racemosa</i>	8.0	6.3
3	ฝ่าดดอกขาว	<i>L. racemosa</i>	2.9	4.0
4	ฝ่าดดอกขาว	<i>L. racemosa</i>	7.0	6.5
5	ฝ่าดดอกขาว	<i>L. racemosa</i>	4.4	7.0
6	ฝ่าดดอกขาว	<i>L. racemosa</i>	3.2	6.0
7	ฝ่าดดอกขาว	<i>L. racemosa</i>	5.7	7.0
8	ฝ่าดดอกขาว	<i>L. racemosa</i>	3.3	5.0
9	ฝ่าดดอกขาว	<i>L. racemosa</i>	5.9	7.0
10	ฝ่าดดอกขาว	<i>L. racemosa</i>	6.5	7.0
11	ฝ่าดดอกขาว	<i>L. racemosa</i>	5.1	7.0
12	ฝ่าดดอกขาว	<i>L. racemosa</i>	7.3	6.5
13	ฝ่าดดอกขาว	<i>L. racemosa</i>	9.4	6.5
14	ฝ่าดดอกขาว	<i>L. racemosa</i>	3.7	5.2
15	ฝ่าดดอกขาว	<i>L. racemosa</i>	3.5	5.1
16	ฝ่าดดอกขาว	<i>L. racemosa</i>	4.9	6.2
17	ฝ่าดดอกขาว	<i>L. racemosa</i>	4.8	6.1
18	ฝ่าดดอกขาว	<i>L. racemosa</i>	3.5	6.1



ภาพประกอบพนวก 1 การจัดซึ่งของเรือนยอดตามแนวตั้ง (Profile diagram) ของป่าไม้ฝาดดอกขาว
แนว A ในแปลงตัวอย่าง ขนาด 5×10 ตารางเมตร

ตารางผนวก 2 ชนิด ขนาดเส้นผ่าศูนย์กลางเพียงอกและความสูง ของต้นไม้ ในแปลงตัวอย่าง
ขนาด 5×10 ตารางเมตร ในแนว B ประกอบการเขียนโครงสร้างการเปลี่ยน
ความสูงของพืชตามแนวตั้ง (profile diagram)

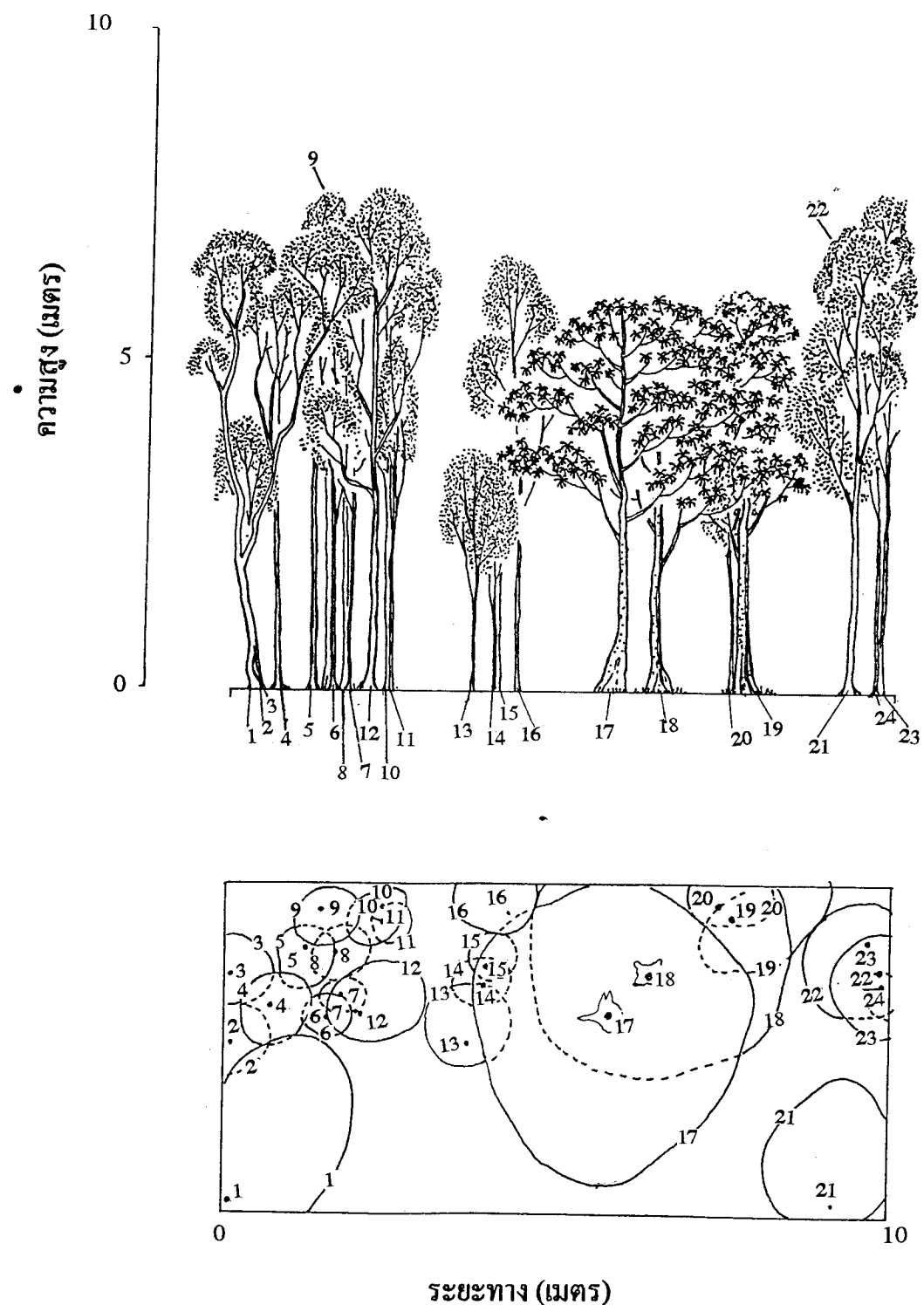
ลำดับ	ชนิด	ชื่อวิทยาศาสตร์	ขนาดเส้นผ่าศูนย์กลาง	ความสูง
			เพียงอก (เซนติเมตร)	(เมตร)
1	พังก้าหัวสูมดอกขาว	<i>Bruguiera sexangula</i>	6.5	4.5
2	พังก้าหัวสูมดอกขาว	<i>B. sexangula</i>	8.4	5.0
3	พังก้าหัวสูมดอกขาว	<i>B. sexangula</i>	8.1	4.5
4	ฝ่าดดอกขาว	<i>L. racemosa</i>	5.6	5.0
5	ฝ่าดดอกขาว	<i>L. racemosa</i>	6.4	5.0
6	ฝ่าดดอกขาว	<i>L. racemosa</i>	4.6	4.5
7	ฝ่าดดอกขาว	<i>L. racemosa</i>	1.9	4.5
8	ฝ่าดดอกขาว	<i>L. racemosa</i>	2.1	4.0
9	ฝ่าดดอกขาว	<i>L. racemosa</i>	1.8	4.0
10	ฝ่าดดอกขาว	<i>L. racemosa</i>	2.7	5.0
11	ฝ่าดดอกขาว	<i>L. racemosa</i>	3.0	5.0
12 - 28	ฝ่าดดอกขาว	<i>L. racemosa</i>	1.3 - 2.7	2.5 - 5.0
29 - 45	ฝ่าดดอกขาว	<i>L. racemosa</i>	1.3 - 2.9	2.0 - 4.5
46 - 56	ฝ่าดดอกขาว	<i>L. racemosa</i>	1.4 - 4.3	3.0 - 5.0
57 - 115	ฝ่าดดอกขาว	<i>L. racemosa</i>	1.3 - 3.2	2.5 - 4.5
116	ฝ่าดดอกขาว	<i>L. racemosa</i>	4.0	5.5
117	ฝ่าดดอกขาว	<i>L. racemosa</i>	3.7	5.5



ภาพประกอบผนวก 2 การจัดซึ่งของเรือนยอดตามแนวตั้ง (Profile diagram) ของป่าไม้ฝาดอกรขาว
แห่ง B ในแปลงตัวอย่าง ขนาด 5×10 ตารางเมตร

ตารางผนวก 3 ชนิด ขนาดเส้นผ่าศูนย์กลางเพียงออกและความสูง ของต้นไม้ ในแปลงตัวอย่าง
ขนาด 5×10 ตารางเมตร ในแนว C ประกอบการเขียนโครงสร้างการเปลี่ยน
ความสูงของพืชตามแนวตั้ง (profile diagram)

ลำดับ	ชนิด	ชื่อวิทยาศาสตร์	ขนาดเส้นผ่าศูนย์กลาง เพียงออก (เซนติเมตร)	ความสูง (เมตร)
1	ฝ่าดดอกขาว	<i>L. racemosa</i>	9.4	7.0
2	ฝ่าดดอกขาว	<i>L. racemosa</i>	2.5	4.0
3	ฝ่าดดอกขาว	<i>L. racemosa</i>	3.8	6.5
4	ฝ่าดดอกขาว	<i>L. racemosa</i>	4.8	7.5
5	ฝ่าดดอกขาว	<i>L. racemosa</i>	5.7	7.0
6	ฝ่าดดอกขาว	<i>L. racemosa</i>	2.5	5.5
7	ฝ่าดดอกขาว	<i>L. racemosa</i>	2.9	5.0
8	ฝ่าดดอกขาว	<i>L. racemosa</i>	5.1	7.0
9	ฝ่าดดอกขาว	<i>L. racemosa</i>	5.4	7.5
10	ฝ่าดดอกขาว	<i>L. racemosa</i>	4.5	7.5
11	ฝ่าดดอกขาว	<i>L. racemosa</i>	2.5	5.0
12	ฝ่าดดอกขาว	<i>L. racemosa</i>	7.0	7.5
13	ฝ่าดดอกขาว	<i>L. racemosa</i>	3.5	3.5
14	ฝ่าดดอกขาว	<i>L. racemosa</i>	5.4	3.5
15	ฝ่าดดอกขาว	<i>L. racemosa</i>	3.0	3.5
16	ฝ่าดดอกขาว	<i>L. racemosa</i>	4.1	6.5
17	พังก้าหัวสุมดอกขาว	<i>B. sexangula</i>	5.6	6.0
18	พังก้าหัวสุมดอกขาว	<i>B. sexangula</i>	8.4	6.0
19	พังก้าหัวสุมดอกขาว	<i>B. sexangula</i>	6.2	6.0
20	ฝ่าดดอกขาว	<i>L. racemosa</i>	5.6	6.0
21	ฝ่าดดอกขาว	<i>L. racemosa</i>	6.8	7.0
22	ฝ่าดดอกขาว	<i>L. racemosa</i>	7.2	7.0
23	ฝ่าดดอกขาว	<i>L. racemosa</i>	6.7	7.5
24	ฝ่าดดอกขาว	<i>L. racemosa</i>	2.9	5.0



ภาพประกอบพนวก 3 การจัดซึ้งของเรือนยอดตามแนวดิ่ง (Profile diagram) ของป่าไม้ภาคตะวันออกขวางแนว C ในแปลงตัวอย่าง ขนาด 5×10 ตารางเมตร

ตารางผนวก 4 ชนิด ขนาดเส้นผ่าศูนย์กลางเพียงอกและความสูง ของต้นไม้ ในแปลง

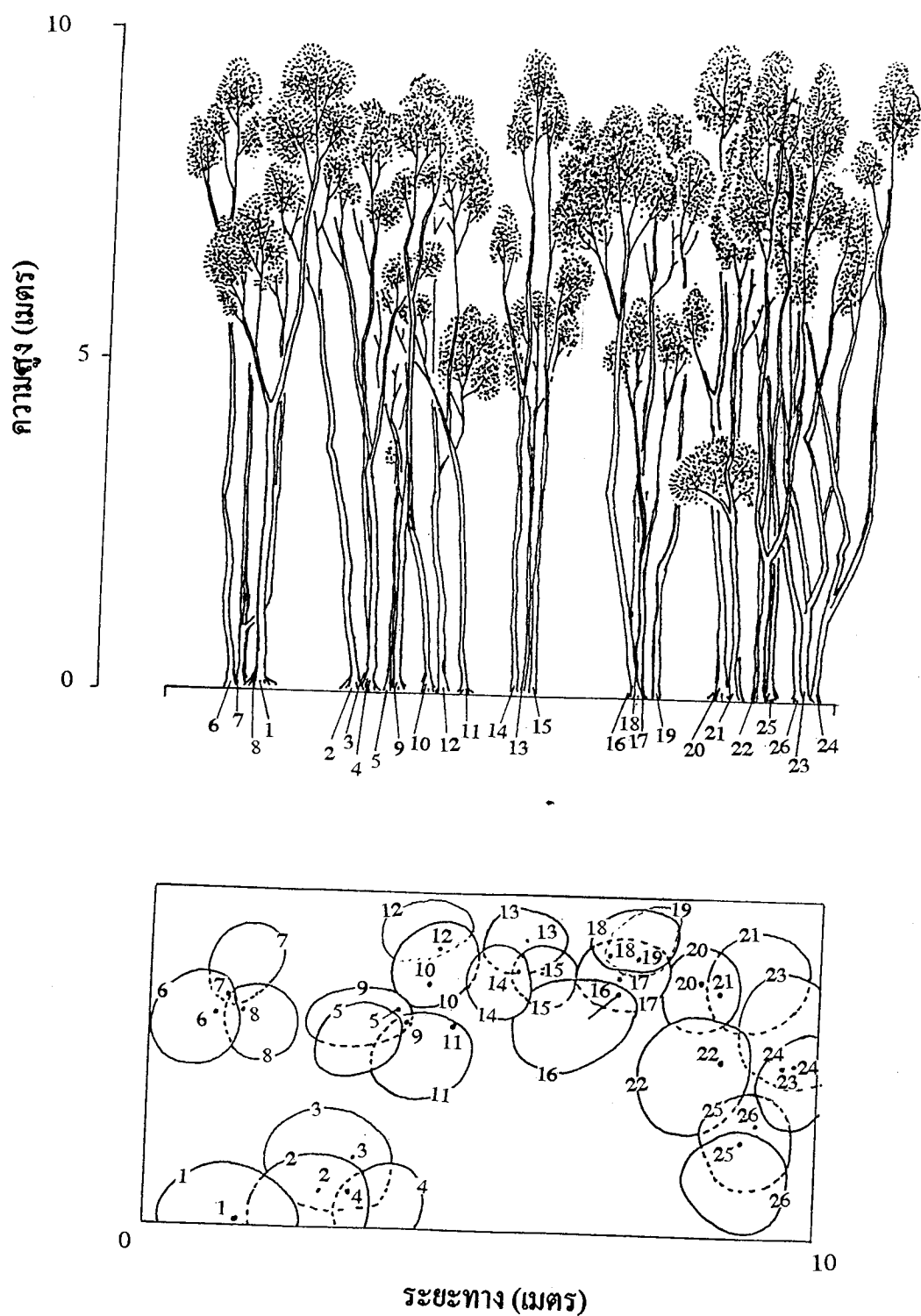
ตัวอย่างขนาด 5×10 ตารางเมตร ในแนว D ประกอบการเขียนโครง

สร้างการเปลี่ยนความสูงของพืชตามแนวดิ่ง (profile diagram)

ลำดับ	ชนิด	ชื่อวิทยาศาสตร์	ขนาดเส้นผ่าศูนย์กลาง	ความสูง
			เพียงอก (เซนติเมตร)	(เมตร)
1	ฝ่าดดอกขาว	<i>L. racemosa</i>	8.3	10.0
2	ฝ่าดดอกขาว	<i>L. racemosa</i>	6.5	9.0
3	ฝ่าดดอกขาว	<i>L. racemosa</i>	5.9	9.0
4	ฝ่าดดอกขาว	<i>L. racemosa</i>	5.7	9.0
5	ฝ่าดดอกขาว	<i>L. racemosa</i>	6.0	9.0
6	ฝ่าดดอกขาว	<i>L. racemosa</i>	7.2	9.5
7	ฝ่าดดอกขาว	<i>L. racemosa</i>	3.5	6.0
8	ฝ่าดดอกขาว	<i>L. racemosa</i>	7.6	9.0
9	ฝ่าดดอกขาว	<i>L. racemosa</i>	8.4	9.0
10	ฝ่าดดอกขาว	<i>L. racemosa</i>	6.7	9.0
11	ฝ่าดดอกขาว	<i>L. racemosa</i>	5.7	9.0
12	ฝ่าดดอกขาว	<i>L. racemosa</i>	9.7	10.0
13	ฝ่าดดอกขาว	<i>L. racemosa</i>	3.5	6.0
14	ฝ่าดดอกขาว	<i>L. racemosa</i>	7.5	10.0
15	ฝ่าดดอกขาว	<i>L. racemosa</i>	8.0	9.0
16	ฝ่าดดอกขาว	<i>L. racemosa</i>	8.0	9.0
17	ฝ่าดดอกขาว	<i>L. racemosa</i>	3.5	6.0
18	ฝ่าดดอกขาว	<i>L. racemosa</i>	7.2	9.0
19	ฝ่าดดอกขาว	<i>L. racemosa</i>	8.6	8.5
20	ฝ่าดดอกขาว	<i>L. racemosa</i>	7.6	9.0

ตารางผนวก 4 (ต่อ)

ลำดับ	ชนิด	ชื่อวิทยาศาสตร์	ขนาดเส้นผ่าศูนย์กลาง	ความสูง
			เพียงอก (เซนติเมตร)	(เมตร)
21	ฝ่าดดอกขาว	<i>L. racemosa</i>	9.4	8.0
22	ฝ่าดดอกขาว	<i>L. racemosa</i>	5.7	9.0
23	ฝ่าดดอกขาว	<i>L. racemosa</i>	4.6	8.5
24	ฝ่าดดอกขาว	<i>L. racemosa</i>	7.3	10.0
25	ฝ่าดดอกขาว	<i>L. racemosa</i>	8.4	10.0
26	ฝ่าดดอกขาว	<i>L. racemosa</i>	3.8	6.0



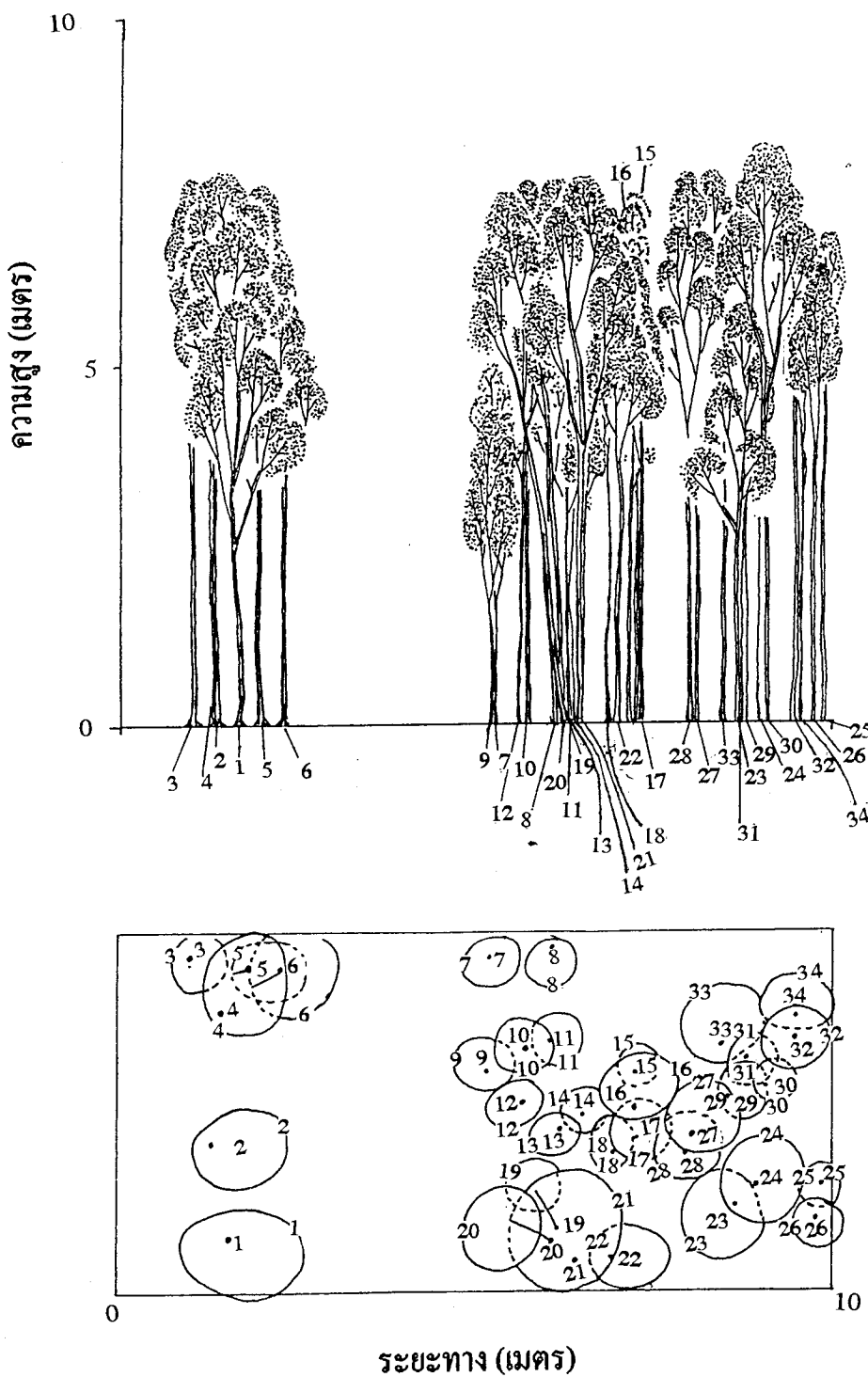
ภาพประกอบแผนก 4 การจัดขั้นของเรือนยอดตามแนวตั้ง (Profile diagram) ของป่าไม้ฝาดดอกขาว
แนว D ในแปลงตัวอย่าง ขนาด 5×10 ตารางเมตร

ตารางผนวก 5 ชนิด ขนาดเส้นผ่าศูนย์กลางเพียงอกและความสูง ของต้นไม้ ในแปลงตัวอย่าง
ขนาด 5×10 ตารางเมตร ในแนว E ประกอบการเขียนโครงสร้างการแบ่งชั้น
ความสูงของพืชตามแนวตั้ง (profile diagram)

ลำดับ	ชนิด	ชื่อวิทยาศาสตร์	ขนาดเส้นผ่าศูนย์กลาง	ความสูง
			เพียงอก (เซนติเมตร)	(เมตร)
1	ฝ่าดดอกขาว	<i>L. racemosa</i>	3.2	6.0
2	ฝ่าดดอกขาว	<i>L. racemosa</i>	4.3	7.2
3	ฝ่าดดอกขาว	<i>L. racemosa</i>	4.6	7.8
4	ฝ่าดดอกขาว	<i>L. racemosa</i>	6.7	7.8
5	ฝ่าดดอกขาว	<i>L. racemosa</i>	3.2	7.6
6	ฝ่าดดอกขาว	<i>L. racemosa</i>	4.5	6.3
7	ฝ่าดดอกขาว	<i>L. racemosa</i>	2.2	5.0
8	ฝ่าดดอกขาว	<i>L. racemosa</i>	6.7	7.5
9	ฝ่าดดอกขาว	<i>L. racemosa</i>	2.1	4.5
10	ฝ่าดดอกขาว	<i>L. racemosa</i>	3.7	7.0
11	ฝ่าดดอกขาว	<i>L. racemosa</i>	2.9	6.0
12	ฝ่าดดอกขาว	<i>L. racemosa</i>	2.2	6.0
13	ฝ่าดดอกขาว	<i>L. racemosa</i>	2.9	6.5
14	ฝ่าดดอกขาว	<i>L. racemosa</i>	2.4	5.0
15	ฝ่าดดอกขาว	<i>L. racemosa</i>	5.7	7.9
16	ฝ่าดดอกขาว	<i>L. racemosa</i>	4.1	7.8
17	ฝ่าดดอกขาว	<i>L. racemosa</i>	3.7	6.5
18	ฝ่าดดอกขาว	<i>L. racemosa</i>	3.3	6.0
19	ฝ่าดดอกขาว	<i>L. racemosa</i>	5.4	7.9
20	ฝ่าดดอกขาว	<i>L. racemosa</i>	3.7	7.9
21	ฝ่าดดอกขาว	<i>L. racemosa</i>	3.8	7.9
22	ฝ่าดดอกขาว	<i>L. racemosa</i>	2.4	6.0
23	ฝ่าดดอกขาว	<i>L. racemosa</i>	2.5	5.0
24	ฝ่าดดอกขาว	<i>L. racemosa</i>	7.0	8.3

ตารางผนวก 5 (ต่อ)

ลำดับ	ชนิด	ชื่อวิทยาศาสตร์	ขนาดเส้นผ่าศูนย์กลาง		ความสูง (เมตร)
			เพียงอก (เซนติเมตร)		
25	ฝ่าดดอกขาว	<i>L. racemosa</i>	5.1		6.5
26	ฝ่าดดอกขาว	<i>L. racemosa</i>	2.7		7.0
27	ฝ่าดดอกขาว	<i>L. racemosa</i>	4.8		7.8
28	ฝ่าดดอกขาว	<i>L. racemosa</i>	3.8		7.8
29	ฝ่าดดอกขาว	<i>L. racemosa</i>	3.7		6.0
30	ฝ่าดดอกขาว	<i>L. racemosa</i>	6.0		7.5
31	ฝ่าดดอกขาว	<i>L. racemosa</i>	3.0		5.0
32	ฝ่าดดอกขาว	<i>L. racemosa</i>	5.1		8.0
33	ฝ่าดดอกขาว	<i>L. racemosa</i>	2.1		4.5
34	ฝ่าดดอกขาว	<i>L. racemosa</i>	4.0		7.0



ภาพประกอบผนวก 5 การจัดซื้อของเรือนยอดตามแนวตั้ง (Profile diagram) ของป่าไม้ฝาดดอกขาว
แนว E ในแปลงตัวอย่าง ขนาด 5×10 ตารางเมตร

ภาคผนวก ข.

การร่วงหล่นและการผุสลายของชากพีช

ตารางผนวก 6 ชากระสวนต่าง ๆ ของฝ่าดดอกขาว (*Lumnitzera racemosa*) ในปีช้ายเลน

พื้นที่ศึกษาระหว่างเดือน พฤศจิกายน 2539 ถึง เดือนตุลาคม 2540

(กรัมน้ำหนักแห้ง/ตารางเมตร/ 2 สปดาห์) (ค่าเฉลี่ย \pm SD)

วันที่	กิ่ง	ใบ	ดอก	ผล	รวม
4 พ.ย.2539	1.42 ± 1.30	55.95 ± 21.22	3.76 ± 3.81	1.46 ± 1.46	62.59 ± 24.65
19 พ.ย.	1.42 ± 1.30	55.95 ± 21.22	3.76 ± 3.81	1.46 ± 1.46	62.59 ± 24.65
4 ธ.ค.	1.43 ± 1.56	59.38 ± 24.07	2.17 ± 1.76	24.52 ± 20.54	87.50 ± 30.54
19 ธ.ค.	2.83 ± 3.68	28.56 ± 10.93	3.41 ± 2.32	53.83 ± 38.22	88.63 ± 46.68
3 ม.ค.2540	1.59 ± 1.31	28.07 ± 12.42	1.26 ± 0.82	21.40 ± 15.91	52.32 ± 22.71
19 ม.ค.	2.58 ± 2.11	41.79 ± 17.53	0.38 ± 0.18	5.07 ± 3.70	49.82 ± 17.89
4 ก.พ.	1.58 ± 1.72	60.92 ± 28.84	0.88 ± 0.75	3.40 ± 3.39	66.78 ± 28.44
19 ก.พ.	0.90 ± 1.01	52.17 ± 24.05	0.68 ± 0.59	1.28 ± 1.18	55.03 ± 23.90
6 มี.ค.	2.09 ± 3.36	39.12 ± 13.17	0.18 ± 0.11	0.69 ± 0.50	42.08 ± 13.74
19 มี.ค.	0.45 ± 0.42	39.19 ± 12.24	0.08 ± 0.08	2.17 ± 2.48	41.89 ± 12.66
4 เม.ย.	1.52 ± 1.18	52.53 ± 19.89	0.11 ± 0.10	1.85 ± 2.11	56.01 ± 19.56
19 เม.ย.	6.24 ± 6.36	40.12 ± 19.26	0.16 ± 0.16	0.26 ± 0.24	46.78 ± 18.90
5 พ.ค.	2.72 ± 3.15	31.16 ± 13.62	0.10 ± 0.12	0.18 ± 0.20	34.16 ± 14.80
19 พ.ค.	2.83 ± 3.44	25.21 ± 9.99	0.03 ± 0.04	0.61 ± 0.74	28.69 ± 11.84
5 มิ.ย.	9.50 ± 11.73	40.34 ± 20.41	0.04 ± 0.04	1.56 ± 1.81	51.44 ± 30.13
19 มิ.ย.	1.92 ± 2.15	17.23 ± 6.86	0.03 ± 0.03	0.33 ± 0.39	19.51 ± 7.31
4 ก.ค.	2.66 ± 5.07	14.52 ± 5.41	0.04 ± 0.05	0.15 ± 0.14	17.37 ± 9.23
19 ก.ค.	9.02 ± 18.95	12.87 ± 9.61	0.01 ± 0.02	0.06 ± 0.07	21.96 ± 26.28
5 ส.ค.	3.23 ± 3.55	47.77 ± 29.45	0.03 ± 0.04	0.24 ± 0.28	51.26 ± 30.97
19 ส.ค.	3.46 ± 3.99	32.20 ± 13.90	0.14 ± 0.14	0.19 ± 0.24	35.98 ± 16.20
5 ก.ย.	9.29 ± 10.99	76.66 ± 29.23	0.38 ± 0.49	0.08 ± 0.11	86.41 ± 34.03
19 ก.ย.	1.71 ± 3.31	64.87 ± 25.03	1.50 ± 1.51	0.09 ± 0.16	68.17 ± 26.13
5 ต.ค.	4.12 ± 8.90	82.21 ± 28.55	3.06 ± 2.59	0.49 ± 0.57	89.88 ± 32.74
19 ต.ค.	2.14 ± 2.51	69.91 ± 32.14	5.39 ± 4.19	4.18 ± 5.67	81.62 ± 34.47

ตารางผนวก 7 ชากรส่วนต่าง ๆ ของพีซีอินในป้าชายเลนพื้นที่ศึกษาระหว่างเดือน พฤศจิกายน
2539 ถึง เดือนตุลาคม 2540 (กรัมน้ำหนักแห้ง/ตารางเมตร/ 2 สัปดาห์)
(ค่าเฉลี่ย \pm SD)

วันที่	กิ่ง	ใบ	ดอก	ผล	รวม
4 พ.ย. 2539	1.09 ± 2.07	3.95 ± 2.49	0.34 ± 0.44	0.30 ± 0.55	5.67 ± 3.93
19 พ.ย.	1.09 ± 2.07	3.95 ± 2.49	0.34 ± 0.44	0.30 ± 0.55	5.67 ± 3.93
4 ธ.ค.	1.47 ± 1.92	5.52 ± 4.71	0.19 ± 0.29	0.78 ± 1.60	7.96 ± 5.85
19 ธ.ค.	1.77 ± 1.94	3.10 ± 3.84	0.20 ± 0.22	0.55 ± 0.60	5.62 ± 5.90
3 ม.ค. 2540	2.88 ± 4.51	3.86 ± 5.62	0.21 ± 0.15	1.06 ± 1.59	8.01 ± 10.24
19 ม.ค.	1.29 ± 1.86	9.92 ± 15.11	0.27 ± 0.24	0.85 ± 1.64	12.33 ± 16.67
4 ก.พ.	1.24 ± 1.72	9.56 ± 12.23	0.21 ± 0.17	0.81 ± 1.34	11.82 ± 13.94
19 ก.พ.	1.57 ± 2.10	6.70 ± 7.12	0.15 ± 0.16	1.32 ± 2.88	9.74 ± 9.50
6 มี.ค.	1.49 ± 2.24	6.70 ± 6.20	0.07 ± 0.06	0.49 ± 0.72	8.75 ± 8.35
19 มี.ค.	0.93 ± 1.41	5.87 ± 3.97	0.10 ± 0.17	0.17 ± 0.22	7.07 ± 5.32
4 เม.ย.	1.23 ± 1.47	10.95 ± 7.98	0.18 ± 0.27	0.37 ± 0.76	12.73 ± 9.35
19 เม.ย.	3.72 ± 5.00	12.53 ± 9.66	0.25 ± 0.21	0.40 ± 0.79	16.91 ± 12.37
5 พ.ค.	1.49 ± 1.78	8.27 ± 6.93	0.33 ± 0.40	0.24 ± 0.38	10.33 ± 8.57
19 พ.ค.	1.07 ± 2.76	9.68 ± 5.91	0.31 ± 0.35	0.20 ± 0.39	11.26 ± 6.85
5 มิ.ย.	3.40 ± 4.00	13.72 ± 8.05	0.32 ± 0.28	0.39 ± 0.52	17.84 ± 10.22
19 มิ.ย.	1.02 ± 1.02	7.32 ± 5.60	0.31 ± 0.29	0.30 ± 0.33	8.94 ± 6.19
4 ก.ค.	0.97 ± 1.27	7.03 ± 4.60	0.53 ± 0.90	0.23 ± 0.27	8.75 ± 5.78
19 ก.ค.	2.60 ± 4.71	5.45 ± 4.68	0.34 ± 0.57	0.39 ± 0.85	8.79 ± 8.10
5 ส.ค.	1.11 ± 1.30	8.09 ± 4.30	0.64 ± 0.80	1.09 ± 3.73	10.93 ± 7.59
19 ส.ค.	1.62 ± 2.73	8.97 ± 6.81	0.57 ± 0.47	0.17 ± 0.26	11.33 ± 8.74
5 ก.ย.	1.71 ± 1.85	9.44 ± 6.20	0.66 ± 0.69	0.34 ± 0.49	12.15 ± 7.62
19 ก.ย.	0.59 ± 0.74	5.39 ± 3.86	0.54 ± 0.51	0.27 ± 0.50	6.80 ± 4.59
5 ต.ค.	1.05 ± 1.30	10.99 ± 8.78	0.99 ± 0.94	0.35 ± 0.85	13.38 ± 10.27
19 ต.ค.	1.51 ± 1.95	7.32 ± 6.59	1.69 ± 1.74	1.09 ± 2.50	11.61 ± 10.77

ตารางผนวก 8 เปอร์เซ็นต์การผสลายของใบฝ่าดดอกขาว

จุดตรวจ		เดือน												
ถุน	ต.ค.	พ.ย.	ธ.ค.	ม.ค.	ก.พ.	มี.ค.	เม.ย.	พ.ค.	มิ.ย.	ก.ค.	ส.ค.	ก.ย.	ต.ค.	
	2539	2540												
D1	0	48.21	72.50	85.59	85.37	88.77	98.31	99.69	98.96	98.19	99.40	99.26	99.86	
D2	0	43.70	54.43	61.74	64.87	69.35	69.42	72.64	69.82	73.05	74.14	75.20	77.84	
D3	0	65.33	88.09	98.44	98.63	98.90	99.70	99.74	99.61	99.89	99.92	100	100	

ภาคผนวก ค.

คุณสมบัติของน้ำในพื้นที่ศึกษา

ตารางผนวก 9 ระดับการท่วมของน้ำเหนือพื้นที่ศึกษา (เซนติเมตร)

วันที่	จุด D1	จุด D2	จุด D3
28 ต.ค. 2539	27	22	47
19 พ.ย.	40	30	57
13 ธ.ค.	120	110	150
11 ม.ค. 2540	39	30	57
9 ก.พ.	38	30	55
10 มี.ค.	34	27	55
8 เม.ย.	20	—	40
7 พ.ค.	10	—	35
6 มิ.ย.	—	—	25
23 ก.ค.	—	—	15
21 ส.ค.	—	—	25
19 ก.ย.	15	7	30
18 ต.ค.	25	15	45

- ; ไม่มีน้ำท่วมพื้นที่

ภาคผนวก ๑.

เกณฑ์มาตรฐานที่ใช้ในการประเมินระดับสมบัติทางเคมีของดิน

1. ปฏิกิริยาดิน (Soil reaction, pH) (ดิน : น้ำ = 1:1)

ระดับ (rating)	พิสัย (range)
เป็นกรดจัดมาก (extremely acid)	< 4.5
เป็นกรดรุนแรงมาก (very strongly acid)	4.5 - 5.0
เป็นกรดรุนแรง (strongly acid)	5.1 - 5.5
เป็นกรดปานกลาง (moderately acid)	5.6 - 6.0
เป็นกรดเล็กน้อย (slightly acid)	6.1 - 6.5
เป็นกลาง (near neutral)	6.6 - 7.3
เป็นด่างอย่างอ่อน (slightly alkali)	7.4 - 7.8
เป็นด่างปานกลาง (moderately alkali)	7.9 - 8.4
เป็นด่างรุนแรง (strongly alkali)	8.5 - 9.0
เป็นด่างจัด (extremely alkali)	> 9.0

2. อินทรีย์วัตถุ (Organic matter) (% Organic carbon \times 1.724) : USDA

ระดับ (rating)	พิสัย (range) (weight %)
ต่ำมาก (VL)	< 0.5
ต่ำ (L)	0.5 - 1.0
ค่อนข้างต่ำ (ML)	1.0 - 1.5
ปานกลาง (M)	1.5 - 2.5
ค่อนข้างสูง (MH)	2.5 - 3.5
สูง (H)	3.5 - 4.5
สูงมาก (VH)	> 4.5

3. ด่างที่แลกเปลี่ยนได้ (Exchangeable base) (NH_4OAc)

ระดับ (rating)	พิสัย (range) (meq /100g soil)			
	exch.Ca	exch.Mg	exch.Na	exch.K
ต่ำมาก (VL)	< 2	< 0.3	< 0.1	< 0.2
ต่ำ (L)	2 - 5	0.3 - 1.0	0.1 - 0.3	0.2 - 0.3
ปานกลาง (M)	5 - 10	1.0 - 3.0	0.3 - 0.7	0.3 - 0.6
สูง (H)	10 - 20	3.0 - 8.0	0.7 - 2.0	0.6 - 1.2
สูงมาก (VH)	> 20	> 8.0	> 2.0	> 1.2

4. ระดับความเค็มของดิน

ระดับ (rating)	ความเค็ม (soil salinity)	พิสัย (range) (dS/m)
ต่ำมาก (VL)	ไม่เค็ม	0 - 2
ต่ำ (L)	เค็ม	> 2 - 4
ปานกลาง (M)	เค็มปานกลาง	> 4 - 8
สูง (H)	เค็มมาก	> 8 - 16
สูงมาก (VH)	เค็มมากที่สุด	> 16

ที่มา : กรมพัฒนาที่ดิน, กองสำรวจจำแนกดิน (2523). อภิรดี (2533, 2534) ;

กรมพัฒนาที่ดิน, กองวางแผนการใช้ที่ดิน (2535)

หมายเหตุ :

- VL = ต่ำมาก (very low)
- L = ต่ำ (low)
- ML = ค่อนข้างต่ำ (moderately low)
- M = ปานกลาง (medium)
- MH = ค่อนข้างสูง (moderately high)
- H = สูง (high)
- VH = สูงมาก (very high)
- USDA = U.S. Department of Agriculture

ประวัติผู้เขียน

ชื่อ นางสาวนิพิท ศรีสุวรรณ
วัน เดือน ปี เกิด 29 มิถุนายน 2506
วุฒิการศึกษา
บัณฑิต
วิทยาศาสตรบัณฑิต^(ศึกษาศาสตร์) คณะศึกษาศาสตร์
มหาวิทยาลัยสงขลานครินทร์
วิทยาเขตปัตตานี

ตำแหน่งและสถานที่ทำงาน
อาจารย์ ระดับ 5
โรงเรียนบ้านบางเหรียง
อำเภอควนเนยง จังหวัดสงขลา